

Wiskundig model ter bepaling van  
getijstroomsnelheden langs de kust

J.J.A. van Huijstee

R/1983/8/D

Vloeistofmechanica  
Afdeling der Civiele Techniek  
Technische Hogeschool Delft

Technische Hogeschool Delft  
Afdeling der Civiele Techniek  
Vakgroep Vloeistofmechanica

Deelontwerp: Wiskundig model ter bepaling van  
getijstroomsnelheden langs de kust

Docent : Prof.dr.ir.J.P.Th.Kalkwijk

Begeleider : Ir.J.Voogt

Student : J.J.A.van Huijstee

Datum : Augustus 1983

0. <u>Inleiding</u>	1
1. <u>Afleiding van drie mogelijke getijgolven</u>	3
1.1. Inleiding	3
1.2. Het ondiep-water model	4
1.3. De ondiep-water vergelijkingen	5
1.4. Bewegingen met kleine amplitude	7
1.5. Poincaré en Kelvin golf	8
1.6. De Rossby golf	11
1.7. Geschiktheidsonderzoek getijgolven	12
2. <u>Eén inkomende Kelvin golf</u>	13
2.1. Inleiding	13
2.2. Situatieschets en formules	14
2.3. Golfhoogte $\eta$	15
2.3.1. Golfhoogte $\eta$ als functie van X, Y en t	15
2.3.2. Fase-amplitude diagram golfhoogte $\eta$	16
2.3.3. Isolijnen van één inkomende Kelvin golf	17
2.4. Stroomsnelheid u	18
2.4.1. Stroomsnelheid u als functie van X, Y en t	18
2.4.2. Fase-amplitude diagram stroomsnelheid u	19
2.4.3. Relatie tussen $\eta$ en u	20
2.5. Fasesnelheid c	20

3. <u>Golfbeeld door interferentie van één inkomende en één teruggekaatste Kelvin golf</u>	21
3.1. Inleiding	21
3.2. Situatieschets en formules	22
3.3. De totale golfhoogte $\eta_{tot}$	23
3.3.1. Bepaling $\eta_{tot}$	23
3.3.2. De totale golfhoogte $\eta_{tot}$ als functie van t	24
3.3.3. Fase-amplitude diagram totale golfhoogte $\eta_{tot}$	26
3.3.4. Isolijnen bij interferentie van één inkomende en één teruggekaatste Kelvin golf	29
3.4. De totale stroomsnelheid $u_{tot}$	30
3.4.1. Bepaling $u_{tot}$	30
3.4.2. De totale stroomsnelheid $u_{tot}$ als functie van t	31
3.4.3. Fase-amplitude diagram totale stroomsnelheid $u_{tot}$	33
3.4.4. Relatie tussen $\eta_{tot}$ en $u_{tot}$	34
3.5. De totale fasesnelheid $c_{tot}$	36
4. <u>Stroomsnelheidsberekening</u>	37
4.1. Inleiding	37
4.2. De Britse Admiraliteits getijdetafels	37
4.3. Bepaling $\eta_{tot}$ -basisellips uit de harmonische constanten van n punten	38
4.3.1. Inleiding	38
4.3.2. De ellips	39
4.3.3. De kleinste kwadraten methode van Gauss	41
4.4. Berekening $\eta_1$ en $\eta_2$ uitgaande van de $\eta_{tot}$ -basisellips	44
4.5. Berekening van $\eta_{TOT}$ en $u_{TOT}$	49
4.6. Overzicht berekeningswijze	50
4.7. Overwegingen, aannamen en eisen	52
4.7.1. Overwegingen	52
4.7.2. Aannamen	53
4.7.3. Eisen	54



	blz.
5. <u>Toepassing stroomsnelheidsberekening</u>	55
5.1. Inleiding	55
5.2. De Nederlandse kust	56
5.2.1. Trajectbeschrijving	56
5.2.2. Invoer	58
5.2.3. Uitvoer	59
5.2.4. Verwerking uitvoer	60
5.2.5. Bespreking resultaten	64
5.2.6. Oorzaak en invloed faseverschil stroomsnelheidscurve	65
5.3. De Engelse zuid-oost kust	66
5.3.1. Trajectbeschrijving	66
5.3.2. Invoer	68
5.3.3. Uitvoer	69
5.3.4. Verwerking uitvoer	70
5.3.5. Bespreking resultaten	74
5.3.6. Mate van overéénstemming tussen HVH 100 en GOR 83	75
5.4. De oostkust van Groot-Brittannië	77
5.4.1. Trajectbeschrijving	77
5.4.2. Invoer	79
5.4.3. Uitvoer	81
5.4.4. Verwerking uitvoer	82
5.4.5. Bespreking resultaten	86
6. <u>Samenvatting en conclusies</u>	87
6.1. Samenvatting	87
6.2. Conclusies	90
Wiskundige symbolen	
Toegepaste symbolen	
Indices	
Literatuur	
Bijlage I: Computerprogramma in HPL voor de HP-41 CV	

## D. Inleiding

De titel van het deelontwerp luidt: "Wiskundig model ter bepaling van getijstroomsnelheden langs de kust." Bij deze titel zijn enige kanttekeningen te plaatsen.

Het betreft een twee-dimensionaal model dat op grond van verticale getijgegevens van meerdere punten langs de kust, de golfhoogte en de stroomsnelheid van het getij berekent voor willekeurige plaats en tijd.

Onder verticale getijgegevens wordt verstaan de harmonische constanten van elke getijcomponent. Het ontwerp van het model is afgestemd op gebruik in combinatie met de "Admiralty Tide Tables" als bron voor de harmonische constanten.

Het wiskundig model ter bepaling van getijstroomsnelheden langs de kust, ook wel aangegeven met getijmodel, berust op de veronderstelling dat het getij voor elke getijcomponent kan worden weergegeven door een golfbeeld dat ontstaat door interferentie van één inkomende en één teruggekaatste Kelvin golf.

Het getijmodel is toegepast langs drie verschillende kusten in de zuidelijke Noordzee. Daarbij is de nauwkeurigheid van het model beproefd tot 100 à 200 km uit de kust.

De achtergrond voor de keuze van dit ontwerp is gelegen in het feit dat bij gebleken nauwkeurigheid van het model, dit model als subroutine zal worden toegevoegd aan SMOSS. SMOSS is een afkorting van Simulation Model for Oil Slicks at Sea. Bij gebruik van SMOSS in de huidige vorm wordt de stroomsnelheid van het getij extern ingevoerd.

Indien nu géén of onvoldoende stroomgegevens voor handen zijn, is er behoefte aan een wiskundig model, dat deze getijstroomsnelheden op snelle -dus éénvoudige- wijze berekent. Aan deze wensen probeert het model in dit ontwerp te voldoen.

Hieronder volgt een kort overzicht van het deelontwerp:

In hoofdstuk 1 worden drie soorten lange golven afgeleid. Daartoe worden de continuïteits- en bewegingsvergelijkingen opgesteld voor een ondiep-water model en verder uitgewerkt onder de aanname dat het bewegingen met kleine amplitude betreft. Na afweging aan de hand van fysische en rekentechnische eisen blijkt de Kelvin golf het best te voldoen om de getijgolf te beschrijven.

In hoofdstuk 2 wordt het gedrag van één inkomende Kelvin golf onderzocht. Daartoe worden de golfhoogte  $\eta$ , de stroomsnelheid  $u$  en de fasesnelheid  $c$  bepaald en in grafieken weergegeven.

In hoofdstuk 3 wordt, met dezelfde aanpak als in hoofdstuk 2, het golfbeeld onderzocht dat ontstaat door interferentie van één inkomende en één teruggekaatste Kelvin golf. Dit golfbeeld van twee tegen elkaar inlopende golven zal dienen als model voor de berekening van getijstroomsnelheden langs de kust.

In hoofdstuk 4 wordt, op grond van de voorgaande theorie, de berekeningswijze van de getijstroomsnelheid afgeleid.

In hoofdstuk 5 wordt de stroomsnelheidsberekening toegepast op drie kusten aan de zuidelijke Noordzee. De nauwkeurigheid van de berekening wordt nagegaan aan de hand van waarden verkregen uit stroomatlassen van de desbetreffende kusten.

In hoofdstuk 6 wordt het deelontwerp besloten met een samenvatting en conclusies betreffende het getijmodel.

Het computerprogramma van het getijmodel is aan het eind toegevoegd.

Dit programma is geschreven in Hewlett Packard Language.

## 1. Afleiding van drie mogelijke getijgolven

### 1.1. Inleiding

Als uitgangspunt voor de afleiding van mogelijke getijgolven, is gekozen voor het ondiep-water model.

De continuïteitsvergelijking en de bewegingsvergelijkingen worden allereerst voor dit ondiep-water model opgezet.

Deze vergelijkingen worden vervolgens verder uitgewerkt onder de aanname dat het hier bewegingen met kleine amplitude betreft.

Deze werkwijze resulteert in drie mogelijke getijgolven:

1. De Poincaré golf
2. De Kelvin golf
3. De Rossby golf

Op grond van rekentechnische eisen en fysische overwegingen, kan worden onderzocht welke van de drie mogelijke getijgolven geschikt is voor toepassing in het te ontwerpen wiskundig model ter bepaling van getijstroomsnelheden langs de kust.

Uit dit onderzoek blijkt dat de Poincaré golf en de Rossby golf niet voldoen aan de gestelde eisen. Deze vallen af.

De Kelvin golf blijkt wel te voldoen aan de gestelde eisen. Het is dan ook de Kelvin golf die ten grondslag ligt aan het verdere verloop van dit ontwerp.

Bij de opzet van dit hoofdstuk is in sterke mate gebruik gemaakt van bestaande literatuur op dit gebied.<sup>1)2)</sup>

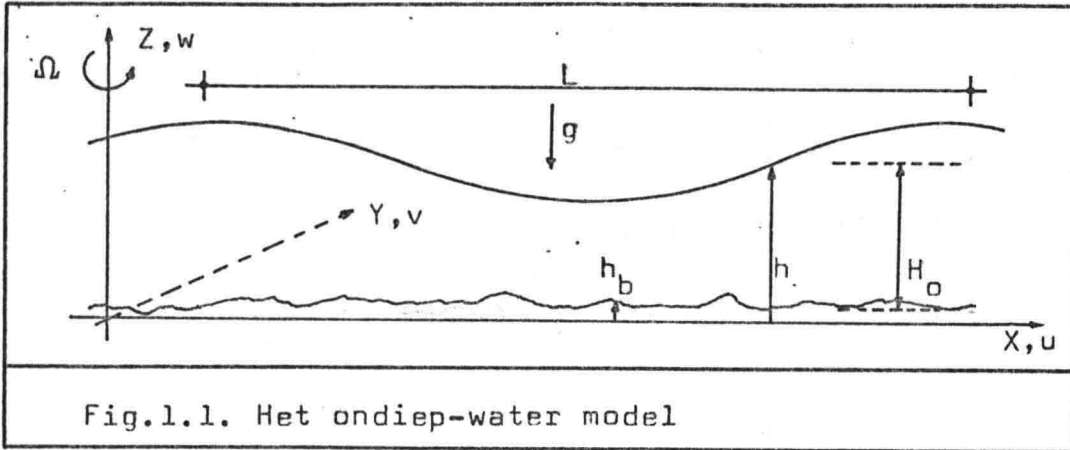
1) C.Verspuy & M.de Vries : Lange Golven

2) Joseph Pedlosky : Geophysical Fluid Dynamics

1.2. Het ondiep-water model

Veronderstel een ondiepe, roterende laag homogene, onsamendrukbare en niet-visceuse vloeistof.

Dit ondiep-water model wordt gebruikt ter bepaling van mogelijke getijgolven.



Coördinaatassen	:	X, Y en Z
Stroomsnelheden langs		
resp. X-, Y- en Z-as	:	u, v, en w
Zwaartekrachtsversnelling	:	g
Hoogte waterspiegel (tot XY-vlak)	:	h
Hoogte bodem (tot XY-vlak)	:	$h_b$
Dikte vloeistoflaag bij afwezigheid van beweging	:	$H_0$
Golflengte	:	L
Hoeksnelheid aarde	:	$\Omega$

Dichtheid :  $\rho = \text{constant}$  (1-1)

Dynamische viscositeit:  $\mu = 0$  (1-2)

Bodemoppervlak :  $Z = h_b(X, Y)$  (1-3)

Waterspiegel :  $Z = h(X, Y, t)$  (1-4)

### 1.3. De ondiep-water vergelijkingen

Voor het afleiden van de continuïteitsvergelijking is het uitgangspunt het opzetten van een massabalans voor een volume-elementje. Hieruit volgt:

$$\frac{\delta e}{\delta t} + \frac{\delta(eu)}{\delta X} + \frac{\delta(ev)}{\delta Y} + \frac{\delta(ew)}{\delta Z} = 0 \quad (1-5)$$

Uitgaande van een homogene vloeistof, waarvoor de dichtheid constant is, volgt voor de continuïteitsvergelijking:

$$\frac{\delta u}{\delta X} + \frac{\delta v}{\delta Y} + \frac{\delta w}{\delta Z} = 0 \quad (1-6)$$

Voor het afleiden van de bewegingsvergelijkingen (Navier Stokes) is het uitgangspunt het opstellen van een impulsbalans voor een volume-elementje in X-, Y- en Z-richting.

De bewegingsvergelijkingen in een vast coördinatenstelsel zijn:

$$\frac{\delta u}{\delta t} + \frac{\delta(u^2)}{\delta X} + \frac{\delta(uv)}{\delta Y} + \frac{\delta(uw)}{\delta Z} + \frac{1}{e} \cdot \frac{\delta p}{\delta X} - \nu \left[ \frac{\delta^2 u}{\delta X^2} + \frac{\delta^2 u}{\delta Y^2} + \frac{\delta^2 u}{\delta Z^2} \right] = 0 \quad (1-7)$$

$$\frac{\delta v}{\delta t} + \frac{\delta(uv)}{\delta X} + \frac{\delta(v^2)}{\delta Y} + \frac{\delta(vw)}{\delta Z} + \frac{1}{e} \cdot \frac{\delta p}{\delta Y} - \nu \left[ \frac{\delta^2 v}{\delta X^2} + \frac{\delta^2 v}{\delta Y^2} + \frac{\delta^2 v}{\delta Z^2} \right] = 0 \quad (1-8)$$

$$\frac{\delta w}{\delta t} + \frac{\delta(uw)}{\delta X} + \frac{\delta(vw)}{\delta Y} + \frac{\delta(w^2)}{\delta Z} + \frac{1}{e} \cdot \frac{\delta p}{\delta Z} - \nu \left[ \frac{\delta^2 w}{\delta X^2} + \frac{\delta^2 w}{\delta Y^2} + \frac{\delta^2 w}{\delta Z^2} \right] + g = 0 \quad (1-9)$$

Met behulp van (1-2) en (1-6) en rekening houdend met het feit dat de bewegingsvergelijkingen moeten gelden voor een toeschouwer in een uniform roterend coördinatenstelsel, volgt:

$$\frac{\delta u}{\delta t} + u \cdot \frac{\delta u}{\delta X} + v \cdot \frac{\delta u}{\delta Y} + w \cdot \frac{\delta u}{\delta Z} + \frac{1}{e} \cdot \frac{\delta p}{\delta X} - f v = 0 \quad (1-10)$$

$$\frac{\delta v}{\delta t} + u \cdot \frac{\delta v}{\delta X} + v \cdot \frac{\delta v}{\delta Y} + w \cdot \frac{\delta v}{\delta Z} + \frac{1}{e} \cdot \frac{\delta p}{\delta Y} + f u = 0 \quad (1-11)$$

$$\frac{\delta w}{\delta t} + u \cdot \frac{\delta w}{\delta X} + v \cdot \frac{\delta w}{\delta Y} + w \cdot \frac{\delta w}{\delta Z} + \frac{1}{e} \cdot \frac{\delta p}{\delta Z} + g = 0 \quad (1-12)$$

p = druk

$\nu$  = kinematische viscositeit ( =  $\mu/e$  )

f = Coriolis-parameter ( =  $2 \cdot \Omega \cdot \sin \theta$  )

Indien in vergelijking (1-12) alle versnellingstermen worden verwaarloosd ten opzichte van de zwaartekrachtsversnelling, resulteert dat voor (1-12) in de volgende vergelijking:

$$\frac{\delta p}{\delta Z} = -eg \quad (1-13)$$

De vergelijking (1-13) kan in Z-richting worden geïntegreerd. Indien men voor de druk aan de vrije waterspiegel stelt  $p = p_0$ , dan volgt hieruit:

$$p = eg(h - Z) + p_0 \quad (1-14)$$

Tevens kan in de vergelijking in X-richting de term  $w \cdot \delta u / \delta z$  en in de vergelijking in Y-richting de term  $w \cdot \delta v / \delta z$  worden verwaarloosd, omdat de snelheidscomponent  $w$  verwaarloosbaar klein is.

Met behulp van (1-14) en de hierboven beschreven verwaarlozing kan voor het stelsel (1-10), (1-11) en (1-12) het volgende worden geschreven:

$$\frac{\delta u}{\delta t} + u \cdot \frac{\delta u}{\delta X} + v \cdot \frac{\delta v}{\delta Y} - fv + g \cdot \frac{\delta h}{\delta X} = 0 \quad (1-15)$$

$$\frac{\delta v}{\delta t} + u \cdot \frac{\delta v}{\delta X} + v \cdot \frac{\delta v}{\delta Y} + fu + g \cdot \frac{\delta h}{\delta Y} = 0 \quad (1-16)$$

$$p = eg(h - z) + p_0 \quad (1-17)$$

Door integratie van (1-6) over de diepte en met behulp van de kinematische voorwaarde op de bodem ( $Z = h_b$ ) en op de vrije waterspiegel ( $Z = h$ ), wordt de vergelijking (1-20) gevonden. Gecombineerd met de vergelijkingen (1-15) en (1-16) geeft dit het volgende stelsel:

$$\frac{\delta u}{\delta t} + u \cdot \frac{\delta u}{\delta X} + v \cdot \frac{\delta u}{\delta Y} - fv + g \cdot \frac{\delta h}{\delta X} = 0 \quad (1-18)$$

$$\frac{\delta v}{\delta t} + u \cdot \frac{\delta v}{\delta X} + v \cdot \frac{\delta v}{\delta Y} + fu + g \cdot \frac{\delta h}{\delta Y} = 0 \quad (1-19)$$

$$\frac{\delta(h-h_b)}{\delta t} + \frac{\delta(u(h-h_b))}{\delta X} + \frac{\delta(v(h-h_b))}{\delta Y} = 0 \quad (1-20)$$

1.4. Bewegingen met kleine amplitude

$H_0$  is de dikte van de vloeistoflaag bij afwezigheid van beweging.

In het algemeen geldt:  $H(X, Y, t) = H_0(X, Y) + \eta(X, Y, t)$  (1-21)

Kleine amplitude :  $\eta \ll H_0$  (1-22)

Veronderstel :  $\left. \begin{array}{l} \delta u / \delta t \gg u \cdot (\delta u / \delta X) + v \cdot (\delta u / \delta Y) \\ \delta v / \delta t \gg v \cdot (\delta v / \delta X) + v \cdot (\delta v / \delta Y) \end{array} \right\}$  (1-23)

(1-24)

$U = u \cdot H_0$  (1-25)

$V = v \cdot H_0$  (1-26)

Daaruit volgt :  $\left. \begin{array}{l} \delta U / \delta t - fV + gH_0 \cdot (\delta \eta / \delta X) = 0 \\ \delta V / \delta t + fU + gH_0 \cdot (\delta \eta / \delta Y) = 0 \end{array} \right\}$  (1-27)

(1-28)

$\delta \eta / \delta t + \delta U / \delta X + \delta V / \delta Y = 0$  (1-29)

Door manipulatie van (1-27) en (1-28) wordt de volgende formule verkregen:

$\left( \frac{\delta^2}{\delta t^2} + f^2 \right) \left( \frac{\delta V}{\delta Y} + \frac{\delta U}{\delta X} \right) = -g \cdot \frac{\delta}{\delta t} \nabla \cdot (H_0 \nabla \eta) - fg \left( \frac{\delta H_0}{\delta X} \cdot \frac{\delta \eta}{\delta Y} - \frac{\delta H_0}{\delta Y} \cdot \frac{\delta \eta}{\delta X} \right)$  (1-30)

Een vergelijking met enkel de variabele  $\eta$  kan nu worden verkregen door (1-29) en (1-30) te combineren:

$\frac{\delta}{\delta t} \left[ \left( \frac{\delta^2}{\delta t^2} + f^2 \right) \eta - \nabla \cdot (C_0^2 \nabla \eta) \right] - gfJ(H_0, \eta) = 0$  (1-31)

Waarbij:  $C_0^2 = gH_0$  (1-32)

$J(A, B) \equiv \frac{\delta A}{\delta X} \cdot \frac{\delta B}{\delta Y} - \frac{\delta A}{\delta Y} \cdot \frac{\delta B}{\delta X}$  (1-33)

De snelheden  $u$  en  $v$ , uitgedrukt in termen van  $\eta$ , kunnen worden gevonden door (1-27) en (1-28) te combineren:

$\left( \frac{\delta^2}{\delta t^2} + f^2 \right) u = -g \left( \frac{\delta^2 \eta}{\delta X \delta t} + f \cdot \frac{\delta \eta}{\delta Y} \right)$  (1-34)

$\left( \frac{\delta^2}{\delta t^2} + f^2 \right) v = -g \left( \frac{\delta^2 \eta}{\delta Y \delta t} - f \cdot \frac{\delta \eta}{\delta X} \right)$  (1-35)



1.5. Poincaré en Kelvin golf

Beschouw nu de vrije, lineaire oscillaties van een ondiepe, roterende vloeistoflaag. Echter met die beperking dat er sprake is van een gedeeltelijk begrensde gebied en constante diepte  $H_0$ .

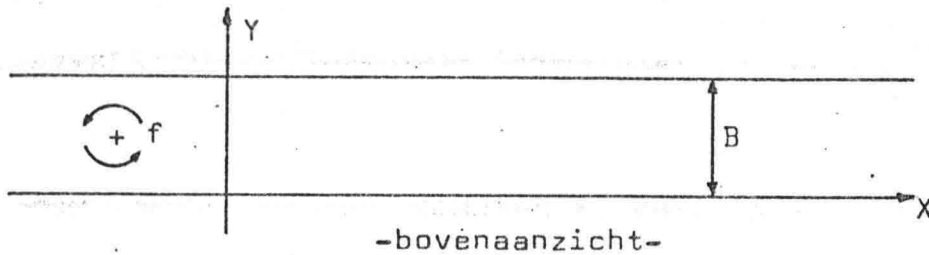


Fig.1:2. Oneindig lang kanaal, roterend met hoeksnelheid  $\frac{1}{2}f$ .

De dwarsnelheid  $v$  moet nul zijn voor  $Y=0$  en  $Y=B$ .

Uitgaande van (1-35) volgt uit deze voorwaarde:

$$\frac{\delta^2 \eta}{\delta Y \delta t} - f \cdot \frac{\delta \eta}{\delta X} = 0, \quad Y = 0, B \quad (1-36)$$

De vergelijking (1-31) wordt, bij constante  $H_0$ , gereduceerd tot:

$$\frac{\delta}{\delta t} \left[ \left( \frac{\delta^2}{\delta t^2} + f^2 \right) \eta - c_0^2 \nabla^2 \eta \right] = 0 \quad (1-37)$$

Golfoplossingen, welke periodiek zijn voor  $X$  en  $t$ , kunnen worden gezocht in de vorm:  $\eta = \text{Re } \bar{\eta}(Y) \cdot \exp(i(kX - \sigma t))$  (1-38)

waarbij  $\bar{\eta}(Y)$  de (complexe) golfamplitude is die varieert met  $Y$ .

Substitueren van (1-38) in (1-36) en (1-37) resulteert in het eigenwaardeprobleem voor  $\bar{\eta}$ , namelijk:

$$\frac{d^2 \bar{\eta}}{dY^2} + \left( \frac{\sigma^2 - f^2}{c_0^2} - k^2 \right) \bar{\eta} = 0 \quad (1-39)$$

$$\frac{d\bar{\eta}}{dY} + f \cdot \frac{k}{\sigma} \cdot \bar{\eta} = 0, \quad Y = 0, B \quad (1-40)$$

De algemene oplossing van (1-39) luidt:  $\bar{\eta} = A \sin \alpha Y + B \cos \alpha Y$  (1-41)

$$\text{waarbij: } \alpha^2 = \frac{\sigma^2 - f^2}{c_0^2} - k^2 \quad (1-42)$$

Substitutie van (1-41) in de randvoorwaarde (1-40) voor  $Y=0$  en  $Y=B$ , resulteert in twee lineaire, homogene vergelijkingen voor  $A'$  en  $B'$ :

$$\alpha A' + \frac{fk}{\sigma} \cdot B' = 0 \quad (1-43)$$

$$A' \left[ \alpha \cos \alpha B + f \cdot \frac{k}{\sigma} \cdot \sin \alpha B \right] + B' \left[ \frac{fk}{\sigma} \cdot \cos \alpha B - \alpha \sin \alpha B \right] = 0 \quad (1-44)$$

Niet-triviale oplossingen voor  $A'$  en  $B'$  kunnen enkel worden gevonden als de coëfficiëntendeterminant van de vergelijkingen voor  $A'$  en  $B'$  nul is. Dit levert de eigenwaarde relatie:

$$(\sigma^2 - f^2)(\sigma^2 - C_o^2 k^2) \sin \alpha B = 0 \quad (1-45)$$

Hieruit volgt dat er drie mogelijke oplossingen zijn:

$$(i) \sin \alpha B = 0 \quad (1-46)$$

$$(ii) \sigma^2 = C_o^2 k^2 \quad (1-47)$$

$$(iii) \sigma^2 = f^2 \quad (1-48)$$

(i)  $\sin \alpha B = 0$  (1-46) ; De Poincaré golf

Dit geldt alleen als:  $\alpha = n\pi/B$ ,  $n = 1, 2, 3, \dots$  (1-49)

Met behulp van (1-42) en (1-49) volgt hieruit voor :

$$\sigma = \pm \left[ f^2 + C_o^2 \left( k^2 + \frac{n^2 \pi^2}{B^2} \right) \right]^{\frac{1}{2}}, \quad n = 1, 2, 3, \dots \quad (1-50)$$

Met behulp van (1-41), (1-43) en (1-50) volgt hieruit het volgende stelsel:

$$\eta = \eta_o \left[ \cos \frac{n\pi Y}{B} - \frac{B}{n\pi} \cdot \frac{f}{C_x} \cdot \sin \frac{n\pi Y}{B} \right] \cos(kX - \sigma t + \varphi) \quad (1-51)$$

$$u = \frac{\eta_o}{H_o} \left[ \frac{C_o^2}{C_x} \cdot \cos \frac{n\pi Y}{B} - \frac{fB}{n\pi} \cdot \sin \frac{n\pi Y}{B} \right] \cos(kX - \sigma t + \varphi) \quad (1-52)$$

$$v = - \frac{\eta_o}{H_o} \cdot \frac{B}{\sigma n\pi} \left[ f^2 + \frac{C_o^2 n^2 \pi^2}{B^2} \right] \sin \frac{n\pi Y}{B} \cdot \sin(kX - \sigma t + \varphi) \quad (1-53)$$

De vergelijkingen (1-51), (1-52) en (1-53) geven de golven weer die Poincaré golven genoemd worden.

(ii)  $\sigma^2 = C_0^2 k^2$  (1-47) ; De Kelvin golf

Nu geldt :  $\sigma = \pm C_0 \cdot k$  (1-54)

daaruit volgt:  $\alpha^2 = -f^2 / C_0^2$  (1-55)

oftewel :  $\alpha = \pm if / C_0$  (1-56)

Hieruit volgt het volgende stelsel:

$$\eta = \eta_0 \cdot \exp(-fY/C_0) \cdot \cos(kX - kC_0 t + \varphi) \quad (1-57)$$

$$u = (\eta_0 / H_0) \cdot C_0 \cdot \exp(-fY/C_0) \cdot \cos(kX - kC_0 t + \varphi) \quad (1-58)$$

$$v = 0 \quad (1-59)$$

De vergelijkingen (1-57), (1-58) en (1-59) geven de Kelvin golf weer. De Kelvin golf heeft geen dwarsnelheid ( $v=0$ ).

Fysisch gezien komt het er op neer dat de Coriolis-kracht op de bewegende watermassa in evenwicht is met de kracht uitgeoefend door het verhang van de waterspiegel in dwarsrichting.

(iii)  $\sigma^2 = f^2$  (1-48)

Uitwerking van (1-48) laat zien dat dit een valse wortel van het eigenwaarde probleem is en dat de volledige oplossing bestaat uit de Poincaré en de Kelvin golf.

1.6. De Rossby golf

De opzet van paragraaf 1.5. wordt geheel aangehouden met die verandering dat de diepte varieert met de afstand  $Y$ :

$$H_0 = D_0 \cdot (1 - sY/B) \quad (1-60)$$

$$s \ll 1 \quad (1-61)$$

Wederom moet de oplossing voor (1-31) worden gezocht in de vorm:

$$\eta = \text{Re } \bar{\eta}(Y) \cdot \exp(ikX - i\sigma t) \quad (1-62)$$

Volgens een soortgelijke uitwerking als gegeven in paragraaf 1.5. wordt uiteindelijk het volgende stelsel gevonden:

$$\eta = \eta_0 \cdot \sin \frac{n\pi Y}{B} \cdot \cos(kX - \sigma t + \varphi) + O(s) \quad (1-63)$$

$$u = -\frac{g}{f} \cdot \frac{n\pi}{B} \cdot \eta_0 \cdot \cos \frac{n\pi Y}{B} \cdot \cos(kX - \sigma t + \varphi) + O(s) \quad (1-64)$$

$$v = -\frac{g}{f} \cdot k\eta_0 \cdot \sin \frac{n\pi Y}{B} \cdot \sin(kX - \sigma t + \varphi) + O(s) \quad (1-65)$$

$O(s)$  geeft een restterm aan in de orde van grootte van  $s$ .

De vergelijkingen (1-63), (1-64) en (1-65) geven golven weer die Rossby golven genoemd worden.

Voor kleine  $s$  is de frequentie  $\sigma$  van de Rossby golf altijd kleiner dan de Coriolis-parameter  $f$ .

Hieruit volgt dat de Rossby golf een laag frequente golf is met een golfperiode langer dan een dag.

### 1.7. Geschiktheidsonderzoek getijgolven

Vervolgens wordt onderzocht of één van de drie golven geschikt is voor toepassing in het te ontwerpen wiskundig model ter bepaling van getijstroomsnelheden langs de kust.

Dit geschiktheidsonderzoek bestaat uit twee punten:

1. Wat is het fysische belang van de te onderzoeken golf?
2. Is het mogelijk, om op grond van de verticale getijgegevens langs de kust, de bewuste getijgolf te berekenen?

Elk der drie getijgolven wordt getoetst aan deze twee punten:

De Poincaré golf: 1. Het betreft kustgebieden waar  $v \approx 0$  zodat de Poincaré golf niet hoeft te worden beschouwd.

2. De variabele  $n$  -in de formule van de Poincaré golf- kan enkel bepaald worden met getijgegevens uit de kust.

De Kelvin golf : 1. Van belang in kustgebieden.

2. De golf kan volledig bepaald worden op grond van verticale getijgegevens langs de kust.

De Rossby golf : 1. De Rossby golf is een laag frequente golf met een golfperiode langer dan een dag en om die reden niet van belang.

2. De golfhoogte is nul langs de kustlijn, vandaar dat de golf niet te bepalen is op grond van verticale getijgegevens langs de kust.

Conclusie: De Kelvin golf voldoet als enige aan de gestelde eisen. Vandaar dat de Kelvin golf ten grondslag ligt aan het ontwerp van het wiskundig model ter bepaling van getijstroomsnelheden langs de kust.

## 2. Eén inkomende Kelvin golf

### 2.1. Inleiding

In hoofdstuk 1 is de Kelvin golf gekozen als kenmerkende getijgolf in het ontwerp van het model ter bepaling van getijstroomsnelheden langs de kust.

Behalve uit te gaan van een bepaalde getijgolf is het ook van belang een bepaald golfbeeld te veronderstellen.

In hoofdstuk 2 en 3 zijn de twee volgende golfbeelden uitgewerkt:

1. Eén inkomende Kelvin golf (hoofdstuk 2)
2. Golfbeeld dat ontstaat door interferentie van één inkomende en één teruggekaatste Kelvin golf (hoofdstuk 3)

ad 1 Het geval van één inkomende Kelvin golf is uitgewerkt om inzicht te krijgen in het gedrag en ter inleiding van punt 2.

ad 2 Het geval van twee tegen elkaar inlopende Kelvin golven zal het golfbeeld zijn waarop het getijmodel zal berusten.

Voor beide golfbeelden is de wijze van uitwerking dezelfde. Deze bestaat uit het achtereenvolgens uitwerken van de golfhoogte  $\eta$ , de stroomsnelheid  $u$  en de fasesnelheid  $c$ . De grafische presentatie van de golfhoogte  $\eta$  en de stroomsnelheid  $u$  geschiedt voor beide op twee manieren:

- a. Als functie van  $X$ ,  $Y$  en  $t$
- b. Fase-amplitude diagram

ad a Hierbij wordt de golfhoogte  $\eta$  (of stroomsnelheid  $u$ ) langs de verticale as uitgezet en de variabele  $X$ ,  $Y$  of  $t$  langs de horizontale as. Deze presentatie geeft de meeste inzicht in het gedrag van de Kelvin golf.

ad b Hierbij wordt de fase  $\theta$  van de golfhoogte  $\eta$  (of stroomsnelheid  $u$ ) uitgezet tegen de amplitude  $|\eta|$  van de golf. Het fase-amplitude diagram dient als uitgangspunt voor de stroomsnelheidsberekening in hoofdstuk 4.

2.2. Situatieschets en formules

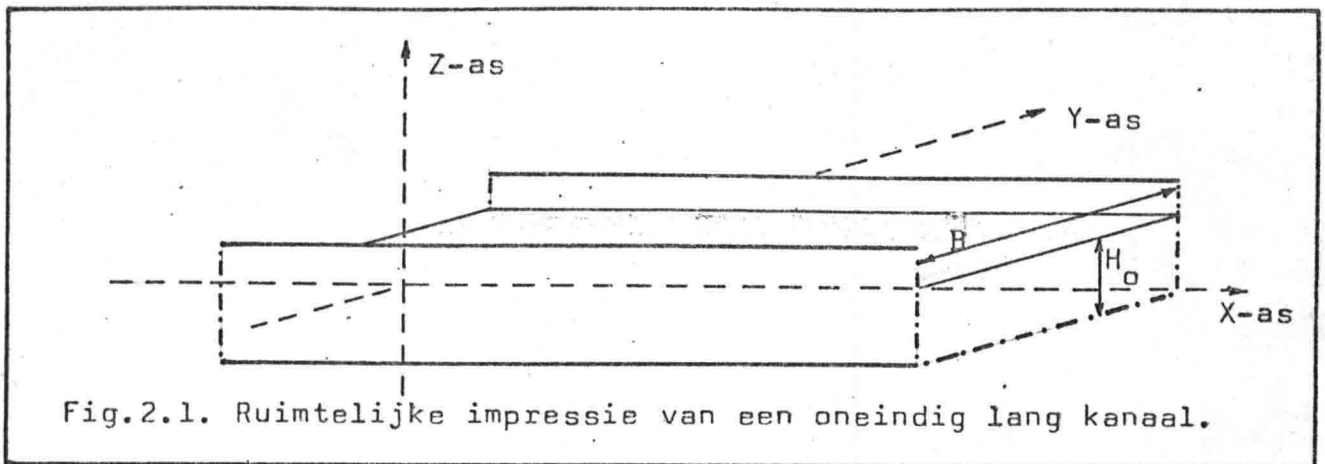


Fig.2.1. Ruimtelijke impressie van een oneindig lang kanaal.

De formules voor de Kelvin golf zijn:

$$\eta = \eta_0 \cdot \exp(-fY/C_0) \cdot \cos(k(X - C_0 t) + \varphi) \quad (2-1)$$

$$u = (\eta_0/H_0) \cdot C_0 \cdot \exp(-fY/C_0) \cdot \cos(k(X - C_0 t) + \varphi) \quad (2-2)$$

$$v = 0 \quad (2-3)$$

$$C_0 = \sqrt{gH_0}$$

f = Coriolis-parameter

H<sub>0</sub> = dikte van de vloeistoflaag bij afwezigheid van beweging

k = golfgetal

t = tijd

u = stroomsnelheid in X-richting

v = stroomsnelheid in Y-richting

X = coördinaat X-as

Y = coördinaat Y-as

η = golfhoogte

η<sub>0</sub> = amplitude golfhoogte η voor Y=0

φ = fasehoek

Mbv  $kC_0 = \sigma$  kan gesteld worden:  $\theta = kX - \sigma t + \varphi \quad (2-4)$

$$|\eta| = \eta_0 \cdot \exp(-fY/C_0) \quad (2-5)$$

Daaruit volgt  $\eta = |\eta| \cdot \cos\theta \quad (2-6)$

$$u = \sqrt{g/H_0} \cdot \eta \quad (2-7)$$

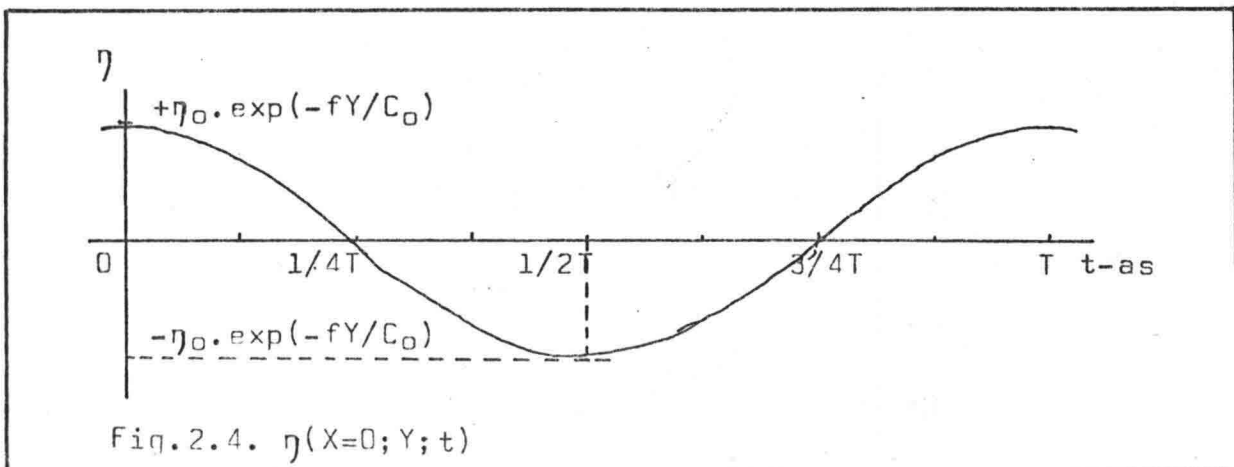
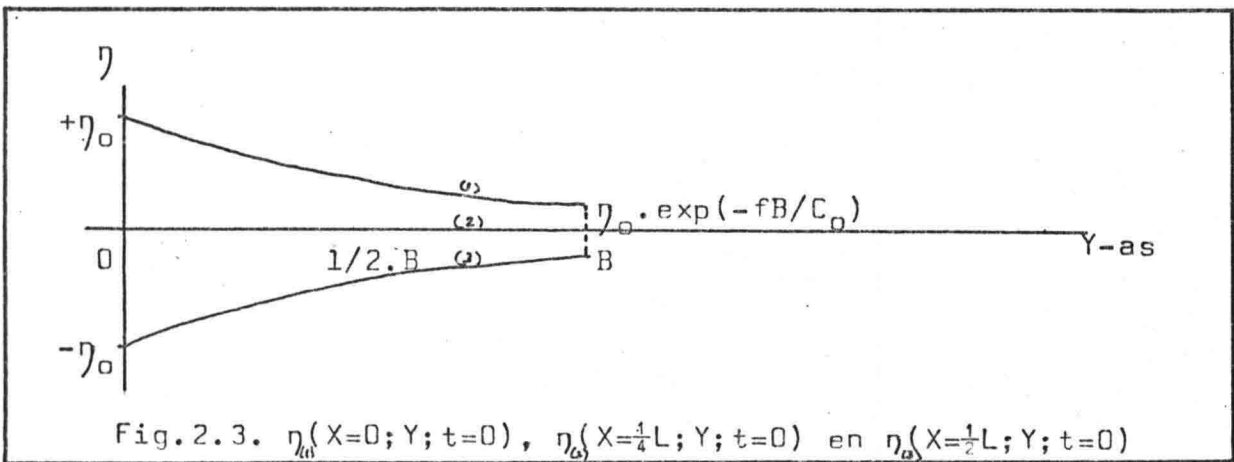
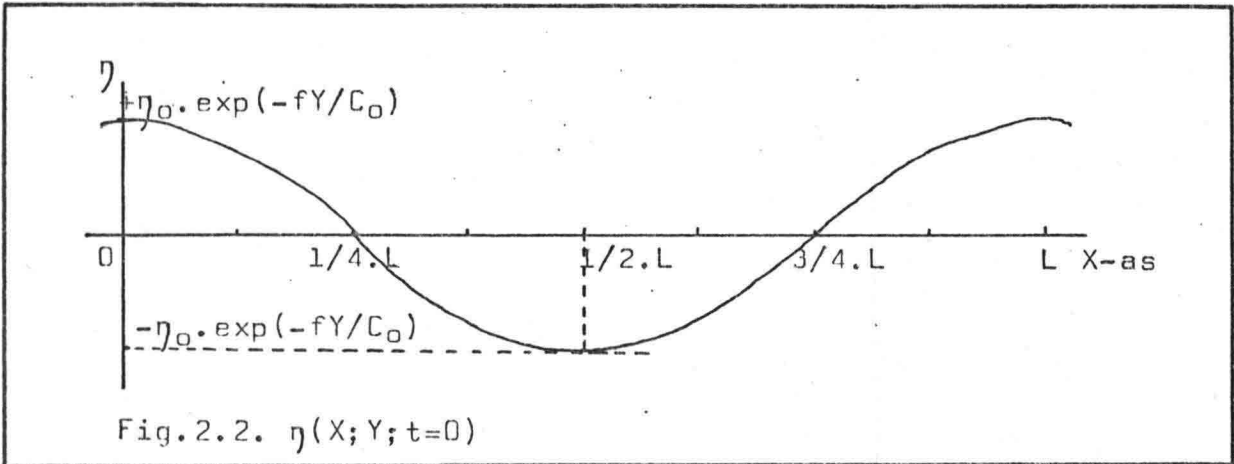
$$v = 0 \quad (2-8)$$

2.3. Golfhoogte  $\eta$

2.3.1. Golfhoogte  $\eta$  als functie van  $X$ ,  $Y$  en  $t$

De golfhoogte  $\eta$  is een functie van  $X$ ,  $Y$  en  $t$ :  $\eta(X, Y, t)$ .

De relaties  $\eta$ - $X$ ,  $\eta$ - $Y$  en  $\eta$ - $t$  zijn in de onderstaande grafieken weergegeven waarbij moet worden opgemerkt dat  $\varphi$  nul verondersteld is.



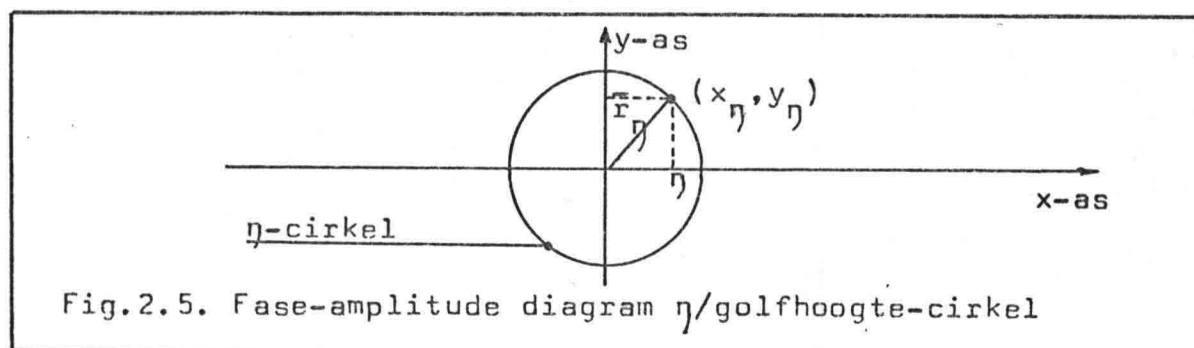


2.3.2. Fase-amplitude diagram golfhoogte  $\eta$

Formule golfhoogte  $\eta$  :  $\eta = |\eta| \cdot \cos\theta_\eta$   
 ; de parameters die behoren bij de golfhoogte  $n$  zijn voorzien van de index  $\eta$ .

Polaire coördinaten :  $(|\eta|, \theta_\eta)$   
 Amplitude  $|\eta|$  :  $|\eta| = \eta_0 \cdot \exp(-fY/C_0)$   
 Fasehoek  $\theta_\eta$  :  $\theta_\eta = kX - \sigma t + \varphi$   
 ; de hoek is positief tegen de wijzers van de klok in, gerekend vanaf de positieve X-as.

Cartesische coördinaten:  $(x_\eta, y_\eta)$   
 ; Let wel:  $x \neq X$  en  $y \neq Y$   
 $x_\eta$  :  $x_\eta = |\eta| \cdot \cos\theta_\eta$   
 $y_\eta$  :  $y_\eta = |\eta| \cdot \sin\theta_\eta$   
 Vector  $\vec{r}_\eta$  :  $\vec{r}_\eta$  loopt van 0 naar  $(x_\eta, y_\eta)$ .  
 $r_\eta$  is de straal van de golfhoogtecirkel



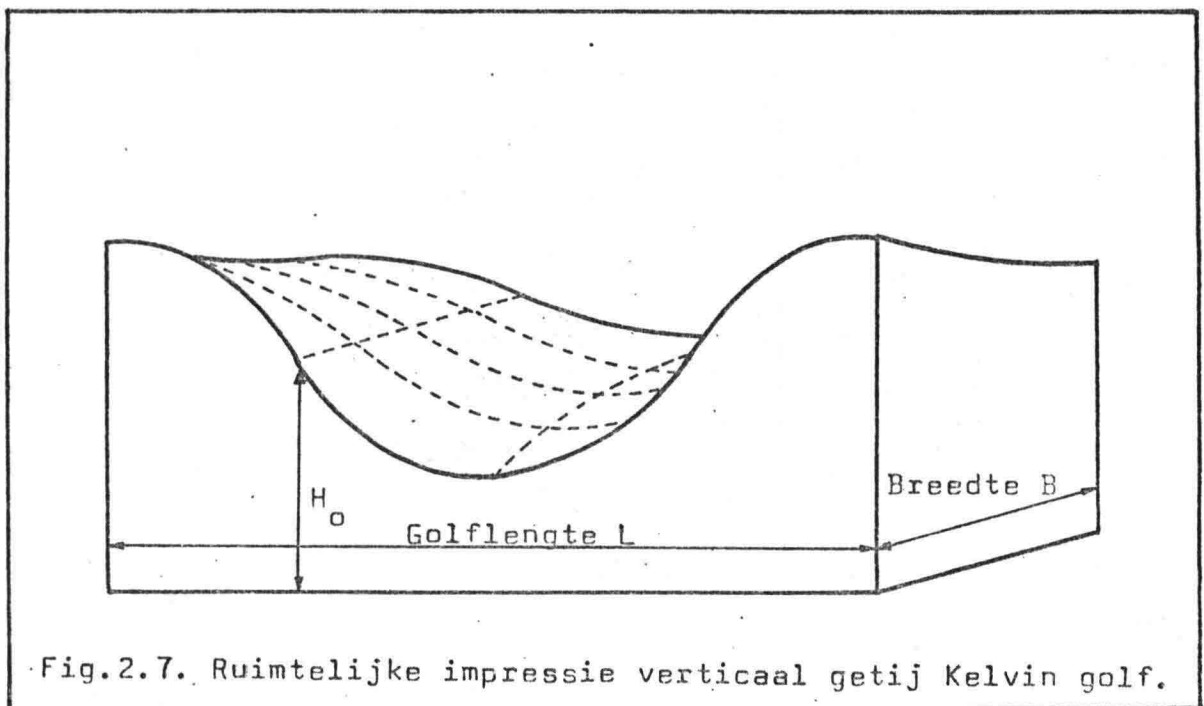
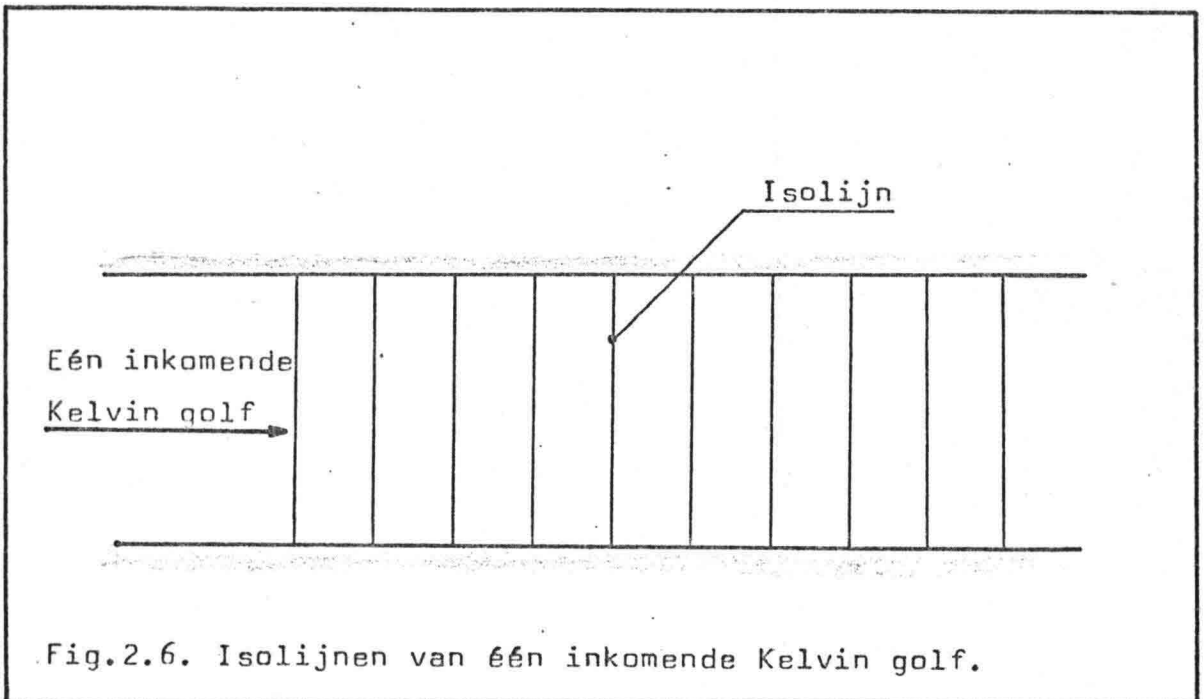
- (i) Invloed van X: Bij verandering van X verandert de fasehoek  $\theta_\eta$ .  
 Daardoor ontstaat de golfhoogte-cirkel.
- (ii) Invloed van Y: Bij verandering van Y verandert de grootte van de straal  $r_\eta$ . De  $\eta$ -cirkel wordt groter of kleiner.
- (iii) Invloed van t: Bij verandering van t verandert de fasehoek  $\theta_\eta$ .  
 $(x_\eta, y_\eta)$  doorloopt de  $\eta$ -cirkel.

### 2.3.3. Isolijnen van één inkomende Kelvin golf

Isolijnen zijn hier gedefinieerd als lijnen van gelijke fase.

In fig.2.6. is weergegeven hoe één inkomende Kelvin golf zich verplaatst in het oneindig lang veronderstelde kanaal. In een bovenaanzicht wordt de positie van de Kelvin golf op bepaalde fasen van de getijperiode door isolijnen aangegeven.

In fig.2.7. wordt een "3-dimensionale impressie gegeven van het verticale getij.

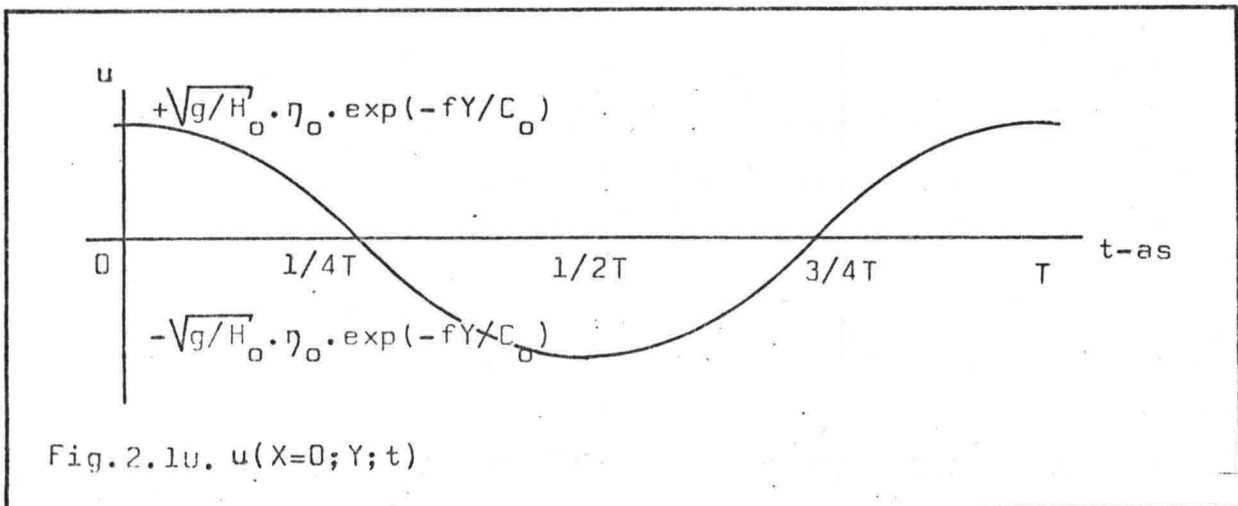
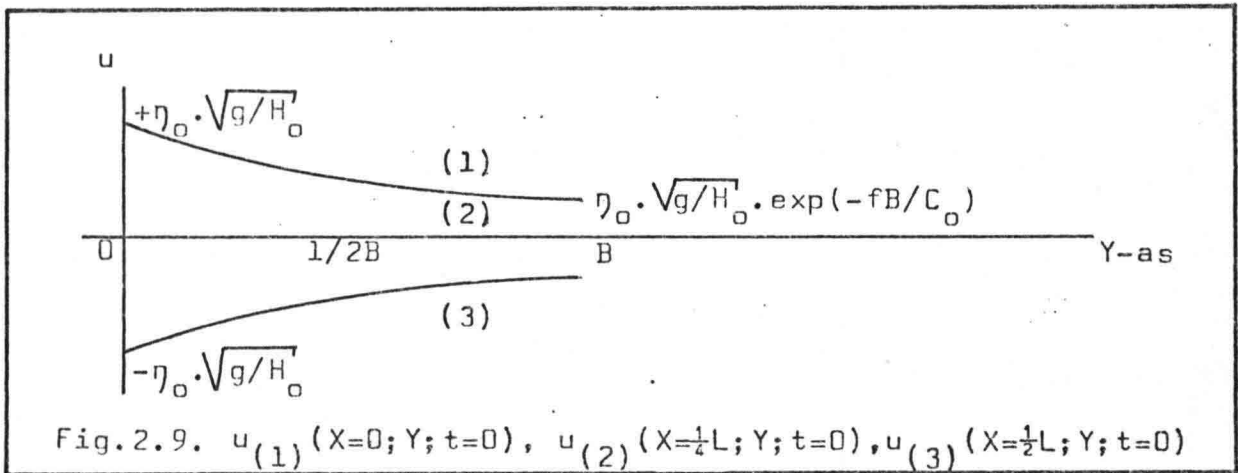
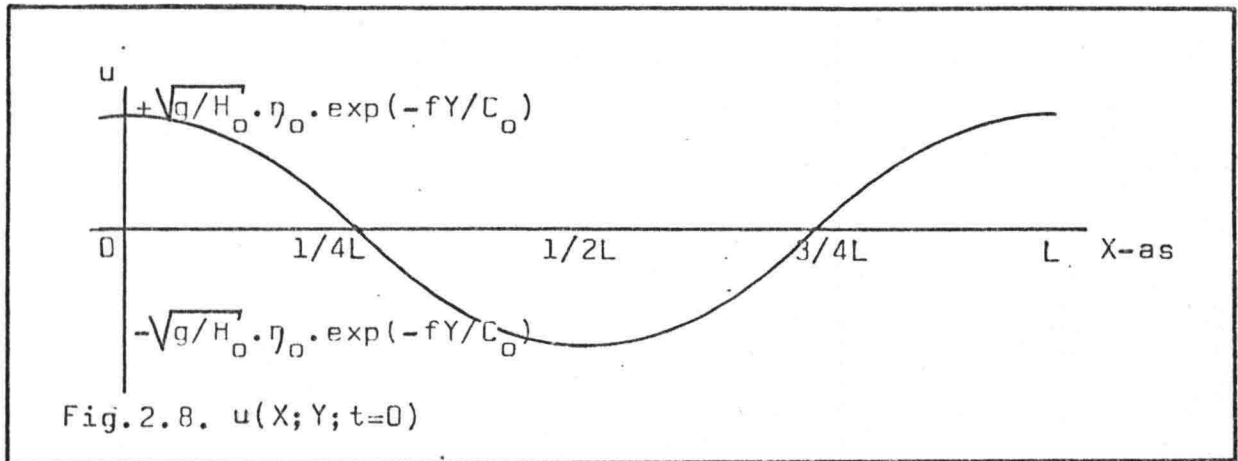


2.4. Stroomsnelheid u

2.4.1. Stroomsnelheid u als functie van X, Y en t

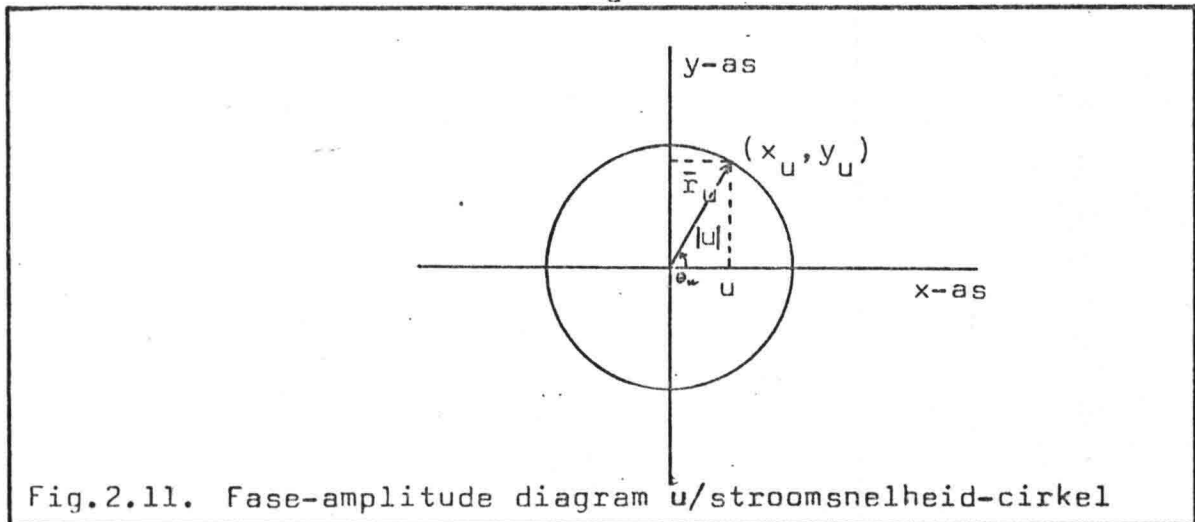
De stroomsnelheid in x-richting u is een functie van X, Y en t oftewel:  $u(X, Y, t)$ .

De relaties u-X, u-Y en u-T zijn in de onderstaande grafieken weergegeven waarbij moet worden opgemerkt dat  $\varphi$  nul is verondersteld.



2.4.2. Fase-amplitude diagram stroomsnelheid u

- a. Formule stroomsnelheid  $u$  :  $u = |u| \cdot \cos \theta_u$
- b. Polaire coördinaten :  $(|u|, \theta_u)$   
 Amplitude  $|u|$  :  $|u| = \sqrt{g/H_0} \cdot n_0 \cdot \exp(-fY/C_0)$   
 Fasehoek  $\theta_u$  :  $\theta_u = kX - \sigma t + \varphi$
- c. Cartesische coördinaten :  $(x, y)$   
 $x, y$  :  $x \neq X, y \neq Y$   
 $x_u$  :  $x_u = |u| \cdot \cos \theta_u$   
 $y_u$  :  $y_u = |u| \cdot \sin \theta_u$
- d. Vector  $\bar{r}_u$  :  $\bar{r}_u$  loopt van 0 naar  $(x_u, y_u)$ .  
 $r_u$  is de straal van de u-cirkel.

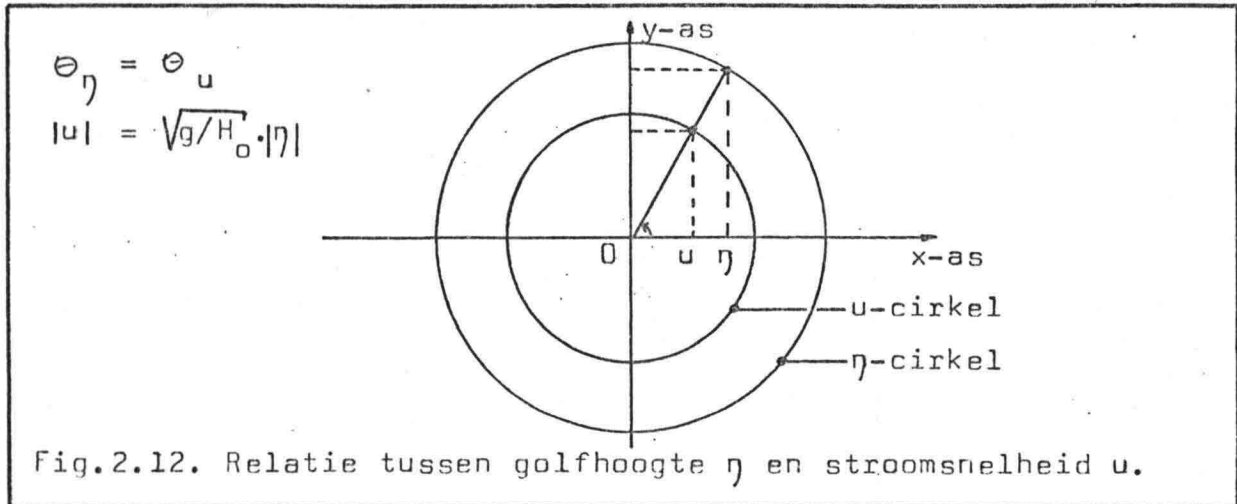


- (i) Invloed van  $X$  : Bij verandering van  $X$  verandert de fasehoek  $\theta_u$ .  
 Daardoor ontstaat de stroomsnelheid-cirkel.
- (ii) Invloed van  $Y$  : Bij verandering van  $Y$  verandert de grootte van de  
 straal  $r_u$ . De u-cirkel wordt groter of kleiner.
- (iii) Invloed van  $t$  : Bij verandering van  $t$  verandert de fasehoek  $\theta_u$ .  
 $(x_u, y_u)$  doorloopt de u-cirkel.

2.4.3. Relatie tussen  $\eta$  en  $u$

De relatie tussen de golfhoogte  $\eta$  en de stroomsnelheid  $u$  zal in onderstaande grafiek worden geïllustreerd.

Hieruit blijkt dat het enige verschil schuilt in de amplitude. De fase is voor beiden gelijk.



2.5. Fasesnelheid  $c$

De fasesnelheid  $c$  van een lopende golf is de snelheid waarmee de golfvorm zich verplaatst, ofwel een punt van constante fase, zoals een golfkam.

Golfhoogte  $\eta$  :  $\eta = \eta_0 \cdot \exp(-fY/C_0) \cdot \cos(kX - \sigma t + \varphi)$

Voor golfkam geldt :  $\delta\eta/\delta X = 0$

Daaruit volgt :  $X = (\sigma/k) \cdot t + \text{constante}$

Fasesnelheid  $c$  :  $c = \delta X/\delta t$   
 $= \sigma/k = L/T = \sqrt{gH_0}$

3. Golfbeeld door interferentie van één inkomende en één teruggekaatste Kelvin golf

3.1. Inleiding

In dit hoofdstuk wordt het golfbeeld onderzocht dat ontstaat door interferentie van één inkomende en één teruggekaatste Kelvin golf. Elke getijcomponent heeft dus een getijgolf die opgebouwd wordt gedacht uit één inkomende en één teruggekaatste Kelvin golf. Dit golfbeeld zal moeten dienen als model voor de berekening van getijstroomsnelheden langs de kust.

De Kelvin golf wordt gekarakteriseerd door bewegingsrichting, amplitude  $\eta_0$ , golfgetal  $k$ , frequentie  $\sigma$  en beginfase  $\varphi$ .

Voor de inkomende Kelvin golf (golf 1) en de teruggekaatste Kelvin golf (golf 2) wordt verondersteld:

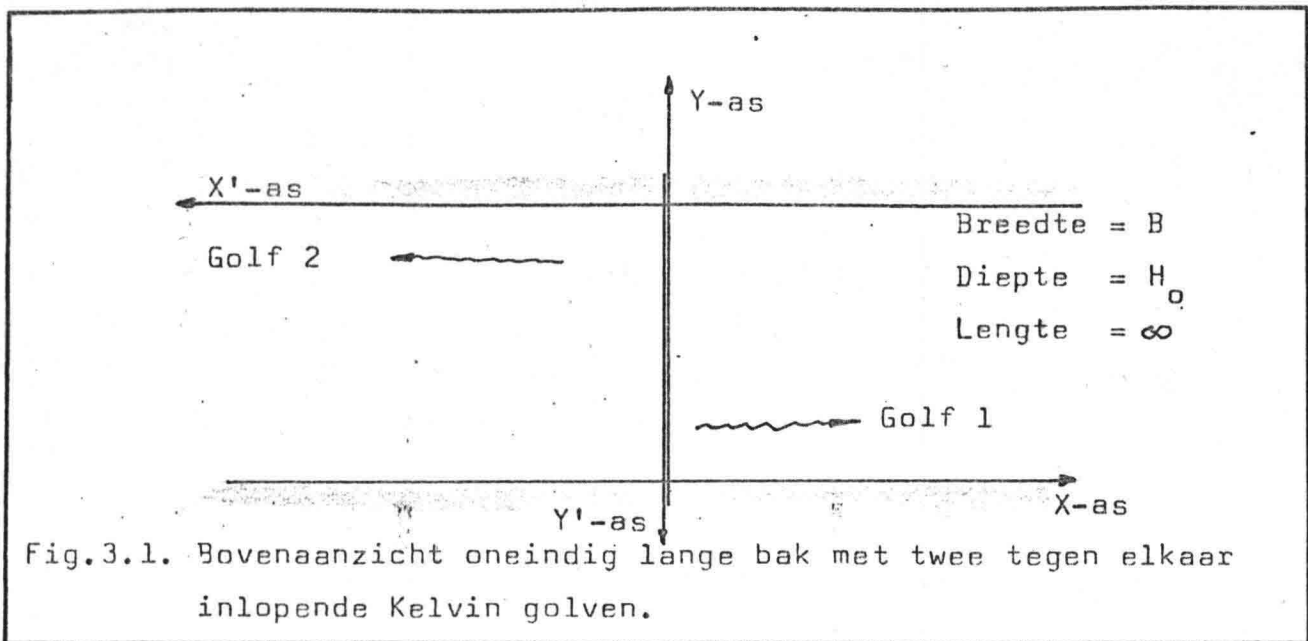
- a. Bewegingsrichting: tegengesteld
- b. Amplitude  $\eta_0$  : -
- c. Golfgetal  $k$  : gelijk
- d. Frequentie  $\sigma$  : gelijk
- e. Beginfase  $\varphi$  : -

De parameters die behoren bij golf 1 en 2 zijn voorzien van de index "1" respectievelijk "2". In geval de parameters voor beide golven gelijk zijn ( $\sigma$  en  $k$ ) wordt afgezien van een index.

De golf die ontstaat door interferentie van golf 1 en 2 wordt de "samengestelde" of "totale golf" genoemd waarbij de parameters "tot" als index hebben.

Aangezien het fase-amplitude diagram van de totale golfhoogte en de totale stroomsnelheid ten grondslag liggen aan het op te zetten model, zal hieraan de meeste aandacht worden geschonken.

3.2. Situatieschets en formules



De formules voor golf 1 t.o.v. het XY-assenstelsel luiden:

$$\eta_1 = \eta_{o_1} \cdot \exp(-fY/C_0) \cdot \cos(kX - \sigma t + \varphi_1) \quad (3-1)$$

$$u_1 = \sqrt{g/H_0} \cdot \eta_{o_1} \cdot \exp(-fY/C_0) \cdot \cos(kX - \sigma t + \varphi_1) \quad (3-2)$$

$$v_1 = 0 \quad (3-3)$$

De formules voor golf 2 t.o.v. het X'Y'-assenstelsel luiden:

$$\eta_2 = \eta_{o_2} \cdot \exp(-fY'/C_0) \cdot \cos(kX' - \sigma t + \varphi_2) \quad (3-4)$$

$$u_2 = \sqrt{g/H_0} \cdot \eta_{o_2} \cdot \exp(-fY'/C_0) \cdot \cos(kX' - \sigma t + \varphi_2) \quad (3-5)$$

$$v_2 = 0 \quad (3-6)$$

De formules voor golf 2 zijn ook t.o.v. het XY-assenstelsel te geven met behulp van de volgende relaties:

$$X' = -X \quad (3-7)$$

$$Y' = B - Y \quad (3-8)$$

$u_2$  is positief indien deze de richting heeft van de positieve X'-as. Bij omzetting van  $u_2$  naar het XY-assenstelsel treedt hier dus een tekenwisseling op!

De formules voor golf 2 t.o.v. het XY-assenstelsel luiden:

$$\eta_2 = \eta_{o_2} \cdot \exp(-fB/C_0) \cdot \exp(+fY/C_0) \cdot \cos(-kX - \sigma t + \varphi_2) \quad (3-9)$$

$$u_2 = -\sqrt{g/H_0} \cdot \eta_{o_2} \cdot \exp(-fB/C_0) \cdot \exp(+fY/C_0) \cdot \cos(-kX - \sigma t + \varphi_2) \quad (3-10)$$

$$v_2 = 0 \quad (3-11)$$

3.3. De totale golfhoogte  $\eta_{tot}$

3.3.1. Bepaling  $\eta_{tot}$

$$\eta_1 = \eta_{o_1} \cdot \exp(-fY/C_o) \cdot \cos(kX - \sigma t + \varphi_1) \quad (3-1)$$

$$\eta_2 = \eta_{o_2} \cdot \exp(-fB/C_o) \cdot \exp(+fY/C_o) \cdot \cos(-kX - \sigma t + \varphi_2) \quad (3-9)$$

$$\eta_{tot} = \eta_1 + \eta_2 \quad (3-12)$$

Door een geschikte keuze van  $X=0$  en  $t=0$  is het mogelijk de beginfases  $\varphi_1$  en  $\varphi_2$  te elimineren uit de vergelijkingen (3-1) en (3-9): Als verondersteld wordt dat  $t=0$  op het moment dat beide golfhoogten maximaal zijn op  $X=0$ , geldt dat  $\varphi_1=0$  en  $\varphi_2=0$ .

$$\eta_1 = \eta_{o_1} \cdot \exp(-fY/C_o) \cdot \cos(kX - \sigma t) \quad (3-13)$$

$$\eta_2 = \eta_{o_2} \cdot \exp(-fB/C_o) \cdot \exp(+fY/C_o) \cdot \cos(kX + \sigma t) \quad (3-14)$$

$$\eta_{tot} = \eta_1 + \eta_2 \quad (3-15)$$

Voor de totale golfhoogte  $\eta_{tot}$  geldt dan:

$$(i) \quad \eta_{tot} = \eta_{o_1} \cdot \exp(-fY/C_o) \cdot \sqrt{1 + \gamma^2 + 2\gamma \cdot \cos(2kX)} \cdot \cos(\sigma t - \delta) \quad (3-16)$$

$$\gamma = (\eta_{o_2}/\eta_{o_1}) \cdot \exp(-fB/C_o) \cdot \exp(+2fY/C_o) \quad (3-17)$$

$$\delta = \arctan((1-\gamma)/(1+\gamma)) \cdot \tan(kX) \quad (3-18)$$

$$(ii) \quad \eta_{tot} = \eta_{o_1} \cdot \exp(-fY/C_o) \cdot \sqrt{1 + \gamma^2 + 2\gamma \cdot \cos(2\sigma t)} \cdot \cos(kX - \epsilon) \quad (3-19)$$

$$\gamma = (\eta_{o_2}/\eta_{o_1}) \cdot \exp(-fB/C_o) \cdot \exp(+2fY/C_o) \quad (3-20)$$

$$\epsilon = \arctan((1-\gamma)/(1+\gamma)) \cdot \tan(\sigma t) \quad (3-21)$$

Uit (i) en (ii) blijkt dat de formule voor de totale golfhoogte  $\eta_{tot}$  op vaste plaats als functie van de tijd dezelfde structuur heeft als de formule voor  $\eta_{tot}$  op vast tijdstip als functie van de plaats!



3.3.2. De totale golfhoogte  $\eta_{tot}$  als functie van t

Ter verduidelijking van het karakter van de totale golfhoogte  $\eta_{tot}$  zijn vele grafieken denkbaar. Om onnodige complexiteit te voorkomen is hier gekozen voor onderstaande grafiek. Hierin wordt de golfhoogte van de totale golf bepaald door twee tegen elkaar inlopende golven te superponeren. Zo wordt een redlijke indruk gegeven van het golfbeeld dat ontstaat in lengterichting.

- Aantekeningen grafiek: a. X : een golflengte L, vanaf X=0.  
 b. Y : constant  
 c. t : een periode T met tijdstappen van  $1/12.T$ .  
 d.  $\gamma$  :  $\frac{1}{2}$  (keuze is vrij)

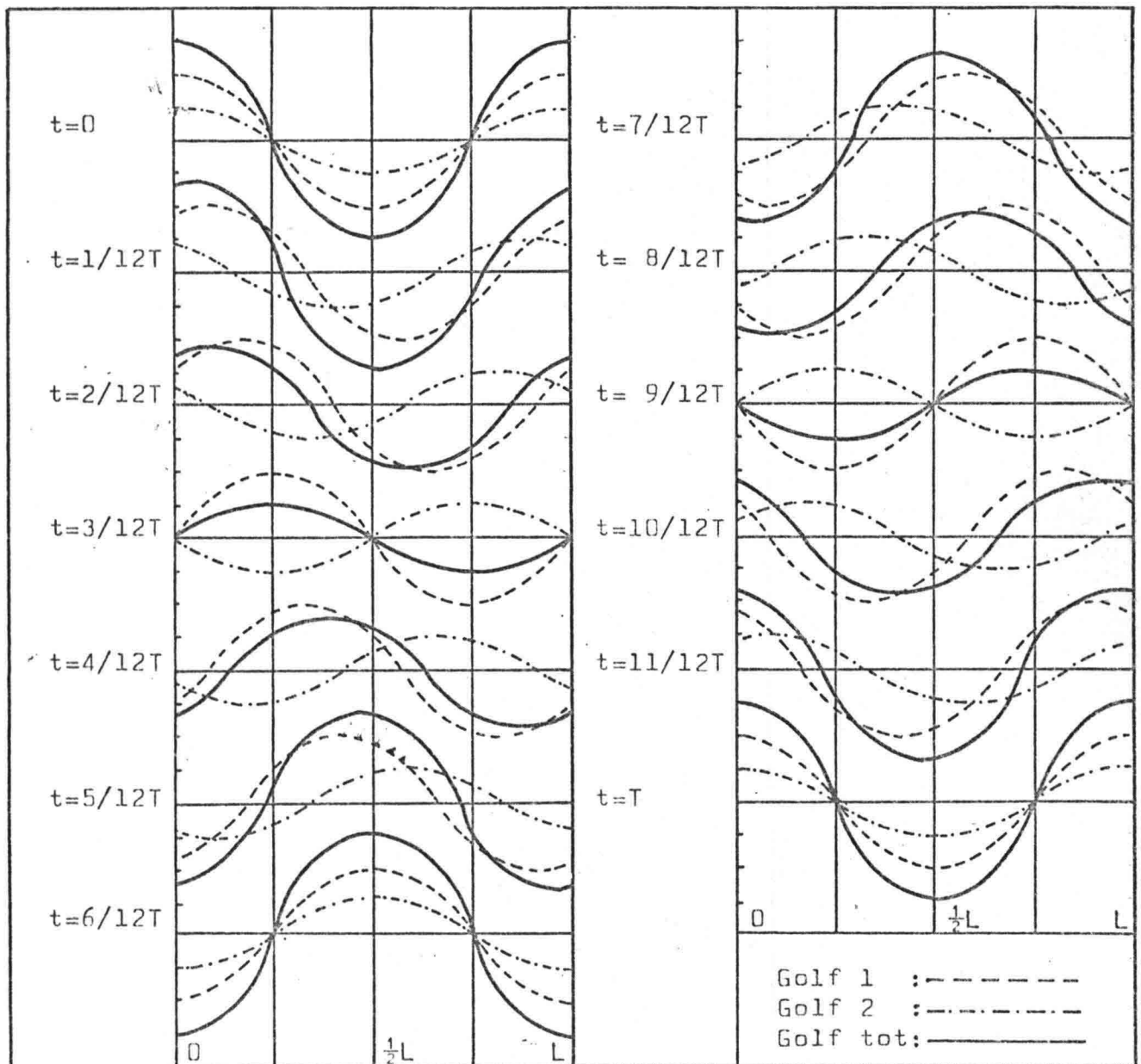


Fig.3.2. Totale golfhoogte door de golfhoogten van twee tegen elkaar inlopende golven te superponeren.

Uitgaande van de formules (3-16) t/m (3-21) en fig.3.2. ter illustratie kan nu geconcludeerd worden dat:

- a. De totale golf verplaatst zich in dezelfde richting als de golf met de grootste amplitude.
- b. De snelheid waarmee de golfvorm zich verplaatst, de fasesnelheid, is niet constant. Wel blijkt dat het gemiddelde van de fasesnelheid gelijk is aan die van de enkele golf.
- c. De totale golf heeft een lopend karakter als golf 2 nul is. De totale golf heeft een lopend/staand karakter als de amplituden der samenstellende golven ongelijk zijn (maar ongelijk aan nul). De totale golf heeft een staand karakter bij gelijke amplituden van de samenstellende golven.
- d. De totale golfhoogte  $\eta_{tot}$ , de som van golfhoogten 1 en 2, heeft een cosinus-vorm waarbij de amplitude varieert.
- e. Beschouwd over de tijd  $t$  vertoont de amplitude van de totale golfhoogte een slingering met een frequentie die het dubbele is van die van de enkele Kelvin golf. De maximale waarde van de totale golfhoogte bedraagt  $\eta_0 \cdot \sqrt{1 + \gamma^2 + 2 \cdot \gamma} = \eta_0 \cdot (1 + \gamma)$ . De minimale waarde van de totale golfhoogte bedraagt  $\eta_0 (1 - \gamma)$ .
- f. Beschouwd over de lengterichting  $X$  (de kust) vertoont de amplitude van de totale golfhoogte een slingering met dubbel golfgetal ( $2k$ ). De amplitude van de totale golfhoogte varieert van  $\eta_0 (1 + \gamma)$  voor de maxima ( $X=0, \frac{1}{2}L, L, \dots$ ) tot  $\eta_0 (1 - \gamma)$  voor de minima ( $X=\frac{1}{4}L, \frac{3}{4}L, \dots$ ).

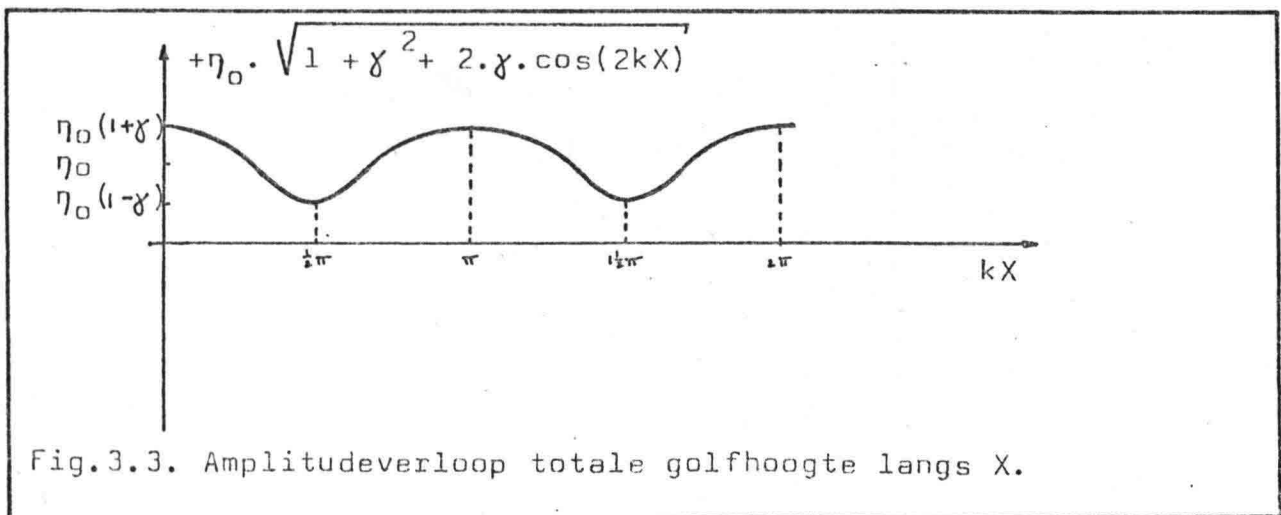


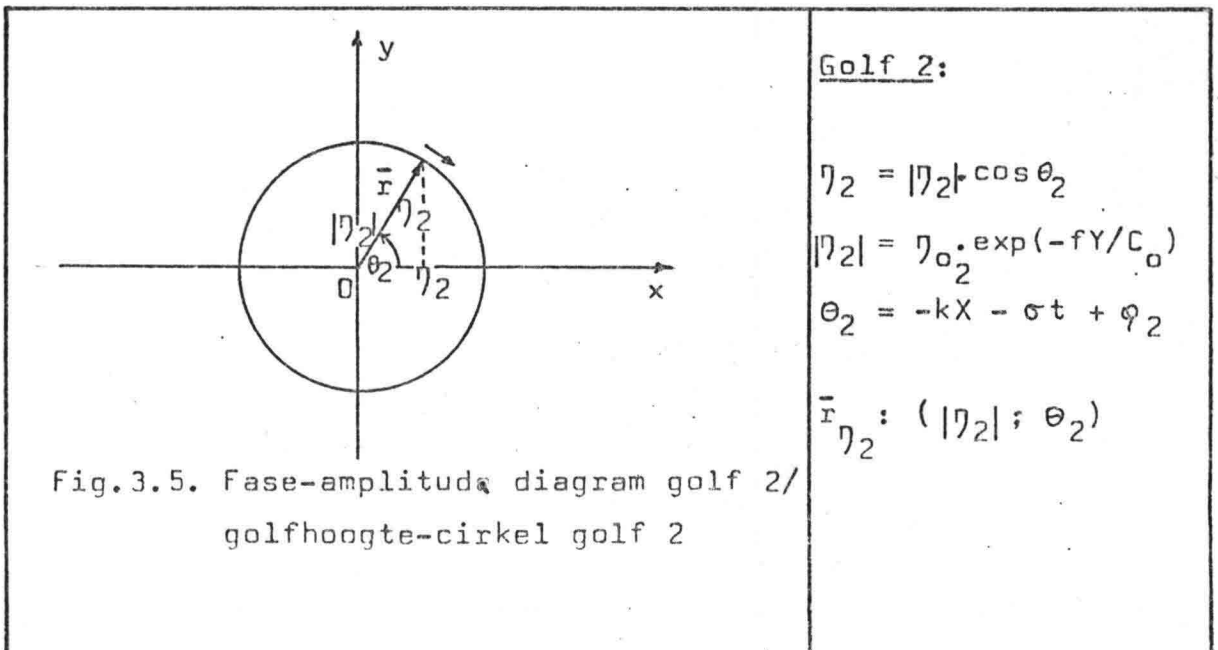
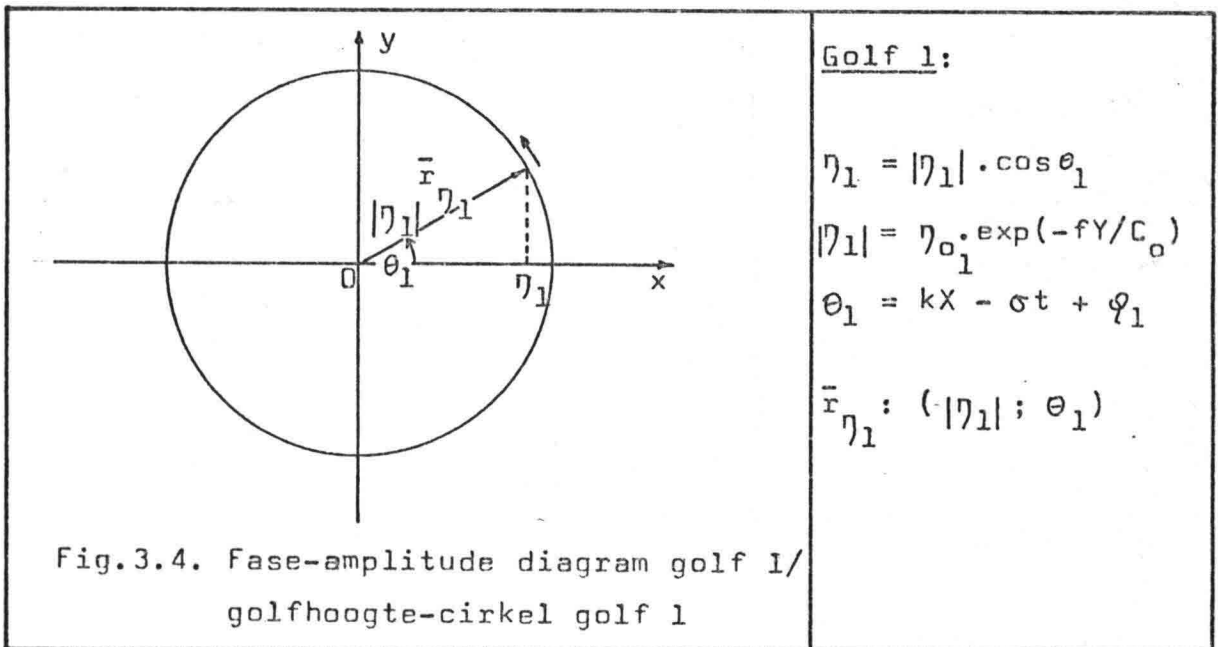
Fig.3.3. Amplitudeverloop totale golfhoogte langs  $X$ .

3.3.3. Fase-amplitude diagram totale golfhoogte  $\eta_{tot}$

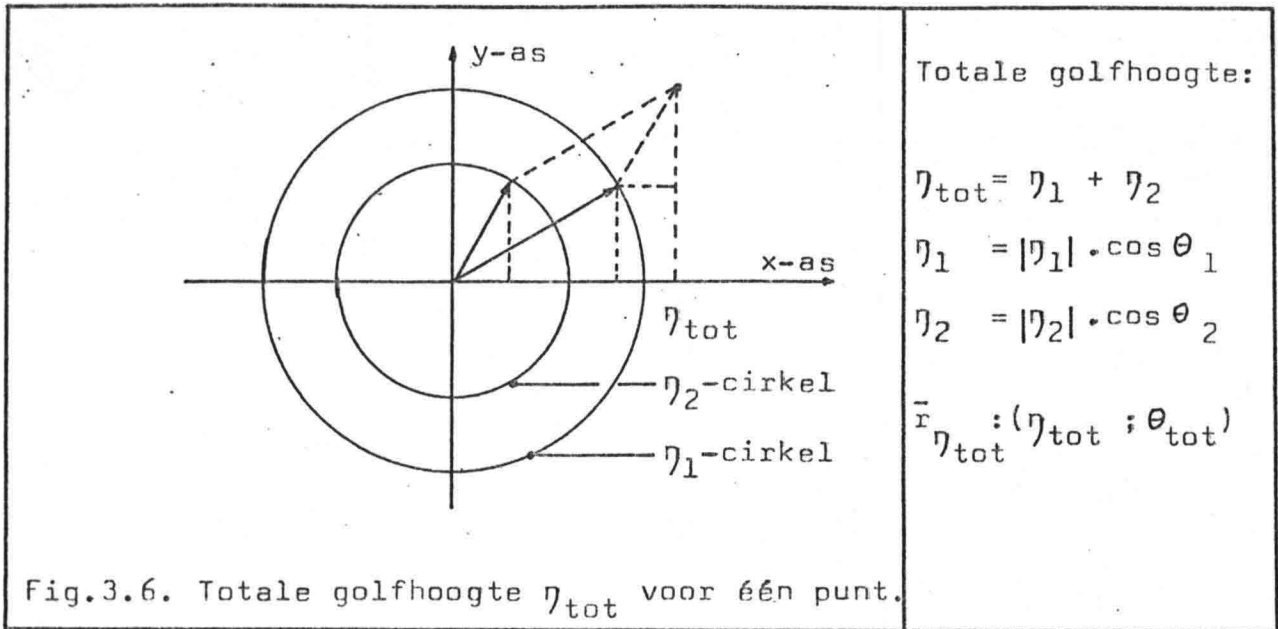
De totale golfhoogte  $\eta_{tot}$  kan worden bepaald door golfhoogte 1 (fig.3.4.) en golfhoogte 2 (fig.3.5.) te superponeren.

Het superponeren van deze twee golfhoogten gebeurt in eerste instantie voor vaste waarden van  $X$ ,  $Y$  en  $t$ . Vervolgens wordt de invloed van elk der variabelen beschouwd.

Het pijltje bij de golfhoogte-cirkels (fig.3.4. en fig.3.5.) geeft de draairichting aan van de straal  $\bar{r}$  bij toename van  $X$ .

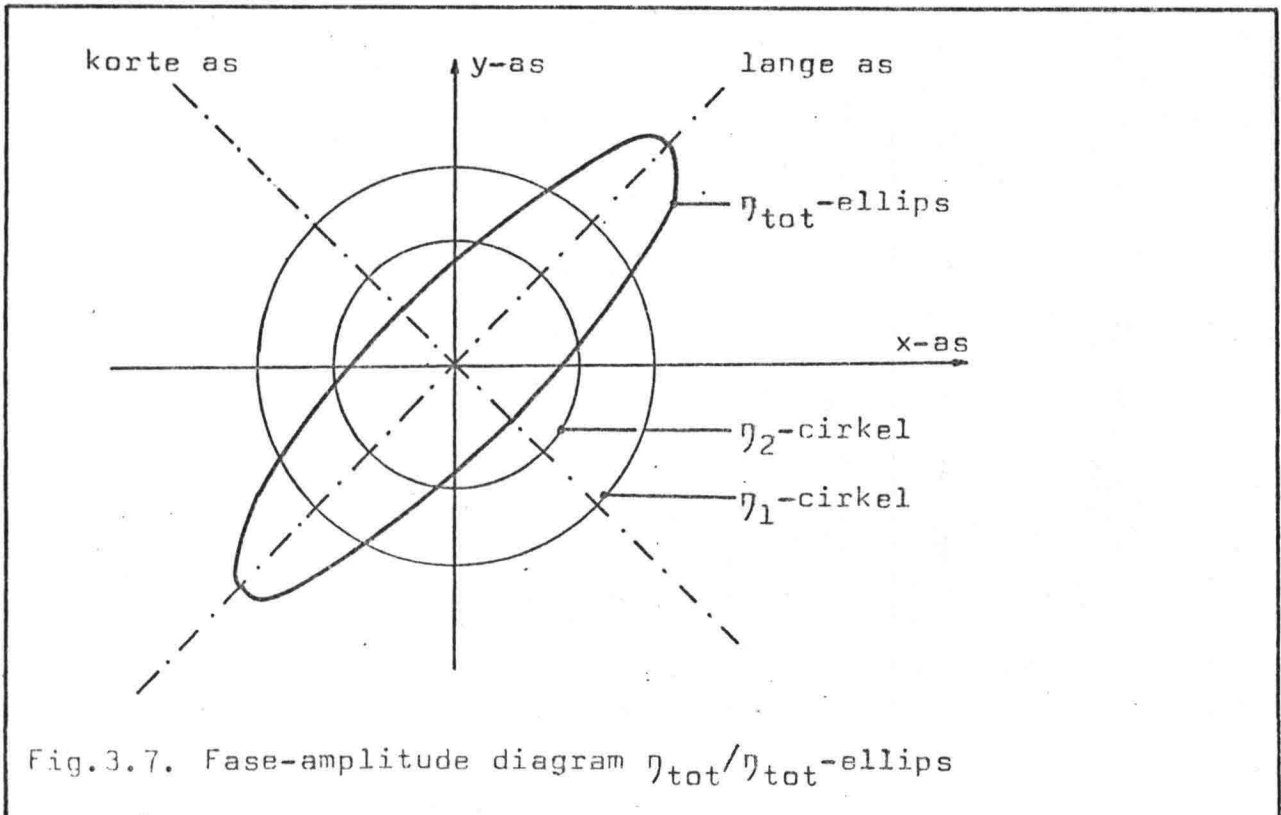


De totale golfhoogte wordt verkregen door golfhoogte 1 en golfhoogte 2 te superponeren, zoals wordt aangegeven in fig.3.6..



(i) Invloed van X:

Door nu X te laten toenemen gaan de stralen van de cirkels 1 en 2,  $\vec{r}_{\eta_1}$  resp.  $\vec{r}_{\eta_2}$ , met gelijke grootte van hoeksnelheid tegen elkaar inlopen. Door vectoriële sommatie van deze stralen ontstaat de goniometrische figuur zoals is aangegeven in fig.3.7.. Deze goniometrische figuur is een ellips en geeft de totale golfhoogte  $\eta_{tot}$  weer als functie van X bij vaste Y en t.



Bij het fase-amplitude diagram van de enkele Kelvin golf wordt de term "straal  $\bar{r}$ " gebruikt aangezien hier sprake is van een cirkel.

Het fase-amplitude diagram van de samengestelde golf wordt echter gekenmerkt door een ellips, vandaar dat nu de term "radius vector  $\bar{r}$ " wordt gebruikt.

(ii) Invloed van  $Y$ :

Zoals is aangegeven in fig.3.8. beïnvloedt  $Y$  de straalgrootte van de golfhoogte-cirkel. Aangezien de radius vector ontstaat door sommatie van de golfhoogte stralen verandert ook de grootte van de radius vector.

Er treedt wel een faseverschuiving op voor de radius vector maar dit wordt indirect veroorzaakt door de grootteverandering van de golfhoogte stralen.  $Y$  heeft geen rechtstreekse invloed op de fase aangezien  $Y$  niet in de fase-formule voorkomt!

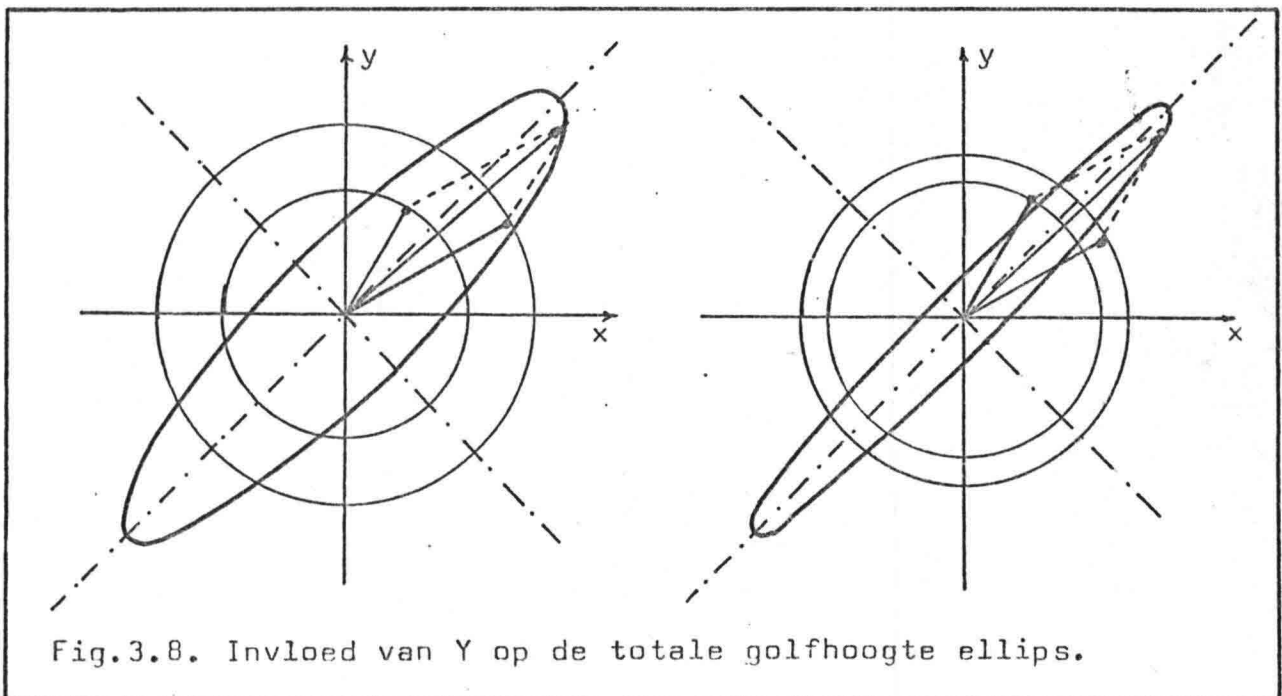


Fig.3.8. Invloed van  $Y$  op de totale golfhoogte ellips.

(iii) Invloed van  $t$ :

Bij een toename van  $t$  roteert de totale golfhoogte ellips in zijn totaliteit over de hoek  $-\sigma t$ .

3.3.4. Isolijnen bij interferentie van één inkomende en één teruggekaatste Kelvin golf

Isolijnen zijn hier gedefinieerd als lijnen van gelijke fase.

In fig.3.9. zijn de isolijnen getekend die ontstaan bij interferentie van één inkomende en één teruggekaatste Kelvin golf. Hierbij is verondersteld:  $\eta_{o_1} = \eta_{o_2}$

Het hierdoor ontstane golfbeeld staat bekend als het amfidromisch systeem.

Amfidromie, amfidromisch punt of draaigetijde is het knoop- of draaipunt in isolijnen. Het is een punt waar de amplitude van het verticale getij (golfhoogte  $\eta$ ) nul is. In het amfidromisch punt treden wel degelijk getijdestromen op maar er is géén hoog- of laagwater. Om dit amfidromisch punt draaien de lijnen van gelijk hoogwater (en laagwater) op het noordelijk halfrond tegen de wijzers van de klok in, op het zuidelijk halfrond met de wijzers van de klok mee.

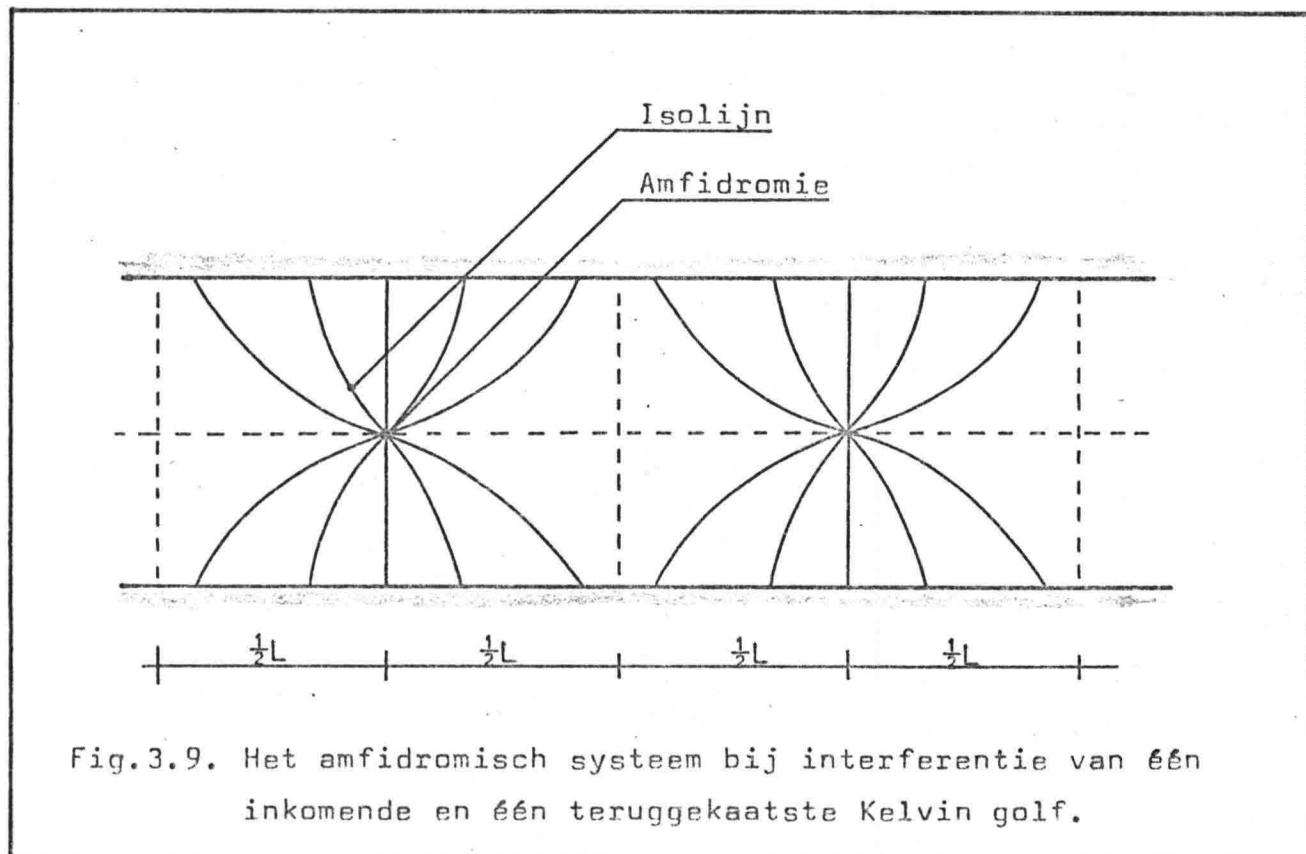


Fig.3.9. Het amfidromisch systeem bij interferentie van één inkomende en één teruggekaatste Kelvin golf.

3.4. De totale stroomsnelheid  $u_{tot}$

3.4.1. Bepaling  $u_{tot}$

$$u_1 = +\sqrt{g/H_0} \cdot \eta_{o1} \cdot \exp(-fY/C_0) \cdot \cos(kX - \sigma t + \varphi_1) \quad (3-22)$$

$$u_2 = -\sqrt{g/H_0} \cdot \eta_{o2} \cdot \exp(-fB/C_0) \cdot \exp(+fY/C_0) \cdot \cos(-kX - \sigma t + \varphi_2) \quad (3-23)$$

$$u_{tot} = u_1 + u_2 \quad (3-24)$$

Door een geschikte keuze van  $X=0$  en  $t=0$  is het mogelijk de beginfasen  $\varphi_1$  en  $\varphi_2$  te elimineren uit de vergelijkingen (3-22) en (3-23). Als verondersteld wordt dat  $t=0$  op het moment dat beide golfhoogten maximaal zijn op  $X=0$  geldt dat  $\varphi_1=0$  en  $\varphi_2=0$ .

$$u_1 = +\sqrt{g/H_0} \cdot \eta_{o1} \cdot \exp(-fY/C_0) \cdot \cos(kX - \sigma t) \quad (3-25)$$

$$u_2 = -\sqrt{g/H_0} \cdot \eta_{o2} \cdot \exp(-fB/C_0) \cdot \exp(+fY/C_0) \cdot \cos(kX + \sigma t) \quad (3-26)$$

$$u_{tot} = u_1 + u_2 \quad (3-27)$$

Voor de totale stroomsnelheid  $u_{tot}$  geldt dan:

$$(i) \quad u_{tot} = +\sqrt{g/H_0} \cdot \eta_{o1} \cdot \exp(-fY/C_0) \cdot \sqrt{1 + \gamma^2 - 2\gamma \cos(2kX)} \cdot \cos(\sigma t - \mu) \quad (3-28)$$

$$\gamma = (\eta_{o2}/\eta_{o1}) \cdot \exp(-fB/C_0) \cdot \exp(+2fY/C_0) \quad (3-29)$$

$$\mu = \arctan((1+\gamma)/(1-\gamma) \cdot \tan(kX)) \quad (3-30)$$

$$(ii) \quad u_{tot} = +\sqrt{g/H_0} \cdot \eta_{o1} \cdot \exp(-fY/C_0) \cdot \sqrt{1 + \gamma^2 - 2\gamma \cos(2\sigma t)} \cdot \cos(kX - \tau) \quad (3-31)$$

$$\gamma = (\eta_{o2}/\eta_{o1}) \cdot \exp(-fB/C_0) \cdot \exp(+2fY/C_0) \quad (3-32)$$

$$\tau = \arctan((1+\gamma)/(1-\gamma) \cdot \tan(\sigma t)) \quad (3-33)$$

Uit (i) en (ii) blijkt dat de formule voor de totale stroomsnelheid  $u_{tot}$  op vaste plaats als functie van de tijd dezelfde structuur heeft als de formule voor  $u_{tot}$  op vast tijdstip als functie van de plaats!

3.4.2. De totale stroomsnelheid  $u_{tot}$  als functie van  $t$

Ter verduidelijking van het karakter van de totale stroomsnelheid  $u_{tot}$  zijn vele grafieken denkbaar. Om onnodige complexiteit te voorkomen is hier gekozen voor onderstaande grafiek.

Hierin wordt de stroomsnelheid van de totale golf bepaald uitgaande van de golfhoogten van de samenstellende Kelvin golven.

- Aantekeningen grafiek:
- a. X : een golflengte L, vanaf X=0.
  - b. Y : constant
  - c. t : een periode T met tijdstappen van  $1/12T$ .
  - d.  $\gamma$  :  $\frac{1}{2}$  (keuze is vrij)

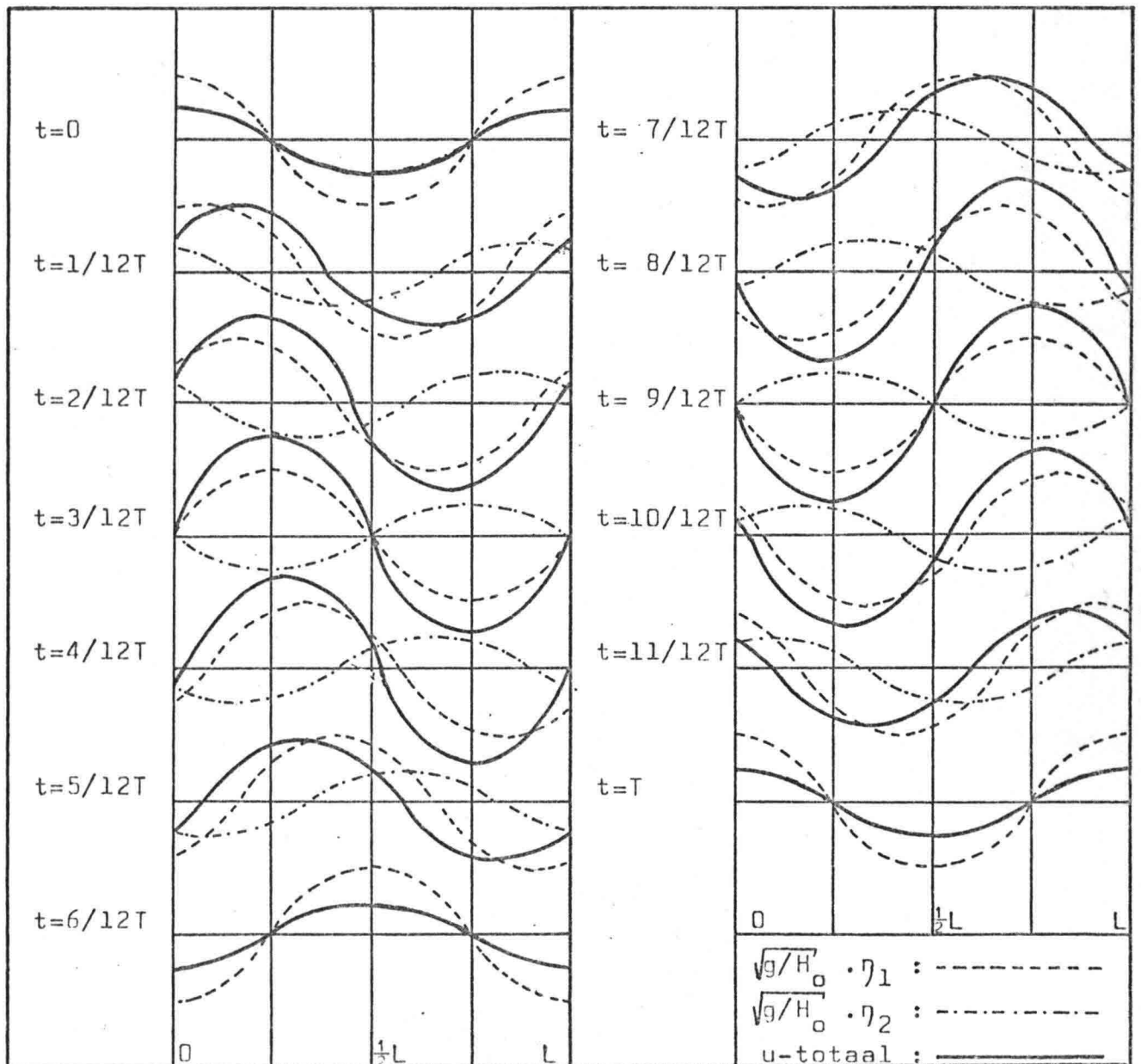


Fig.3.10. Totale stroomsnelheid  $u_{tot}$ .



Met behulp van (3-1) en (3-9) kunnen de formules (3-22), (3-23) en (3-24) als volgt worden geschreven:

$$u_1 = + \sqrt{g/H_0} \cdot \eta_1 \quad (3-34)$$

$$u_2 = - \sqrt{g/H_0} \cdot \eta_2 \quad (3-35)$$

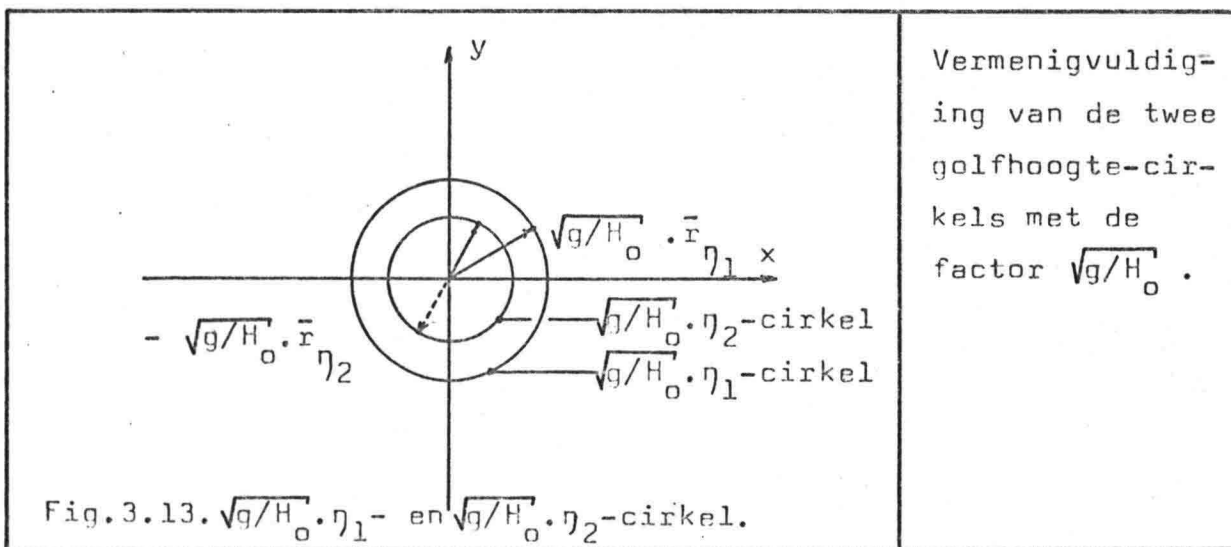
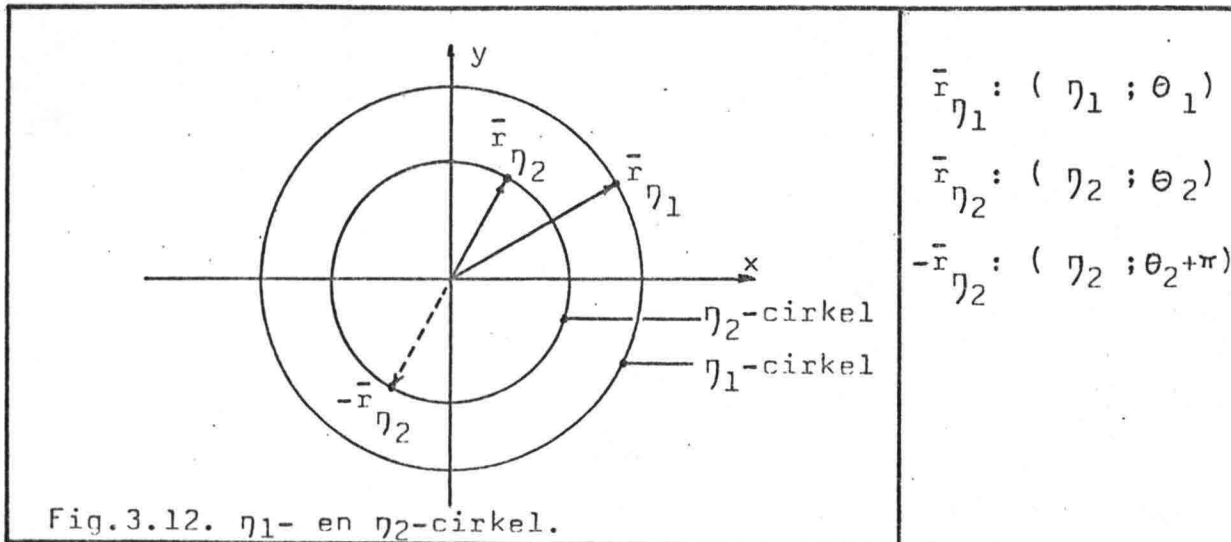
$$u_{\text{tot}} = + \sqrt{g/H_0} \cdot ( \eta_1 - \eta_2 ) \quad (3-36)$$

Uit formule (3-36) blijkt dat de golfhoogte van de samengestelde golf bepaald kan worden als  $\eta_1$  en  $\eta_2$  bekend zijn.

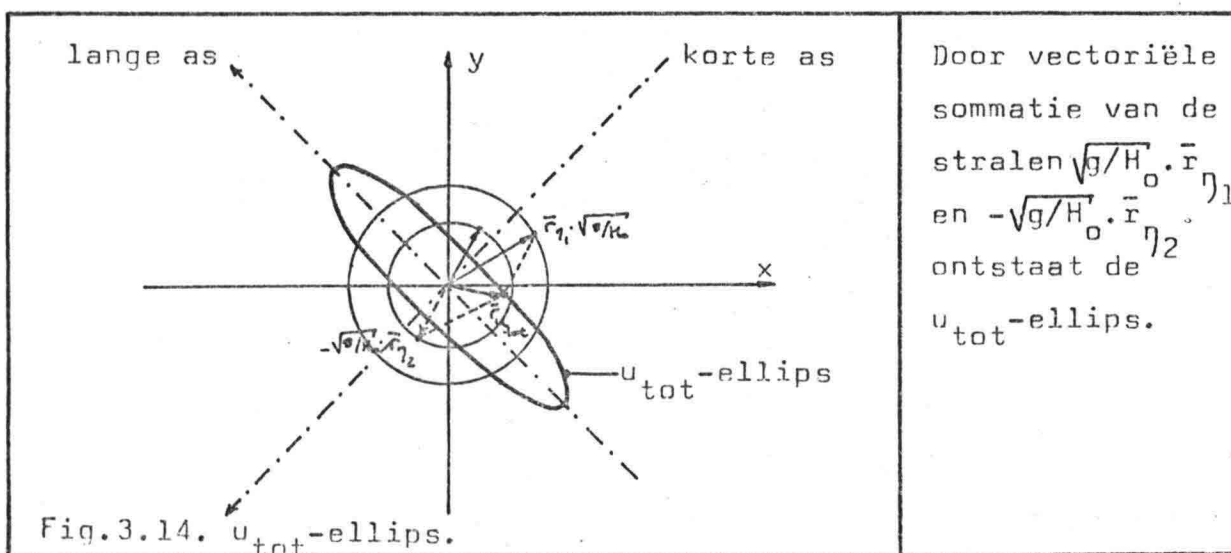
3.4.3. Fase-amplitude diagram totale stroomsnelheid  $u_{tot}$

Formule:  $u_{tot} = + \sqrt{g/H_0} \cdot (\eta_1 - \eta_2)$

Uitgaande van de polaire vorm van  $\eta_1$  en  $\eta_2$  in het polaire coördinatenstelsel is op eenvoudige wijze  $u_{tot}$  te bepalen.

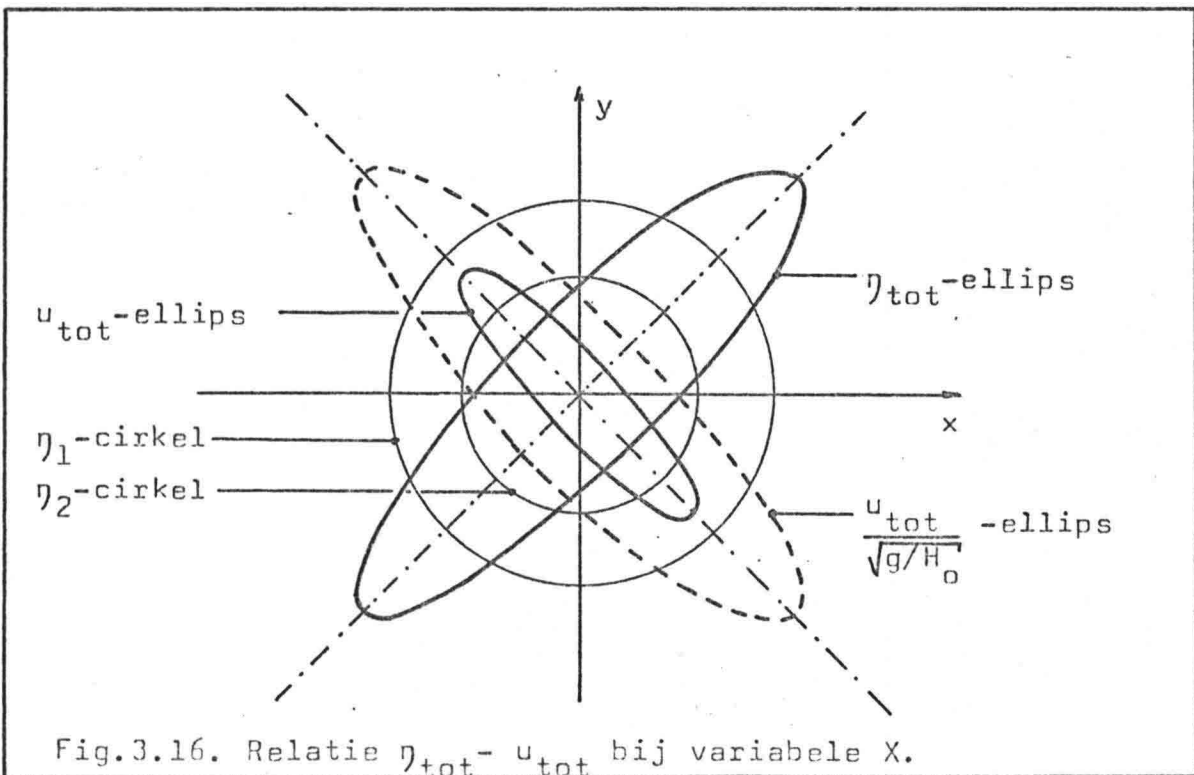
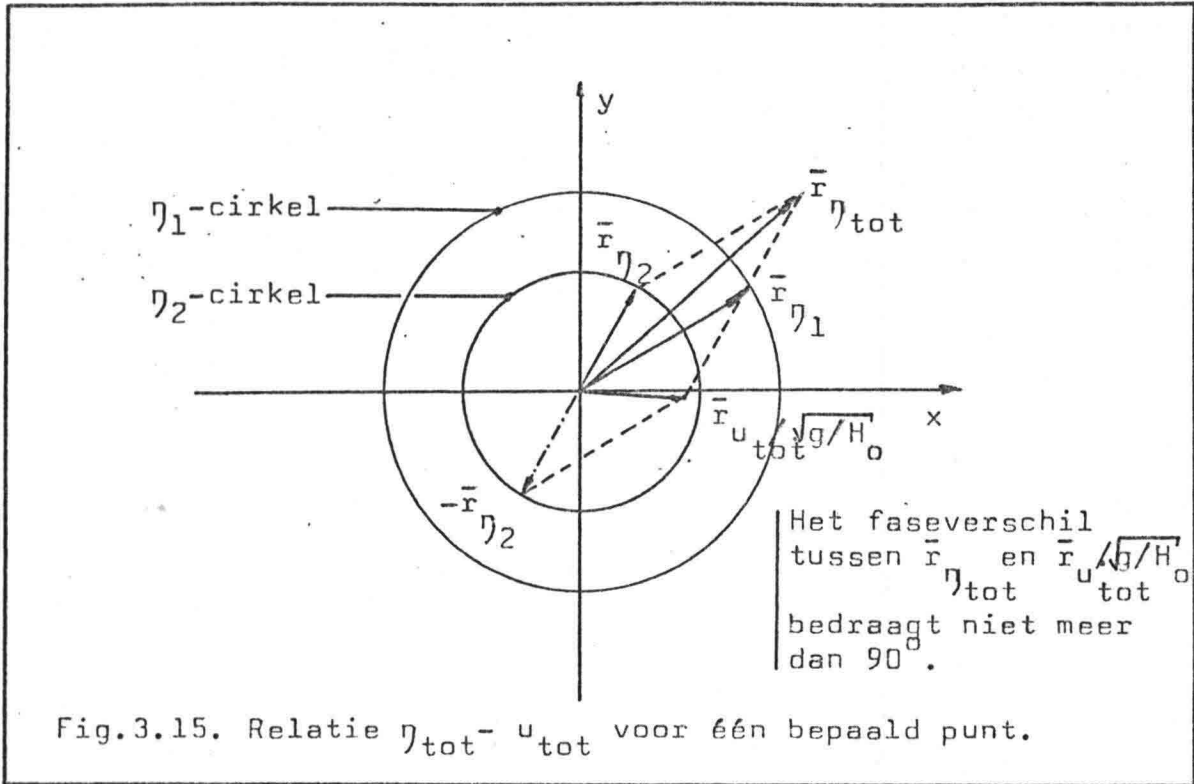


Vermenigvuldiging van de twee golfhoogte-cirkels met de factor  $\sqrt{g/H_0}$ .



Door vectoriële sommatie van de stralen  $\sqrt{g/H_0} \cdot \vec{r}_{\eta_1}$  en  $-\sqrt{g/H_0} \cdot \vec{r}_{\eta_2}$  ontstaat de  $u_{tot}$ -ellips.

3.4.4. Relatie tussen  $\eta_{tot}$  en  $u_{tot}$



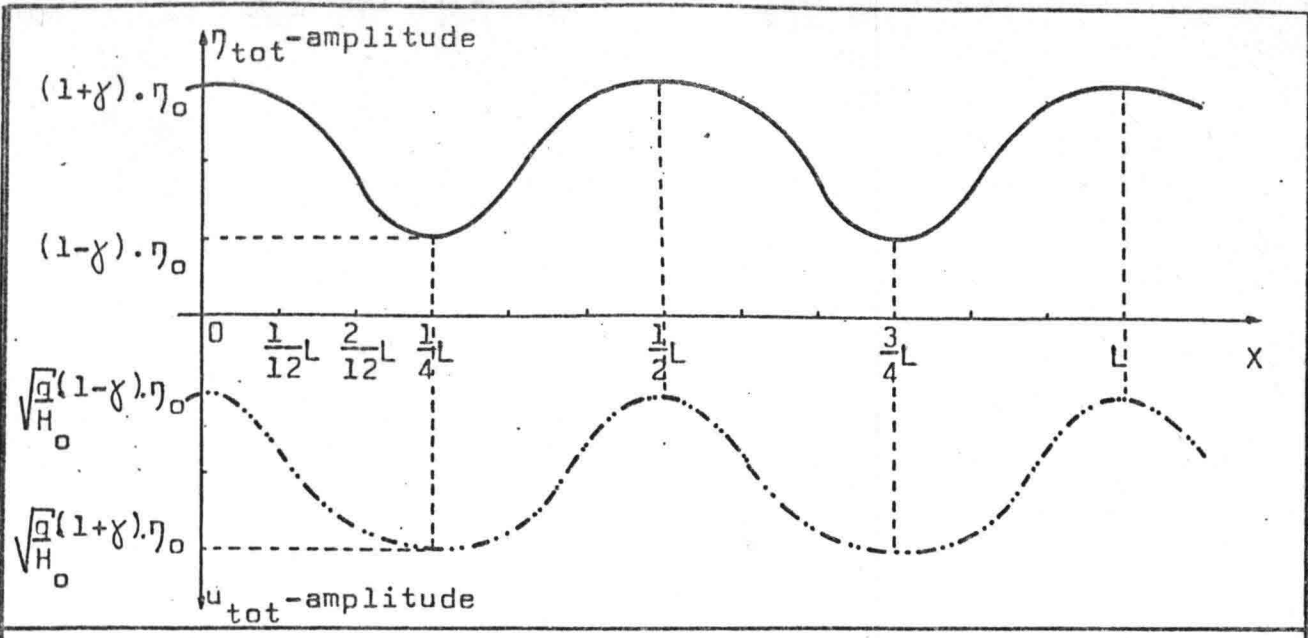


Fig.3.17. De relatie tussen  $\eta_{tot}$ - en  $u_{tot}$ -amplitude over een golflengte  $L$ .

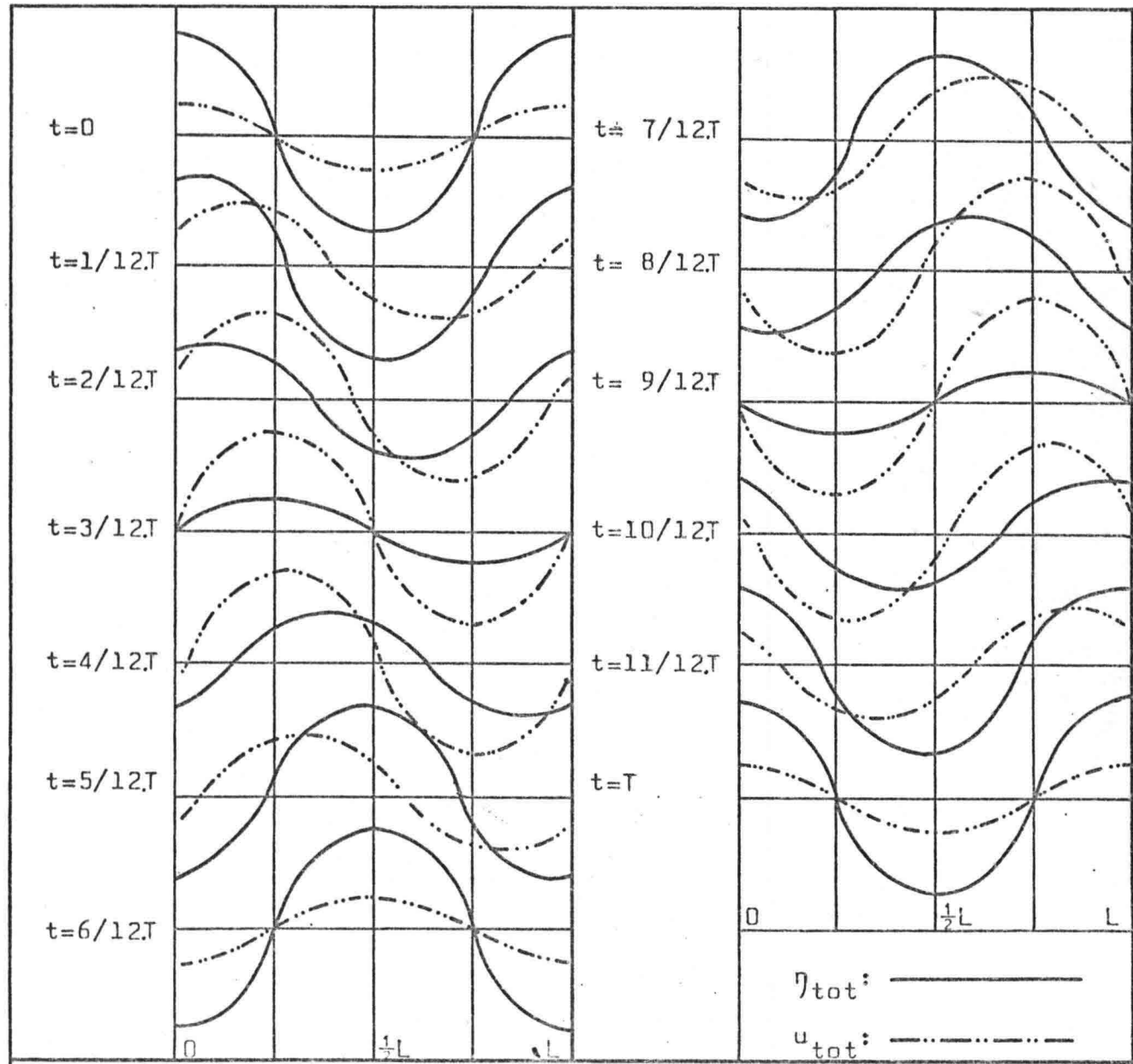


Fig.3.18. Dimensieloze weergave van de relatie tussen  $\eta_{tot}$  en  $u_{tot}$ .

3.5. De totale fasesnelheid  $c_{tot}$

De fasesnelheid  $c$  van een enkele lopende golf is de snelheid waarmee de golfvorm zich verplaatst, ofwel een punt van constante fase, zoals een golfkam.

Voor het golfbeeld dat ontstaat door interferentie van één inkomende en één teruggekaatste golf kan deze definitie van de fasesnelheid gehandhaafd blijven. Wel moet daarbij in acht worden genomen dat de golfvorm steeds in grootte verandert.

$$\text{Golfhoogte } \eta_{tot} : \eta_{tot} = \eta_{o1} \cdot \exp(-fY/C_o) \cdot \sqrt{1 + \gamma^2 + 2\gamma \cos(2t)} \cdot \cos(kX - \epsilon) \quad (3-1)$$

$$\text{Voor golfkam geldt: } \left. \frac{\delta \eta_{tot}}{\delta X} \right|_{X=X_{gk}} = 0 \quad (3-37)$$

$$\text{Daaruit volgt : } X_{gk} = \frac{1}{k} \cdot \arctan\left(\frac{1-\gamma}{1+\gamma} \cdot \tan(\sigma t)\right) \pmod{L} \quad (3-38)$$

$$\text{Fasesnelheid } c_{tot} : c_{tot} = \delta X_{gk} / \delta t \quad (3-39)$$

$$= \sigma/k \cdot (1-\gamma^2) / (1 + \gamma^2 + 2\gamma \cdot \cos(2\sigma t)) \quad (3-40)$$

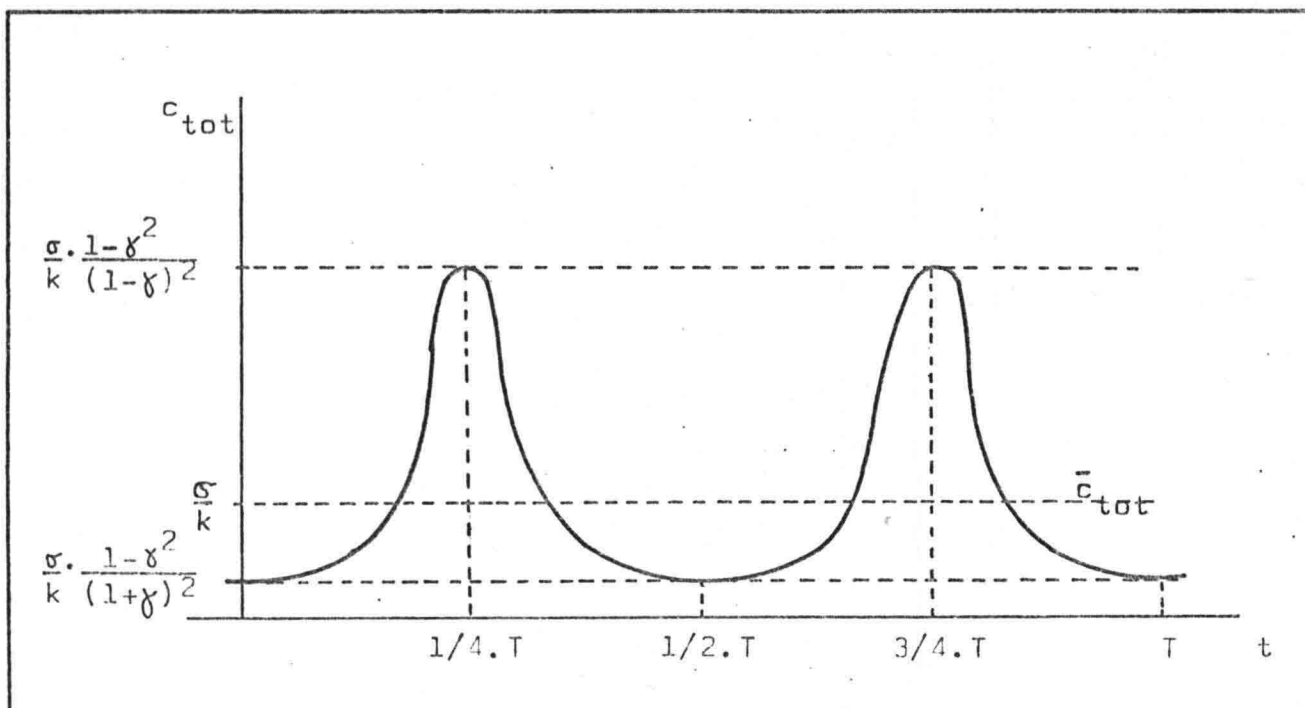


Fig.3.19. De totale fasesnelheid  $c_{tot}$  als functie van de tijd.

#### 4. Stroomsnelheidsberekening

##### 4.1. Inleiding

In dit hoofdstuk wordt op basis van de voorgaande theorie aangegeven hoe de berekening van de getijstroomsnelheid verloopt.

In paragraaf 4.2. wordt even ingegaan op de inhoud van de "British Admiralty Tide Tables" aangezien deze voor het verloop van de berekening belangrijk zijn.

In paragraaf 4.3. wordt de  $\eta_{tot}$ -basisellips bepaald uit de harmonische constanten van n registratiepunten.

In paragraaf 4.4. worden  $\eta_1$  en  $\eta_2$  uit deze  $\eta_{tot}$ -basisellips berekend. De uiteindelijke totale golfhoogte  $\eta_{TOT}$  en totale stroomsnelheid  $u_{TOT}$  worden in paragraaf 4.5. bepaald.

Een puntsgewijze opsomming van de berekening staat in paragraaf 4.6.. Aan het eind van dit hoofdstuk volgt dan nog een opsomming van alle overwegingen, aannamen en eisen die ten grondslag liggen aan deze berekening. Dit gebeurt dus in paragraaf 4.7..

##### 4.2. De Britse Admiraliteits getijdetafels

De "British Admiralty Tide Tables" worden jaarlijks door de Britse "Hydrographer of the Navy" uitgegeven. Deze bestaan uit drie volumes en bestrijken de gehele wereld. Elk volume is weer onderverdeeld in twee delen: "Part I" en "Part II".

Part I : Het eerste deel betreft getijdetafels, waarin voor dat bewuste jaar tijdstip en grootte van de opeenvolgende hoog- en laagwaters voor allerlei plaatsen zijn opgenomen. In deze berekening zal dit enkel indirect worden gebruikt, namelijk als cōntrôle.

Part II: Het tweede deel geeft voor een plaats de daar geldende harmonische constanten voor elk van de samenstellende getijden. In de Britse Admiraliteits getijdetafels zijn de samenstellende getijden tot vier beperkt en wel: M2, S2, K1 en O1 getij. Deze getijconstanten zijn de amplitude H en het kappa-getal g. Dit laatste geeft de vertraging van de getijgolf ten opzichte van de getijkracht. Kappa (g) is de hoek in lengtegraden die de "astre fictif" in het beschouwde punt op die golf voor is.

4.3. Bepaling  $\eta_{\text{tot}}$ -basisellips uit de harmonische constanten van n punten

4.3.1. Inleiding

Indien de getijstroomsnelheid van een willekeurig punt langs de kust op een willekeurig tijdstip wordt gevraagd is de werkwijze als volgt:

- a. Zoek met behulp van de "Admiralty Tide Tables ; Part II" de nabijgelegen kuststations op waarvan de harmonische constanten gegeven zijn.
- b. Leg de X-as zo goed mogelijk langs de kust waarbij de Y-as loodrecht de zee inwijst. Ligging van de oorsprong van het XY-assenstelsel is geheel vrij en verder niet ter zake doende.

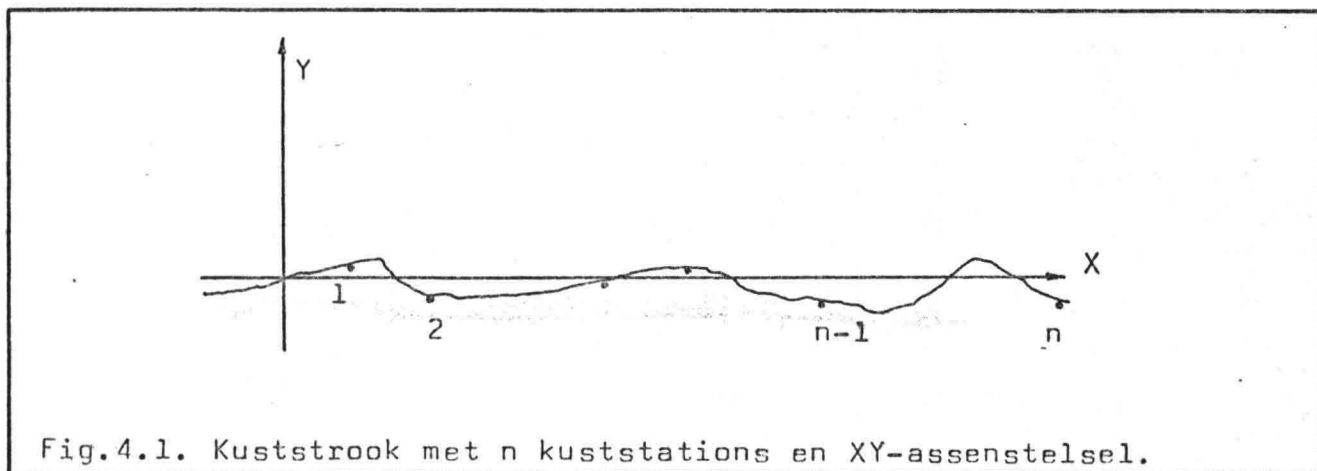


Fig.4.1. Kuststrook met n kuststations en XY-assenstelsel.

- c. Zet per getij -M2, S2, K1 en O1- de harmonische constanten uit in een xy-assenstelsel. Dit voor n punten -kuststations-.

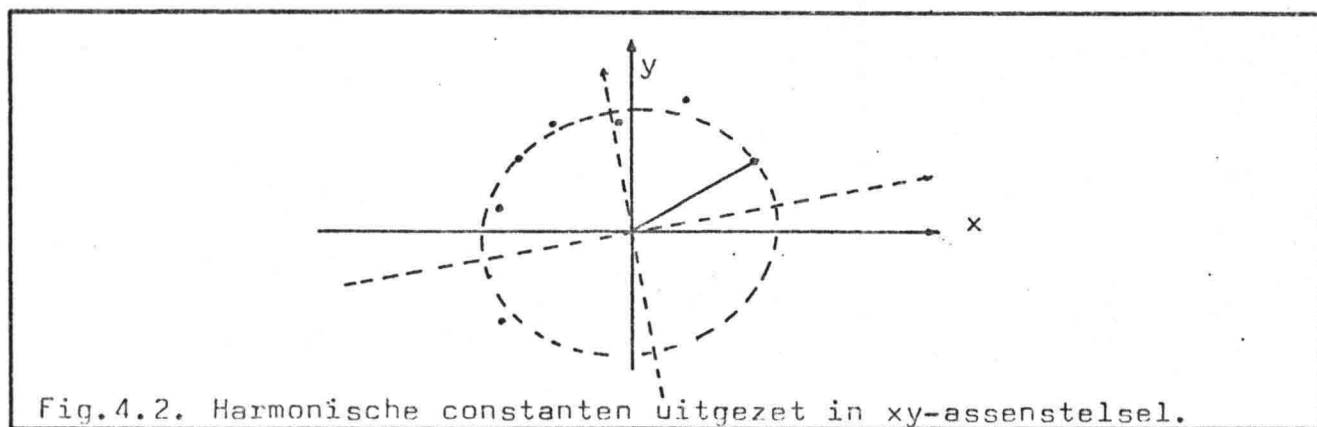


Fig.4.2. Harmonische constanten uitgezet in xy-assenstelsel.

- d. Op grond van de kennis opgedaan in het vorig hoofdstuk kan nu gesteld worden dat een ellips moet worden kunnen bepaald waarvan het middelpunt in de oorsprong ligt. Deze ellips is bepalend voor de golfhoogte en noem ik de  $\eta_{\text{tot}}$ -basisellips. Het bijvoegsel "basis" wijst erop dat de ellips nog geen bewerkingen heeft ondergaan in verband met de grootte van X, Y en t.

#### 4.3.2. De ellips

De ellips is de verzameling der punten, waarvoor de som der afstanden tot twee vaste punten -de brandpunten- constant is (en wel gelijk aan de lange as van de ellips).

Voor dit specifieke geval zijn we enkel geïnteresseerd in een ellips waarvan het middelpunt in de oorsprong van het xy-assenstelsel ligt en waarbij de hoofdassen in principe niet samenvallen met de coördinaatassen.

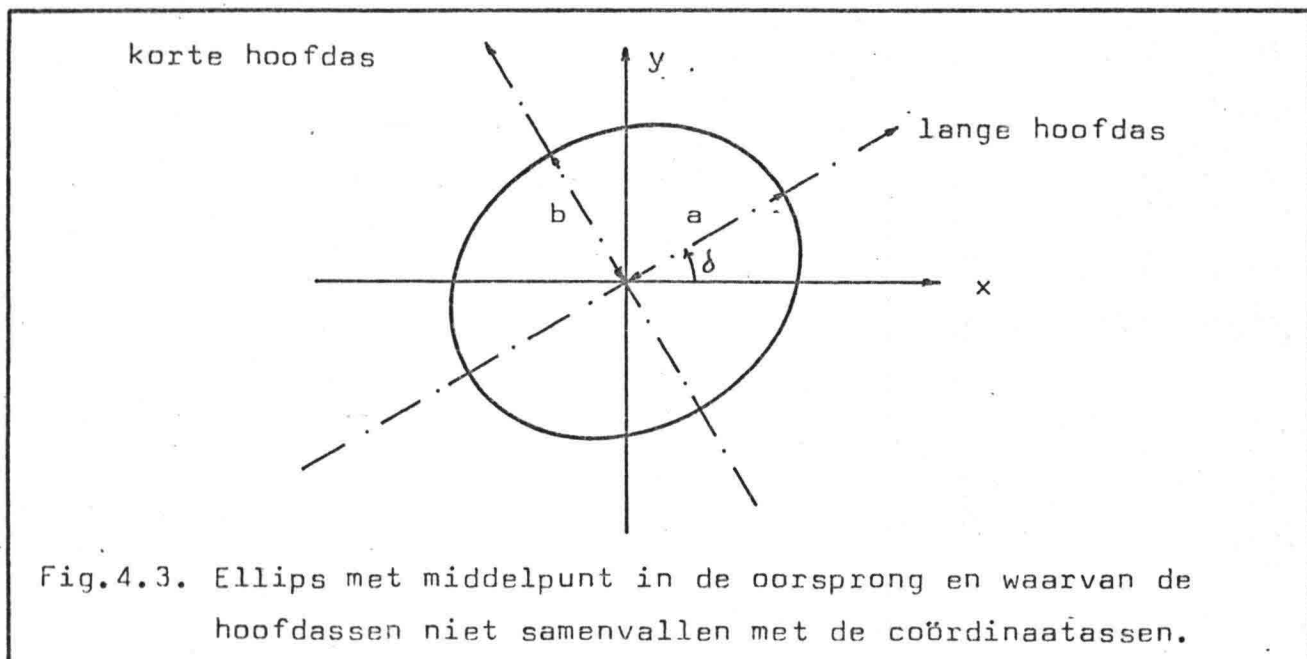


Fig.4.3. Ellips met middelpunt in de oorsprong en waarvan de hoofdassen niet samenvallen met de coördinaatassen.

De ellips wordt door drie parameters bepaald:

1. Grootte van de halve lange as:  $a$ .
2. Grootte van de halve korte as:  $b$ .
3. De hoek tussen hoofdas en de coördinaat  $x$ :  $\delta$ .

Met gebruikmaking van andere parameters  $-A, 2B$  en  $C-$  kan voor de middelpuntsvergelijking worden gesteld:  $Ax^2 + 2Bxy + Cy^2 = 1$ .

De relatie tussen de parameters  $(A, 2B$  en  $C)$  en  $(a, b$  en  $\delta)$  wordt op de volgende bladzijde gegeven.



$$A = \frac{\cos^2 \delta}{a^2} + \frac{\sin^2 \delta}{b^2} \quad (4-1)$$

$$2B = \frac{\cos \delta \cdot \sin \delta}{a^2} - \frac{\cos \delta \cdot \sin \delta}{b^2} \quad (4-2)$$

$$C = \frac{\sin^2 \delta}{a^2} + \frac{\cos^2 \delta}{b^2} \quad (4-3)$$

$$Ax^2 + 2Bxy + Cy^2 = 1 \quad (4-4)$$

$$a = \frac{\cos^4 \delta - \sin^4 \delta}{A \cos^2 \delta - C \sin^2 \delta} \quad (4-5)$$

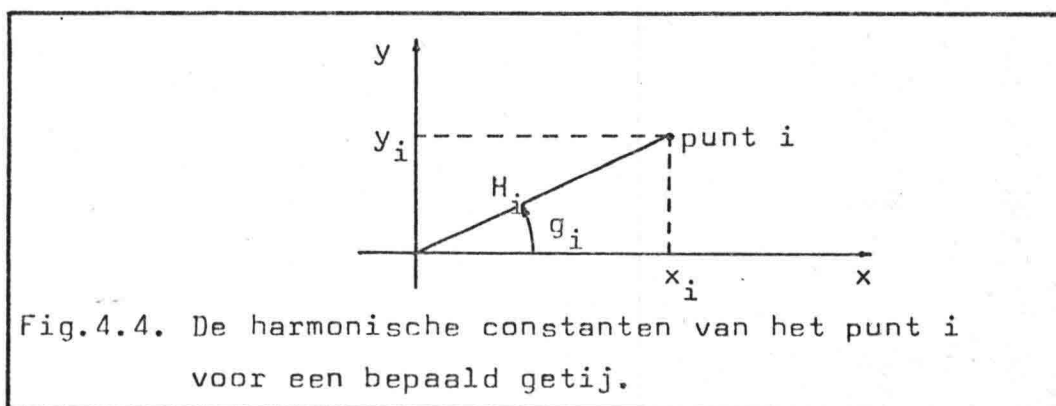
$$b = \frac{\sin^4 \delta - \cos^4 \delta}{A \sin^2 \delta - C \cos^2 \delta} \quad (4-6)$$

$$\delta = \frac{1}{2} \arctan(2B/(A-C)) \quad (4-7)$$

4.3.3. De kleinste kwadraten methode van Gauss

Gevraagd : Op grond van  $n$  punten  $(H_i, g_i)$  uitgezet in het  $xy$ -assenstelsel moet een ellips -met middelpunt in de oorsprong- worden gevonden, zodanig dat deze ellips het puntenverloop optimaal benadert. Met andere woorden: "curve-fitting".

Gegeven : Voor elk kuststation -punt  $i$ - zijn de harmonische constanten  $-H_i$  en  $g_i$ - per getij gegeven. In plaats van de polaire coördinaten is het mogelijk de orthogonale coördinaten te geven:  $x_i$  en  $y_i$ .



Oplossing : De kleinste kwadraten methode van Gauss toegepast op de middelpuntsvergelijking van de ellips.

Middelpuntsvergelijking :  $Ax^2 + 2Bxy + Cy^2 = 1$  (4-4)

Voor punt  $i (x_i, y_i)$  geldt:  $Ax_i^2 + 2Bx_i y_i + Cy_i^2 - 1 = r_i$  (4-8)

Residuwaarde voor punt  $i$  :  $r_i$

Veronderstel dat :  $\varphi(A, B, C) = \sum_{i=1}^n r_i^2$  (4-9)

Eis :  $\varphi$  minimaal

Daaruit volgt :  $\frac{\delta \varphi}{\delta A} = 0$  ;  $\frac{\delta \varphi}{\delta B} = 0$  ;  $\frac{\delta \varphi}{\delta C} = 0$  (4-10)

Stel : (1) = kolom van determinant, matrix of vector,  $= \begin{bmatrix} \sum_{i=1}^n x_i^4 \\ \sum_{i=1}^n x_i^3 y_i \\ \sum_{i=1}^n x_i^2 y_i^2 \end{bmatrix}$  (4-11)

(2) = kolom van determinant, matrix of vector.  $= \begin{bmatrix} \sum_{i=1}^n x_i^3 y_i \\ \sum_{i=1}^n x_i^2 y_i^2 \\ \sum_{i=1}^n x_i y_i^3 \end{bmatrix}$  (4-12)

(3) = kolom van determinant, matrix of vector.  $= \begin{bmatrix} \sum_{i=1}^n x_i^2 y_i^2 \\ \sum_{i=1}^n x_i y_i^3 \\ \sum_{i=1}^n y_i^4 \end{bmatrix}$  (4-13)

(4) = kolom van determinant, matrix of vector.  $= \begin{bmatrix} \sum_{i=1}^n x_i^2 \\ \sum_{i=1}^n x_i y_i \\ \sum_{i=1}^n y_i^2 \end{bmatrix}$  (4-14)

Een vector wordt als volgt aangegeven: (i)

Een matrix wordt als volgt aangegeven: ((i)(ii)(iii))

Een determinant als volgt aangegeven: [(i)(ii)(iii)]

Dan geldt :  $\begin{bmatrix} A \\ 2B \\ C \end{bmatrix} * ((1)(2)(3)) = (4)$  (4-15)

Mbv. regel van Kramer :  $A = \frac{[(4)(2)(3)]}{[(1)(2)(3)]}$  (4-16)

$2B = \frac{[(1)(4)(3)]}{[(1)(2)(3)]}$  (4-17)

$C = \frac{[(1)(2)(4)]}{[(1)(2)(3)]}$  (4-18)

Conclusie : Op deze manier kan uit n punten -n minimaal 3- de best passende ellips worden bepaald met parameters A, 2B en C. Let wel: Hyperbolische vgl. als antwoord is mogelijk bij "rare" ligging van de n punten.

Onder een "rare" ligging van de n registratiepunten wordt verstaan:

- a. Kleine n
- b. Faseverschil tussen punt 1 en punt n klein.
- c. Buitenste punten een grotere amplitude dan de meer naar binnen gelegen punten.

In dit (zeldzame) geval geeft de gevolgde methode een hyperbolische vergelijking als eindresultaat.

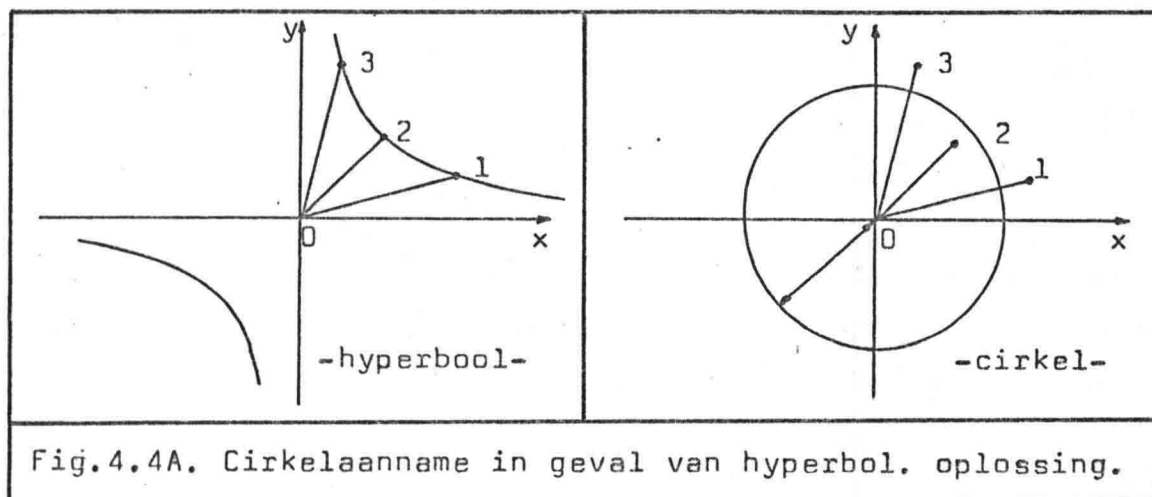


Fig.4.4A. Cirkelaanname in geval van hyperbol. oplossing.

Aangezien de hyperbool als oplossing fysisch onmogelijk is moet deze oplossing worden verworpen. Dan kan het best worden aangenomen dat er slechts één enkele Kelvin golf loopt.

In het vlak wordt dit weergegeven door een cirkel.

Voor de straal geldt dan:  $r = \frac{1}{n} \sum_{i=1}^n H_i$ .

4.4. Berekening  $\eta_1$  en  $\eta_2$  uitgaande van de  $\eta_{tot}$ -basisellips

Gegeven :  $\eta_{tot}$ -basisellips geconstrueerd aan de hand van n punten  $(H_i, g_i)$  via de kleinste kwadraten methode.

Gevraagd : De golfhoogte van de samenstellende golven  $\eta_1$  resp.  $\eta_2$  als functie van X, Y en t.

Uitwerking: De  $\eta_{tot}$ -basisellips die nu gegeven is, is gevonden op grond van n kuststations, dus:  $Y=0$ .

Zoals in hoofdstuk 3 is aangegeven kan een ellips uit twee cirkels opgebouwd worden gedacht.

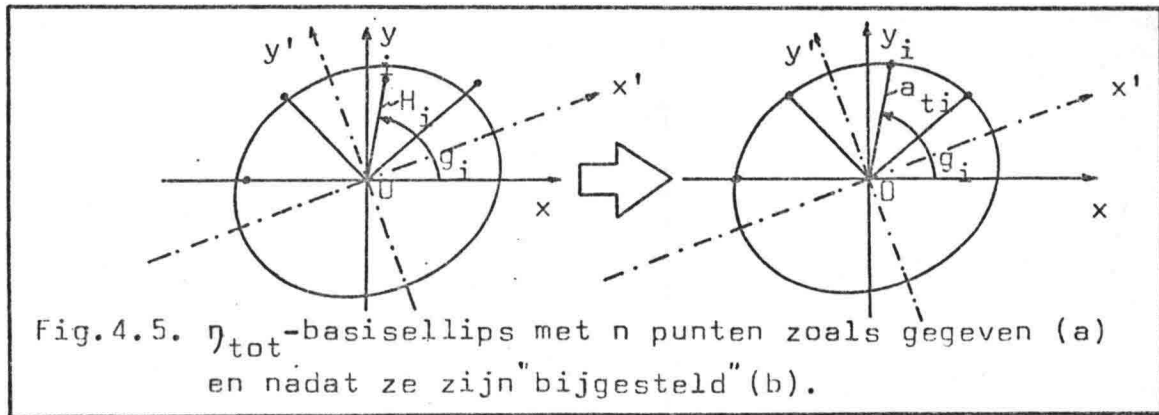
Voor de stralen van de twee cirkels, waaruit de  $\eta_{tot}$ -basisellips opgebouwd kan worden gedacht, geldt:

$$\left| \begin{array}{l} \text{Straal cirkel 1} = a_1 = \eta_{o_1} = (a + b)/2 \quad (4-19) \end{array} \right.$$

$$\left| \begin{array}{l} \text{Straal cirkel 2} = a_2 = \eta_{o_2} \cdot \exp(-fB/C_o) = (a - b)/2 \quad (4-20) \end{array} \right.$$

- De  $\eta_{tot}$ -basisellips kan nu op drie manieren worden gegeven:
1. A, B en C
  2. a, b en  $\delta$
  3.  $a_1, a_2$  en  $\delta$

Vervolgens wordt voor alle n punten  $(H_i, g_i)$  de amplitude  $H_i$  gelijk gemaakt aan de vector-radius, die behoort bij de poolhoek  $g_i$  (kappa-getal) van de  $\eta_{tot}$ -basisellips.



$a_{ti}$  = de vector-radius behorende bij de poolhoek  $g_i$  en de  $\eta_{tot}$ -basisellips.

Middelpuntsvergelijking:  $Ax^2 + 2Bxy + Cy^2 = 1$  (4-4)

Coördinaten punt i :  $\begin{cases} x = a_{ti} \cdot \cos(g_i) & (4-21) \\ y = a_{ti} \cdot \sin(g_i) & (4-22) \end{cases}$

Vector-radius punt i :  $a_{ti} = (A \cos^2 g_i + 2B \cos g_i \sin g_i + C \sin^2 g_i)^{-\frac{1}{2}}$  (4-23)

Opbouw punt i : Het punt i ( $a_{ti}, g_i$ ) kan opgebouwd worden gedacht uit de punten ( $a_1, \theta_{1i}$ ) en ( $a_2, \theta_{2i}$ ).

De stralen  $a_1$  en  $a_2$  zijn reeds berekend in (4-19) en (4-20).

De hoeken  $\theta_{1i}$  en  $\theta_{2i}$  moeten nog worden berekend. Daarbij kan gebruik worden gemaakt van het feit dat de hoeken spiegelsymmetrisch zijn ten opzichte van de  $x'$ -as.

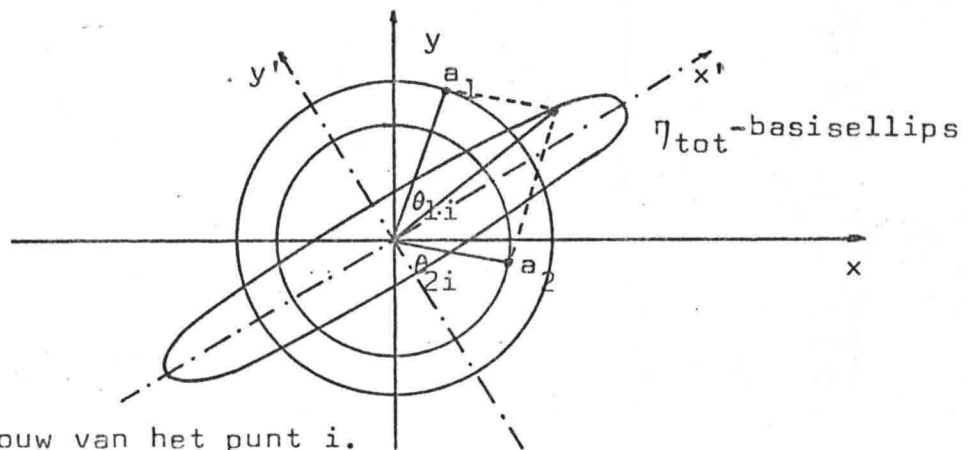


Fig.4.6. Opbouw van het punt i.

Na berekening :  $\alpha = \arctan \left[ \frac{a_1 + a_2}{a_1 - a_2} \cdot \tan(g_i - \delta) \right]$  (4-24)

Als geldt dat :  $(a_1 + a_2) \cdot \cos(\alpha) = a_{ti} \cdot \cos(g_i - \delta)$  (4-25)

dan geldt tevens :  $\theta_{1i} = \alpha + \delta$  (4-26)

$\theta_{2i} = -\alpha + \delta$  (4-27)

anders :  $\theta_{1i} = \alpha + \delta + 180^\circ$  (4-28)

$\theta_{2i} = -\alpha + \delta + 180^\circ$  (4-29)

Voor het punt i kan worden gesteld dat:

$$\eta_1 = \eta_{o_1} \cdot \exp(-fY/C_o) \cdot \cos(kX - \sigma t + \varphi_1) \quad (4-30)$$

$$\eta_2 = \eta_{o_2} \cdot \exp(-fB/C_o) \cdot \exp(+fY/C_o) \cdot \cos(kX + \sigma t + \varphi_2) \quad (4-31)$$

Uitgaande van het moment waarop de  $\eta_{tot}$ -basisellips berust, geldt:

$$a_1 = \eta_{o_1} \quad (4-32)$$

$$a_2 = \eta_{o_2} \cdot \exp(-fB/C_o) \quad (4-33)$$

$$\theta_{1i} = kX - \sigma t + \varphi_1 \quad (4-34)$$

$$\theta_{2i} = kX + \sigma t + \varphi_2 \quad (4-35)$$

Voor de golfhoogten van golf 1 en golf 2,  $\eta_1$  respectievelijk  $\eta_2$ , kan nu worden geschreven:

$$\eta_1 = a_1 \cdot \exp(-fY/C_o) \cdot \cos(\theta_{1i}) \quad (4-36)$$

$$\eta_2 = a_2 \cdot \exp(+fY/C_o) \cdot \cos(\theta_{2i}) \quad (4-37)$$

Hieruit blijkt dat  $a_1$ ,  $a_2$ ,  $\theta_{1i}$ ,  $\theta_{2i}$  en de twee exponentiële termen de golfhoogte bepalen.

Vervolgens moeten de waarden van  $\eta_1$  en  $\eta_2$  worden bepaald voor een willekeurige keuze van X, Y en t. Daartoe zal eerst de invloed van t worden bepaald, vervolgens Y en ten slotte X.

De invloed van t, Y en X worden in de volgende subparagraafjes behandeld.

(i) Keuze tijdstip t:

- a. In de berekening zijn enkel plaatselijke tijden gebruikt.  
 Als tijden ten opzichte van Greenwich Mean Time gewenst zijn, kunnen de plaatselijke tijden met behulp van (4-38) omgerekend worden. De tijden worden ingevoerd in uren en minuten.

$$\begin{array}{l} \text{Plaatselijke tijd: } t_{pl} \\ \text{Tijdzone} \quad \quad \quad : t_{zone} \\ \text{Tijd tov GMT} \quad \quad : t_{GMT} = t_{pl} + t_{zone} \end{array} \quad (4-38)$$

- b. In "Table VII; Tidal angles and factors" van de "British Admiralty Tide Tables" worden per getijde (M2, S2, K1 en O1) de getijhoek A en de getijfactor F gegeven voor het begin en eind van elke dag.

$$\begin{array}{l} \text{Getijhoek A voor het begin van de dag (} t_{pl} = 00.00 \text{): } A_1 \\ \text{Getijhoek A voor het einde van de dag (} t_{pl} = 24.00 \text{): } A_2 \end{array}$$

$$\begin{array}{l} \text{Getijhoeksnelheid } \sigma : \sigma = 29.0 \text{ (deg/hr) voor M2} \\ \sigma = 30.0 \text{ (deg/hr) voor S2} \\ \sigma = 15.0 \text{ (deg/hr) voor K1} \\ \sigma = 13.9 \text{ (deg/hr) voor O1} \end{array}$$

$$\begin{array}{l} \text{Getijfactor F voor het begin van de dag (} t_{pl} = 00.00 \text{): } F_1 \\ \text{Getijfactor F voor het einde van de dag (} t_{pl} = 24.00 \text{): } F_2 \end{array}$$

$$\text{Factorverandering } q: q = (F_2 - F_1)/24 \quad (4-40)$$

- c. Hier van uitgaande kan gesteld worden dat:

$$\theta'_{1i} = \theta_{1i} + A_1 - \sigma \cdot t_{pl} \quad (4-41)$$

$$\theta'_{2i} = \theta_{2i} + A_1 - \sigma \cdot t_{pl} \quad (4-42)$$

$$a'_1 = (F_1 + q \cdot t_{pl}) \cdot a_1 \quad (4-43)$$

$$a'_2 = (F_1 + q \cdot t_{pl}) \cdot a_2 \quad (4-44)$$



(ii) Keuze breedtecoördinaat Y:

Y wordt enkel ingevoerd in de volgende termen:  $\exp(-fY/C_0)$  en  $\exp(+fY/C_0)$   
Y heeft geen invloed op  $a_1$ ,  $a_2$ ,  $\theta_{1i}$  en  $\theta_{2i}$ .

(iii) Keuze lengtecoördinaat X:

Voor de n registratiepunten zijn de harmonische constanten bekend.  
Van elk punt i is dus gegeven de poolhoek  $g_i$  (kappa-getal).

In plaats van X met behulp van het golfgetal k in te voeren in de  
formule voor  $\theta_{1i}$  en  $\theta_{2i}$  wordt hier een lineaire interpolatie  
toegepast voor de poolhoek g.

Met andere woorden: Ipv X wordt de poolhoek  $g_j$  ingevoerd voor het  
bewuste punt (voor  $Y=0$ ). Deze zal in het algemeen  
niet bekend zijn en moet dan gevonden worden door  
lineaire interpolatie van twee omliggende punten:

Waarom voor deze werkwijze in verband met X is gekozen zal in de  
volgende paragraaf 4.7. worden aangegeven.

De termen  $a_1$ ,  $a_2$  en de exponentiële termen worden niet door  
X (g) beïnvloedt! Wel de grootten van  $\theta_{1i}$  en  $\theta_{2i}$ .

(iv) Berekening  $\eta_1$  en  $\eta_2$

De golfhoogten  $\eta_1$  en  $\eta_2$  zijn nu met behulp van de formules (4-36)  
en (4-37) te berekenen. Voor  $a_1$ ,  $a_2$ ,  $\theta_{1i}$  en  $\theta_{2i}$  wel met de veranderde  
waarden door de invloed van X en t.

Bij de berekening wordt éénmalig de  $\eta_{tot}$ -basisellips berekend.  
Hiervan uitgaande kan dan met beperkt rekenwerk voor variabele  
waarden van X, Y en t de totale golfhoogte en de totale stroom-  
snelheid worden berekend.

4.5. Berekening van  $\eta_{TOT}$  en  $u_{TOT}$

Uitgaande van de berekende waarden van  $\eta_1$  en  $\eta_2$  kunnen dan met behulp van de formules (3-12) en (3-36) de totale golfhoogte  $\eta_{tot}$  en de totale stroomsnelheid  $u_{tot}$  worden berekend.

Let wel: De index "tot" is gebruikt om aan te geven dat het hier de sommatie betreft van de inkomende en de teruggekaatste Kelvin golf.

Er moet echter nog worden gesommeerd over de vier getijden (M2-, S2-, K1- en O1-getij). Dan hebben we pas de werkelijk gevraagde golfhoogte of stroomsnelheid. Ter onderscheid worden de golfhoogte en stroomsnelheid gesommeerd over deze vier getijden aangegeven met de index "TOT".

$$\left| \begin{array}{ll} \eta_{tot} = \eta_1 + \eta_2 & (3-12) \quad ; \text{ Sommatie van één inkomende} \\ u_{tot} = \sqrt{g/H_0} \cdot (\eta_1 - \eta_2) & (3-36) \quad \text{en één teruggekaatste golf.} \end{array} \right.$$

$$\left| \begin{array}{ll} \eta_{TOT} = \sum \eta_{tot} & (4-45) \quad ; \text{ Sommatie over de vier ge-} \\ u_{TOT} = \sum u_{tot} & (4-46) \quad \text{tijden: M2, S2, K1 en O1.} \end{array} \right.$$

Let wel: Het verloop van het kappa-getal langs de positieve X-as moet worden beschouwd!

Bij de berekening is er namelijk van uitgegaan dat de grootste golf naar rechts liep!

Indien dit zo is zullen de kappa-getallen qua fase oplopen langs de positieve X-as en blijft het resultaat onveranderd. Neemt de fase echter af langs de positieve X-as dan zal het teken van de getijstroomsnelheid moeten veranderen!

Door deze aanpak maakt het niet uit of de grootste golf naar links of rechts loopt!

#### 4.6. Overzicht berekeningswijze

In deze paragraaf zal een puntsgewijze opsomming worden gegeven van de gevolgde berekeningswijze.

1. Zee-/landkaart van het betreffende gebied hebben.
2. "British Admiralty Tide Tables" voor betreffende jaar en gebied.
3. Kuststrook specificeren waar de stroomsnelheden worden gevraagd.

Voor elk getij -M2, S2, K1 en O1- afzonderlijk het volgende doen:

4. Voor de n registratiepunten van de betreffende kuststrook een lijst maken van de harmonische constanten.
5. Beschouw of de fase toe- of afneemt langs de positieve X-as, dit in verband met het teken van de stroomsnelheid.
6. De polaire coördinaten (de harmonische constanten H en g) omzetten naar carthesisch assenstelsel: x en y.
7. Voor elk punt i van de n registratiepunten, moet uitgaande van  $x_i$  en  $y_i$  de volgende waarden worden berekend:  
 $x_i^2, x_i y_i, y_i^2, x_i^4, x_i^3 y_i, x_i^2 y_i^2, x_i y_i^3$  en  $y_i^4$ .
8. Berekening van A, 2B en C en tevens van a, b en  $\delta$ .

\* De  $\eta_{\text{tot}}$ -basisellips is nu voor het betreffende getijde berekend. Deze dient als basis voor verdere berekeningen. Indien de parameters die deze ellips bepalen, worden bewaard kunnen de overige voorafgaande parameters worden weggelaten.

9. Invoeren van kappa-getal  $g_j$  voor het te berekenen punt j.
10. Berekenen  $a_1, a_2, a_{ti}, \alpha, \theta_{1i}$  en  $\theta_{2i}$ .
11. Invoeren van  $A_1, A_2, F_1$  en  $F_2$ .
12. Berekenen van q en invoeren van  $\sigma$ .

13. Gewenste plaatselijke tijd  $t_{pl}$  invoeren.
14. Met behulp van  $t_{pl}$ ,  $A_1$ ,  $\sigma$ ,  $F_1$  en  $q$  de nieuwe waarden voor  $a_1$ ,  $a_2$ ,  $\theta_{1i}$  en  $\theta_{2i}$  berekenen.
15. Y-coördinaat invoeren.
16. Diepte  $H_0$  invoeren.
17. De waarde van  $C_0 = \sqrt{g \cdot H_0}$  berekenen.
18. Breedtegraad  $\theta$  van punt  $j$  invoeren.
19. Coriolis-parameter  $f=2 \cdot \omega \cdot \sin\theta$  berekenen.
20.  $\eta_1$  en  $\eta_2$  berekenen.
21.  $\eta_{tot}$  en  $u_{tot}$  berekenen.

Voor alle getijden gezamenlijk:

22.  $\eta_{TOT}$  en  $u_{TOT}$  berekenen.

In sommige gevallen is het nuttig de waarden van  $\eta_{TOT}$  en  $u_{TOT}$  ten opzichte van Greenwich Mean Time (GMT) te krijgen.

In dat geval dient tevens de tijdzone ingevoerd te worden.

Resumerend: In de voorgaande hoofdstukken is een gedetailleerde beschrijving gegeven van de stroomsnelheidsberekening.

In deze paragraaf is puntsgewijs de hele berekening nog eens doorgenomen.

In bijlage I wordt het gehele computerprogramma gegeven die afgestemd is op een Hewlett Packard 41 CV.

Met behulp van dit programma zijn alle antwoorden berekend.

Wel dient hierbij te worden opgemerkt dat het programma is geijkt door vooraf alles met de hand te berekenen.

#### 4.7. Overwegingen, aannamen en eisen

##### 4.7.1. Overwegingen

- \* In de berekening wordt enkel gesproken over het M2-, S2-, K1- en O1-getijde. Dit geeft wellicht de schijn dat de overige getijden geheel niet zijn meegenomen in de berekening. Dat is niet zo! Ter verduidelijking volgt hier een citaat uit de "Tide Tables":  
  
"The table gives values of the Tidal Angles in degrees and the Factors for M2, S2, K1 and O1 which are amended to include the effects of 2N2,  $\mu_2$ , N2,  $\nu_2$ ,  $\lambda_2$ , L2, T2, R2, K2, 2Q1,  $\sigma_1$ , Q1,  $\epsilon_1$ , M1,  $\pi_1$ , P1,  $\phi_1$ ,  $\theta_1$ , J1, and S01."
- \* De berekening is toegespitst op vier getijden doch is bruikbaar voor elk willekeurig aantal getijden!
- \* Doordat de X-coördinaat via het kappa-getal  $g_j$  van het punt j wordt ingevoerd en daarbij van lineaire interpolatie gebruik wordt gemaakt is het lengtebereik beperkt tot die strook die door de registratiepunten wordt bestreken. Aan deze beperking kan worden ontkomen door gebruik te maken van het golfgetal k en X.
- \* Y-bereik theoretisch oneindig. Daarbij moet dan wel gelden dat er géén scherpe overgang in diepte  $H_0$  is. Het Y-bereik zal het best aan de hand van berekeningen kunnen worden bepaald.
- \* In verband met de aanname dat er géén bodemwrijving optreedt moet de diepte goed in de gaten worden gehouden! Bij te kleine diepte (proefondervindelijk te bepalen) zal een te groot faseverschil gaan optreden.
- \* Berekening berust volledig op de aanname dat er sprake is van een golfbeeld door interferentie van één heengaande golf en één teruggekaatste golf.
- \* Elk tijdstip is mogelijk.

4.7.2. Aannamen

- \* Géén bodemwrijving.
- \* Vloeistoflaag heeft een constante en uniforme dichtheid.
- \* De druk op de waterspiegel is constant.
- \* De vloeistof is niet visceus, dat wil zeggen dat enkel bewegingen worden bekeken waarbij de viscositeit onbelangrijk is.
- \* Vloeistof is niet-samendrukbaar.
- \* De convectieve term is verwaarloosbaar ten opzichte van de locale afgeleide.
- \* De golfhoogte is klein ten opzichte van de waterdiepte.
- \* De snelheid in Y-richting is nul voor de randen ( $Y=0, B$ ).
- \* Diepte  $H_0$  is constant.

4.7.3. Eisen

- \* Het aantal registratiepunten  $n$  moet gelijk of groter zijn dan drie.
- \* De kust moet "redelijk" glad zijn.
- \* De diepte moet vrij constant zijn dus géén grillige dieptewisselingen.
- \* Uit de  $n$  punten (harmonische constanten) moet redelijkerwijs een ellips kunnen worden geconstrueerd zoals aangegeven in de theoretische uitwerking.
- \* Het faseverschil tussen laatste en eerste registratiepunt moet niet te klein zijn, dit in verband met een betrouwbare toepassing van de kleinste kwadraten methode bij het bepalen van de  $\eta_{\text{tot}}$ -basisellips.
- \* Het faseverloop moet vrij regelmatig verlopen.

## 5. Toepassing stroomsnelheidsberekening

### 5.1. Inleiding

De stroomsnelheidsberekening wordt voor de volgende kusten toegepast:

1. De Nederlandse kust
2. De Engelse zuid-oostkust
3. De Engelse oostkust

Elke stroomsnelheidsberekening bestaat uit de volgende 5 punten:

- a. Trajectbeschrijving
- b. Invoer
- c. Uitvoer
- d. Verwerking uitvoer
- e. Bespreking resultaten

- ad a: Het tijdsinterval voor de trajecten 1 en 2 komt overeen met -00.35 GMT tot 11.35 GMT (8 juni 1981). De keuze van de dag is willekeurig. De keuze van het tijdsinterval heeft betrekking op het feit dat voor die bewuste dag hoog water (HW) op 05.35 GMT valt in Hoek van Holland. Door deze keuze van het tijdsinterval is het gemakkelijker de berekende stroomsnelheidscurve te relateren aan de echte waarden, gevonden met behulp van de stroomatlas van de Noordzee. De gebruikte stroomatlas (voor traject 1 en 2) geeft namelijk per uur een overzicht van de stroomsnelheden waarbij wordt uitgegaan van 6 uur voor HW te Hoek van Holland tot 6 uur na HW. Een gelijke redenering geldt voor traject 3, met dien verstande dat de kromme is gerelateerd aan HW te Dover.
- ad b: De harm. constanten zijn gehaald uit de "Admiralty Tide Tables".
- ad c: Uitvoer wordt rechtstreeks gegeven. Wel dient worden opgemerkt dat voor traject 1 en traject 2 de berekening eerst met de hand is gedaan ter controle van het computerprogramma.
- ad d: Bij de stroomsnelheidscurven geeft de doorgetrokken lijn de berekende kromme weer. De onderbroken lijnen met daartussen het gearceerde gebied zijn gebaseerd op gegevens van de stroomatlas. De bovengrens geeft de stroomsnelheid aan bij gemiddeld springtij. De ondergrens geeft de stroomsnelheid aan bij gemiddeld doottij. Het gearceerde gebied geeft aan waar de berekende kromme behoort te liggen.



5.2. De Nederlandse kust

5.2.1. Trajectbeschrijving

Traject : De Nederlandse kust van Den Helder tot Hoek van Holland.

Trajectnummer : 1

Aantal reg. punten: 3

Lijst reg. punten : 1-1 Hoek van Holland  
1-2 Ymuiden  
1-3 Den Helder

Gewenste datum : 8 juni 1981

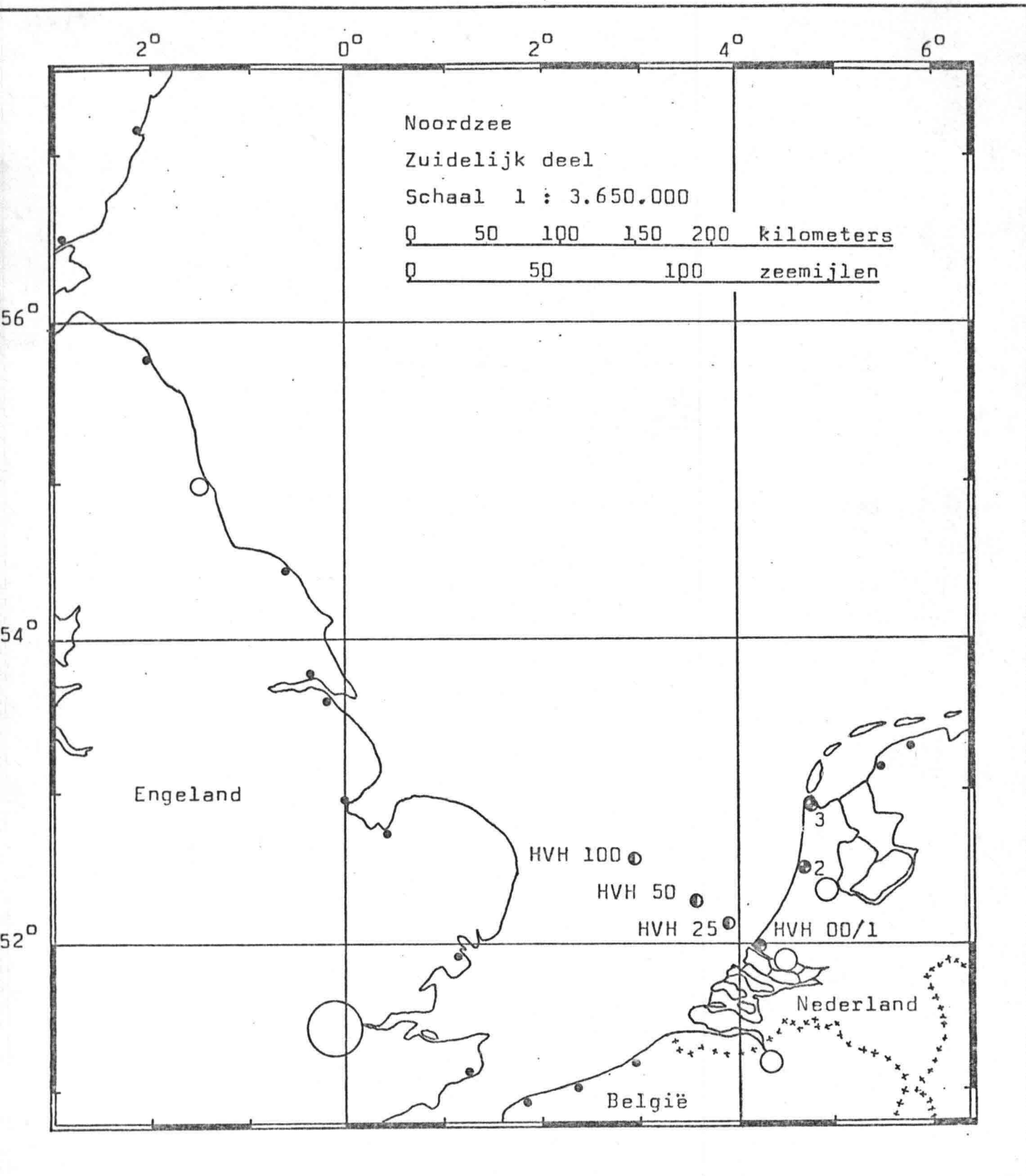
Tijdsinterval : 00.35 - 12.35

Te berekenen punt : HVH 00  
HVH 25  
HVH 50  
HVH 100

Opmerkingen : Het nummer van een registratiepunt bestaat uit het trajectnummer, een streep en een volgnummer. Volgnummering langs de positieve X-as.

De te berekenen punten worden aangegeven met één of meer letters ter aanduiding van de plaats gevolgd door een cijfer die het aantal kilometers uit de kust aangeeft.

Fig.5.1. Situatieschets traject 1.



- Plaats
- Grote plaats
- +++++ Landsgrens
- ⊙ Registratiepunt
- ⊙ Te berekenen punt
- ⊙ Registratiepunt/te berekenen punt

5.2.2. Invoer

1. Aantal registratiepunten : 3
2. Faseverloop langs pos.X-as: Toename
3. Harmonische constanten :

Nr.reg. punt	Registr. punt	M2		S2		K1		O1	
		g	H	g	H	g	H	g	H
1-1	HVH	090	0.76	151	0.19	002	*0.07	190	0.11
1-2	YM	135	0.69	204	0.17	001	0.08	194	0.12
1-3	DH	194	0.63	262	0.18	009	0.08	207	0.10

4. Diepte : 25 M
5. Breedtegraad : 52 deg
6. Hoek M2/S2/K1/O1: 090/151/002/190 deg
7. Y-afstand : 00/25/50/100 kM
8. Tijdzone : -01.00 hm
9. Begintijd : 00.35 hm
10. Eindtijd : 12.35 hm
11. Tijdstap : 01.00 hm
12. A M2/S2/K1/O1 : 150/351/194/304 deg
13. F1/F2 M2 : 1.04/0.99 -
- F1/F2 S2 : 0.80/0.79 -
- F1/F2 K1 : 1.18/1.16 -
- F1/F2 O1 : 0.93/0.88 -

Opmerkingen : deg: graden met 360 graden in een cirkel  
 hm : hours minutes, hier dient dus het aantal uren en minuten ingevuld te worden.

Plaatselijke tijden!

5.2.3. Uitvoer

Tabel 5.1.	M2	S2	K1	01
(deg)	92.8	127.9	81.3	17.0
a (m)	.76	.19	.08	.12
b (m)	.63	.17	.08	.03

Tabel 5.2.	Y = 0 km		Y = 25 km		Y = 50 km		Y = 100 km	
$t_{pl}$	h (m)	u (m/s)	h	u	h	u	h	u
00.35	-.81	-.40	-.71	-.32	-.63	-.24	-.52	-.11
01.35	-.90	-.45	-.79	-.35	-.70	-.27	-.58	-.12
02.35	-.79	-.39	-.69	-.30	-.61	-.23	-.52	-.10
03.35	-.50	-.23	-.44	-.18	-.40	-.13	-.34	-.05
04.35	-.10	-.02	-.09	-.01	-.09	.00	-.10	+0.02
05.35	+0.32	+0.19	+0.27	+0.16	+0.23	+0.13	+0.17	+0.08
06.35	+0.66	+0.35	+0.57	+0.28	+0.49	+0.22	+0.39	+0.12
07.35	+0.84	+0.44	+0.73	+0.35	+0.64	+0.27	+0.53	+0.13
08.35	+0.83	+0.41	+0.73	+0.32	+0.64	+0.25	+0.54	+0.11
09.35	+0.64	+0.30	+0.57	+0.23	+0.51	+0.17	+0.44	+0.06
10.35	+0.32	+0.12	+0.29	+0.08	+0.27	+0.05	+0.26	-.01
11.35	-.05	-.08	-.02	-.07	.00	-.07	+0.04	-.08
12.35	-.36	-.24	-.30	-.21	-.24	-.17	-.16	-.13

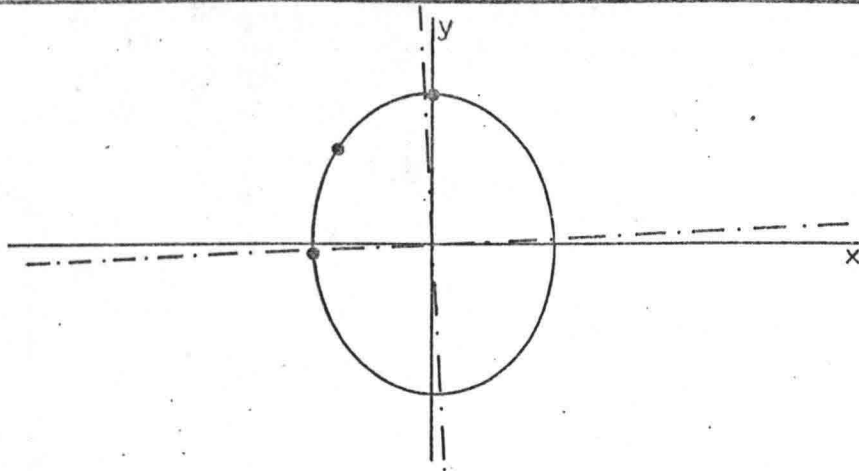


Fig.5.2. M2-Ellips

Traject: 1

Schaal : 1 : 40

 $\delta$  : 92.8 deg

a : 0.76 m

b : 0.63 m

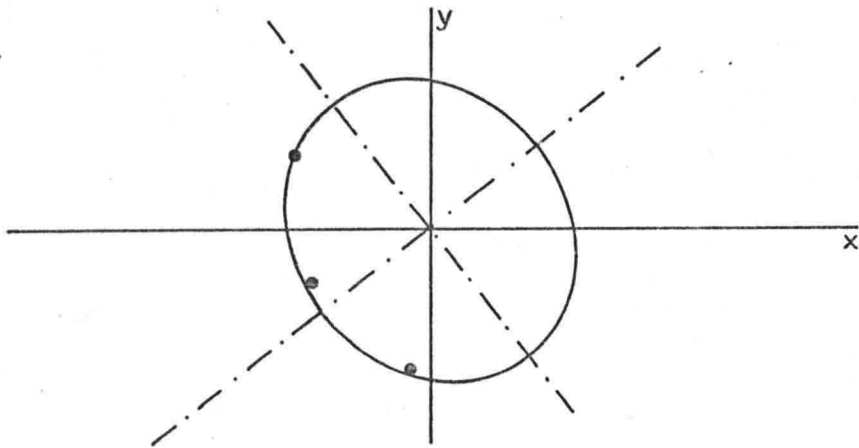


Fig.5.3. S2-Ellips

Traject: 1

Schaal : 1 : 10

 $\delta$  : 127.9 deg

a : 0.20 m

b : 0.17 m

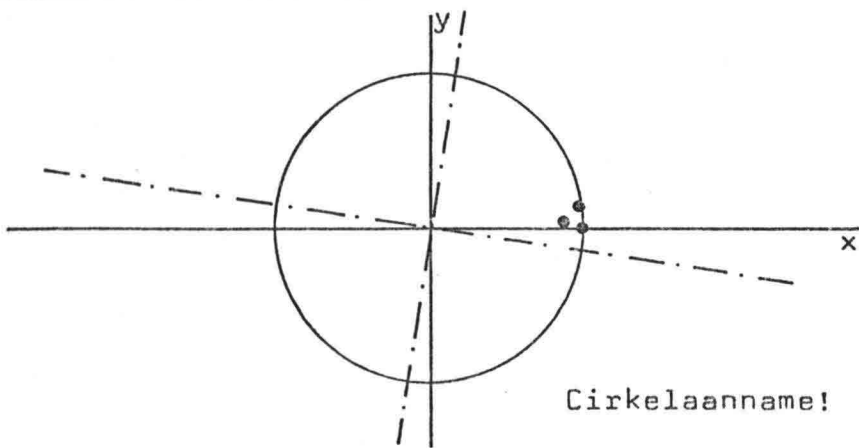


Fig.5.4. K1-Ellips

Traject: 1

Schaal : 1 : 4

 $\delta$  : 81.3 deg

a : 0.08 m

b : 0.08 m

Cirkelaanname!

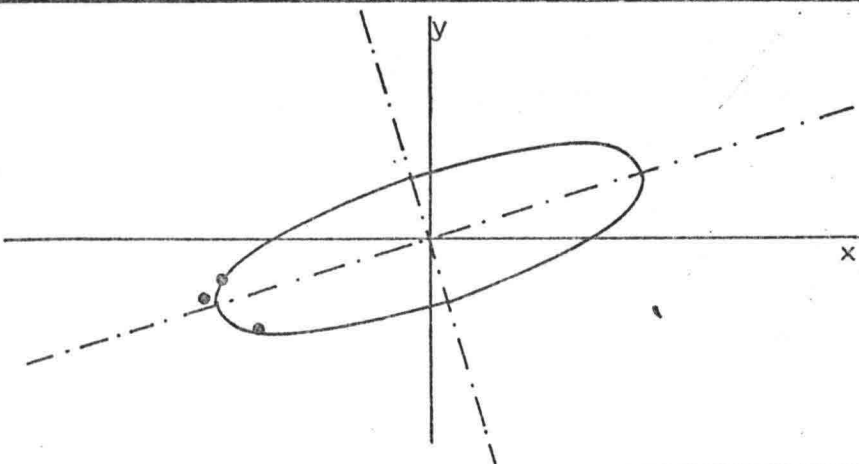


Fig.5.5. O1-Ellips

Traject: 1

Schaal : 1 : 4

 $\delta$  : 17.0 deg

a : 0.12 m

b : 0.03 m

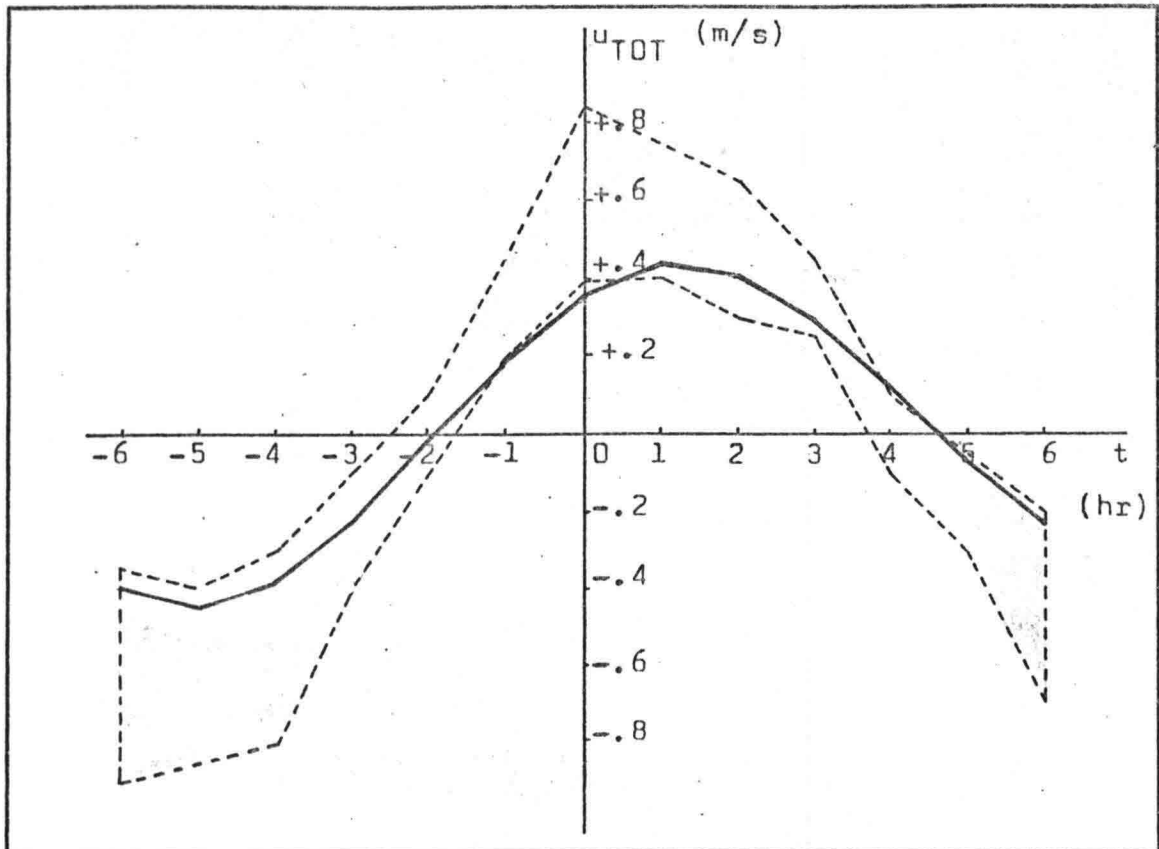


Fig.5.6. Getijstroomsnelheidscurve te HVH voor  $Y = 0$  km.

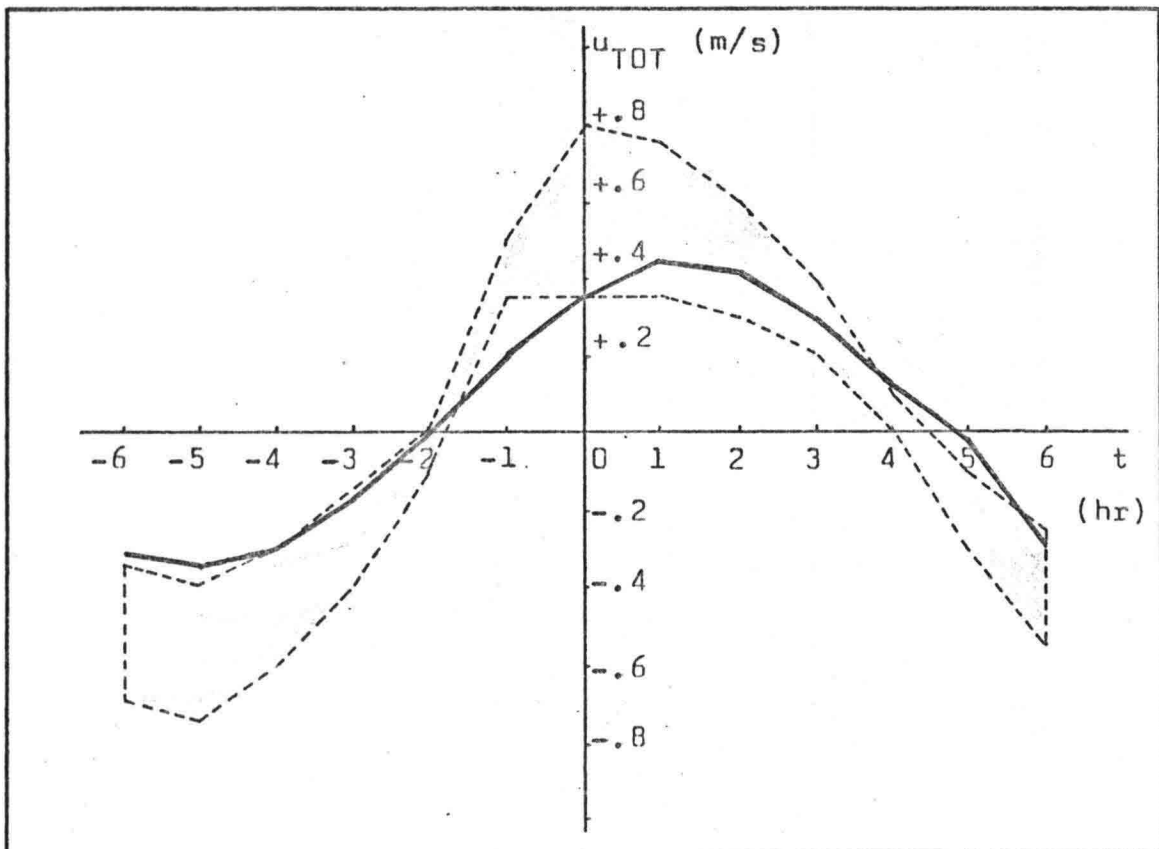


Fig.5.7. Getijstroomsnelheidscurve te HVH voor  $Y = 25$  km.

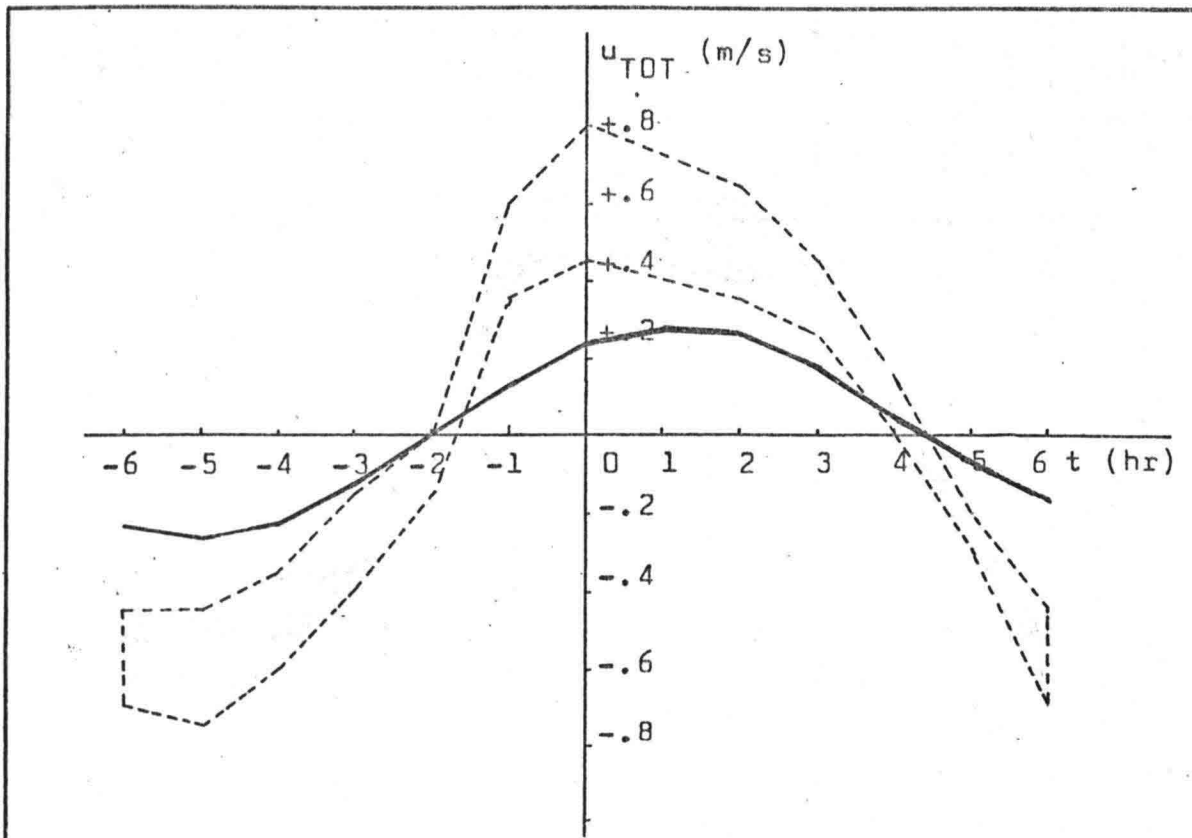


Fig.5.8. Getijstroomsnelheidscurve te HVH voor  $Y = 50$  km.

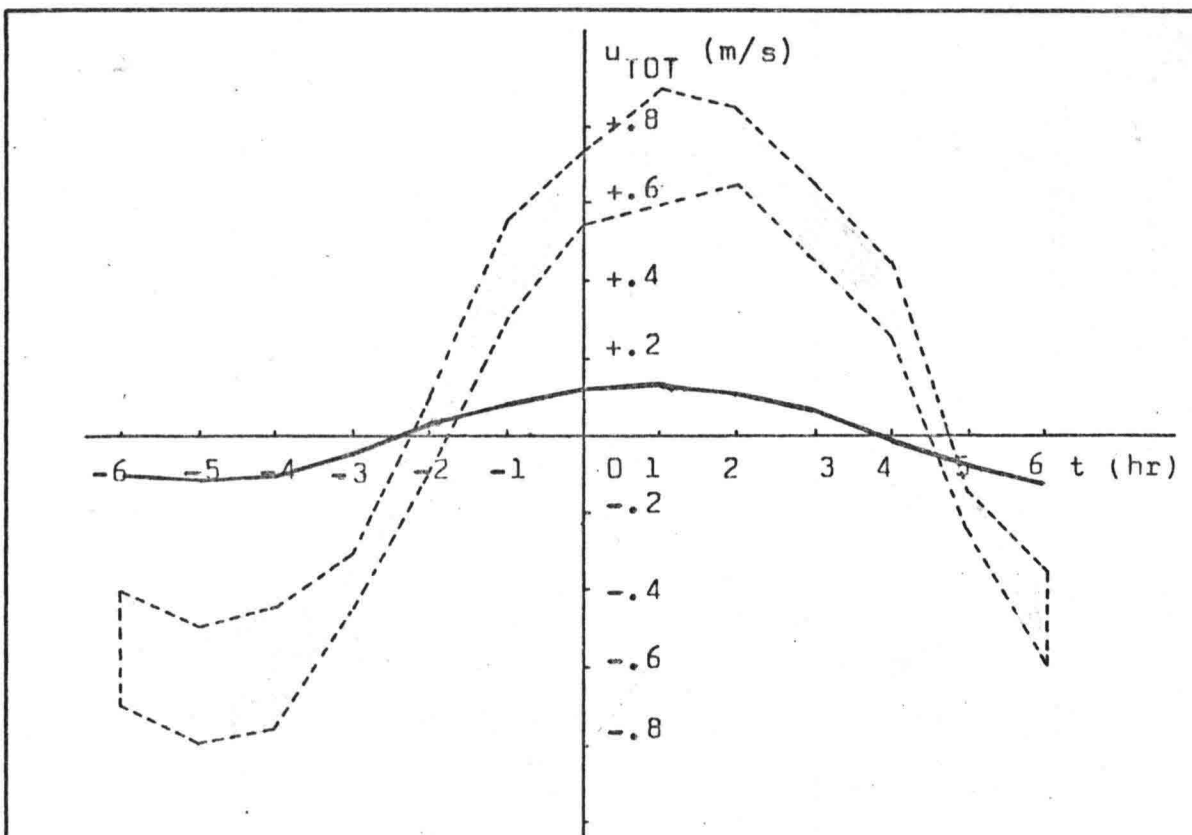


Fig.5.9. Getijstroomsnelheidscurve te HVH voor  $Y = 100$  km.

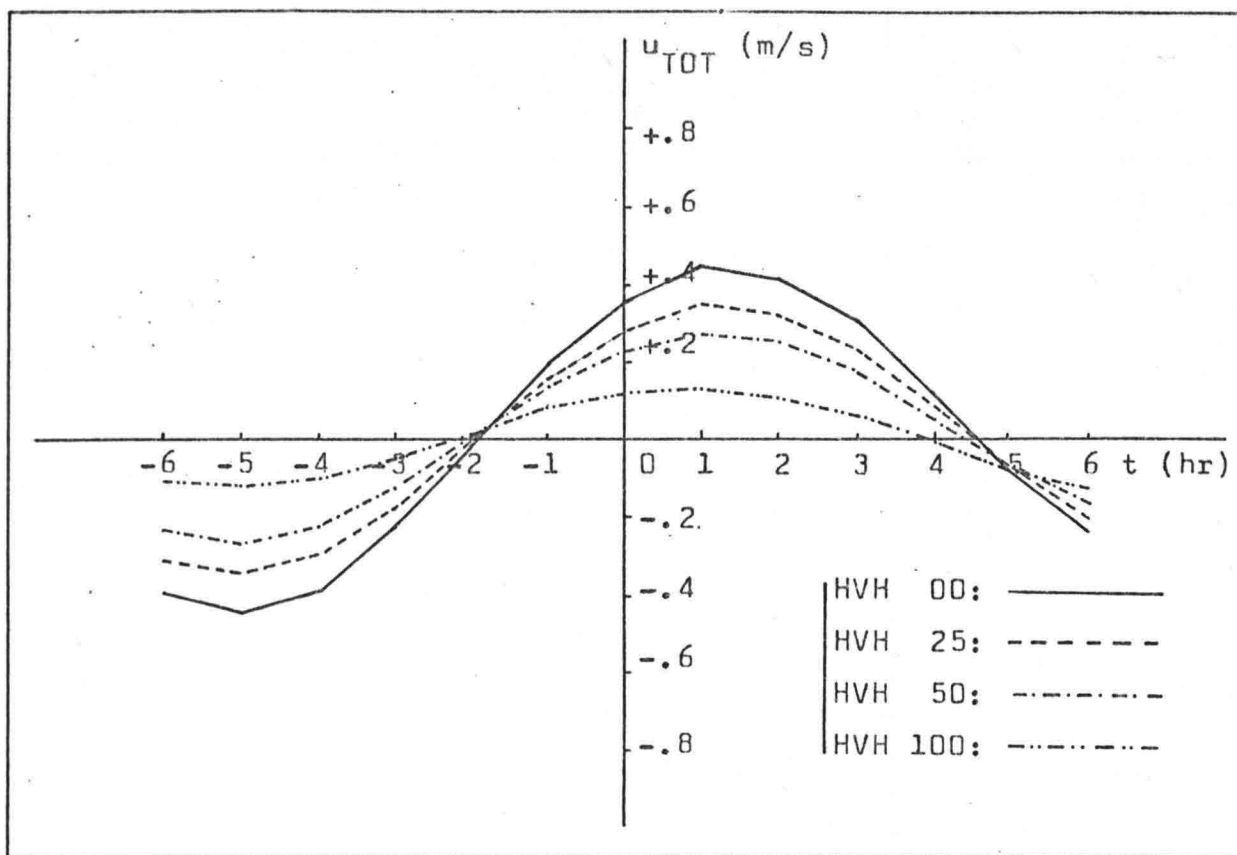


Fig.5.10. Overzicht getijstroomsnelheidscurves

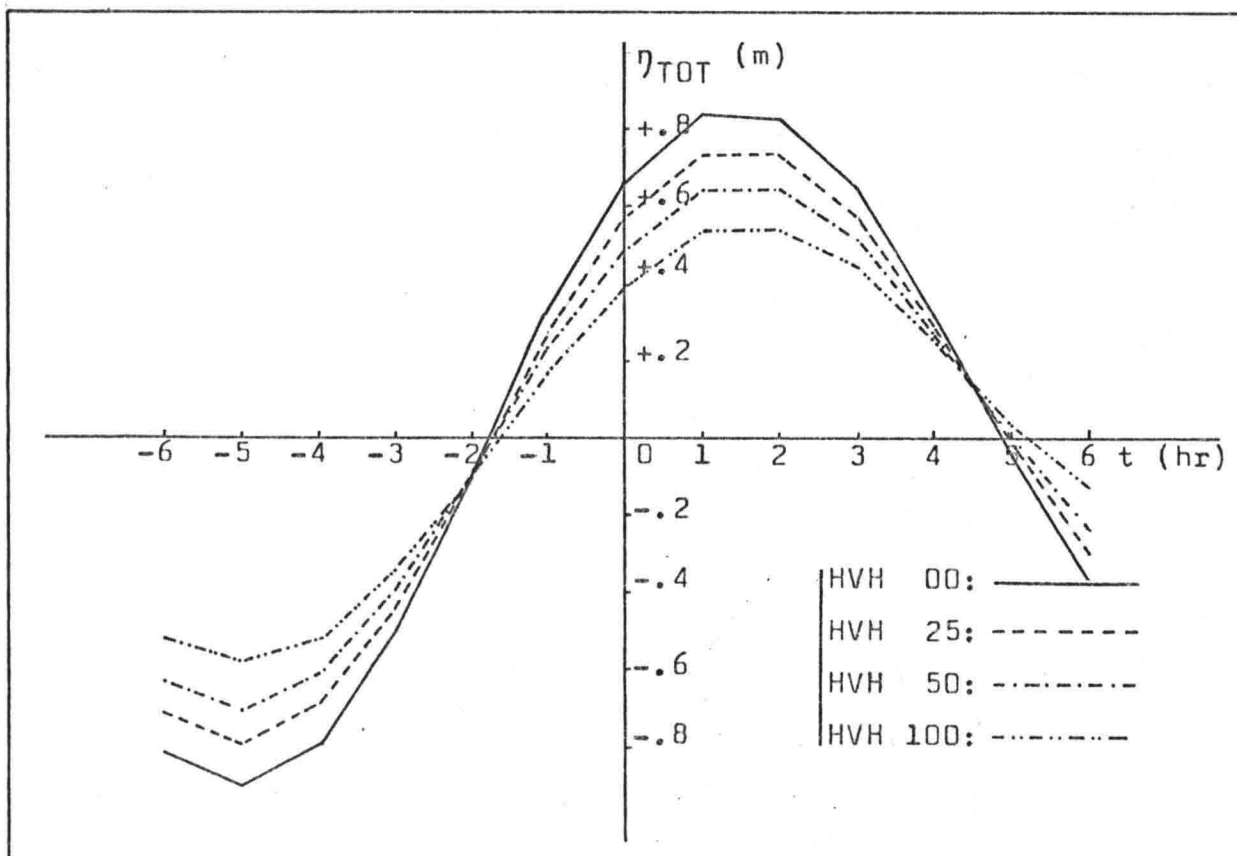


Fig.5.11. Overzicht getijgolfhoogtecurves



5.2.5. Bespreking resultaten

a. Totale golfhoogte  $\eta_{TOT}$ :

(i) Amplitude : De amplitude van de totale golfhoogte neemt af naarmate het punt verder van de kust aflight. Deze bedraagt voor  $Y=0$  km ongeveer 0.8 M en neemt af tot 0.4 M voor  $Y=100$  km.

(ii) Faseverschil: De enige mogelijkheid tot controle is die langs de kust ( $Y=0$  km). Hier bedraagt het faseverschil één uur. Dit is een groot faseverschil.

b. Totale stroomsnelheid  $u_{TOT}$ :

(i) Amplitude : Correct tot 25 km uit de kust. Daarna is deze veel te klein, zeker voor  $Y = 100$  km.

(ii) Faseverschil: Voor alle vier punten geldt een faseverschil van ongeveer twintig minuten. In paragraaf 5.2.6. wordt de oorzaak en invloed van dit faseverschil besproken.

c. Opmerkingen:

Drie punten (HVH, YM en DH), het minimaal vereiste aantal punten, geven dichtbij de kust nog wel een aardig resultaat. Bij enige tientallen kilometers uit de kust blijkt uit het slechte resultaat dat drie punten géén basis vormen voor een getijberekening ver uit de kust.

d. Conclusie:

Matig resultaat

5.2.6. Dorzaak en invloed faseverschil stroomsnelheidscurve

Onder faseverschil wordt verstaan het verschil in uren tussen de berekende stroomsnelheidscurve  $u_{TOT}$  en het grijs gearceerde gebied zoals volgt uit de stroomatlas. In het geval van traject 1 bedraagt deze  $\approx \frac{1}{2}$  uur.

Dorzaak: a. In de berekening is de invloed van de bodemwrijving niet meegenomen! In geval van niet al te grote diepte (zoals hier 25M) kan dit echter fysisch wel degelijk van belang zijn. Dit zou een reden kunnen zijn voor het faseverschil met name omdat de berekende kromme in alle gevallen voorloopt op de theoretische kromme (het grijs gearceerde gebied).

b. Op grond van de harmonische constanten van het getij (amplitude H uitgezet tegen g) worden de grootten van de heengaande en teruggekaatste golf bepaald. Als er echter een andere reden is voor het amplitudeverloop -zoals de diepte- dan wordt dit niet in de berekening als zodanig onderkend. Dit wordt dan gewoon verhaald op de grootten van de hééngaande golf en de teruggekaatste golf.

Invloed: Voor de berekening van de stroomsnelheid  $u_{TOT}$  op één tijdstip is de berekening niet geschikt aangezien een klein faseverschil voor een groot verschil in waarde zorgt. Bij een tijdsperiode van meerdere dagen zal van dit faseverschil niets meer te merken zijn aangezien de invloed van het faseverschil afneemt met de tijdsperiode. Aangezien het gebruik is gericht op langere tijdsperiodes is dit beperkte faseverschil niet bezwaarlijk.

5.3. De Engelse zuid-oost kust

5.3.1. Trajectbeschrijving

Traject : De Engelse zuid-oost kust van Cromer tot Clacton.

Trajectnummer : 2

Aantal reg. punten : 10

Lijst reg. punten : 2-1 Cromer  
2-2 Winterton Ness  
2-3 Caister  
2-4 Gorleston  
2-5 Sothwold  
2-6 Aldeburgh  
2-7 Bawdsey  
2-8 Felixstowe Pier  
2-9 Sunk Head Tower  
2-10 Clacton

Gewenste datum : 8 juni 1981

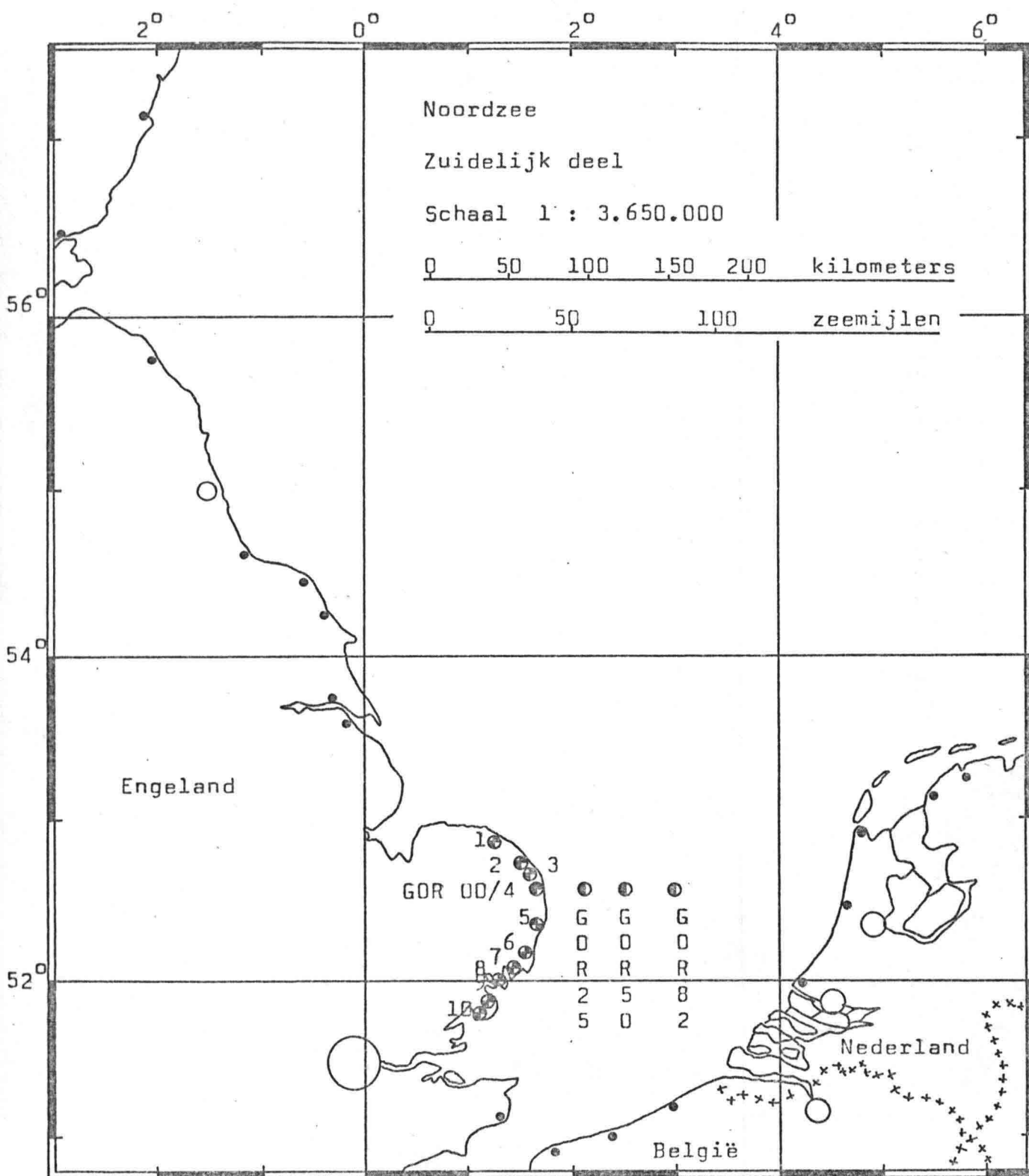
Tijdsinterval : -00.25 \* 11.35 (GMT)

Te berekenen punten: GOR 00  
GOR 25  
GOR 50  
GOR 83

Opmerkingen : Het nummer van een registratiepunt bestaat uit het trajectnummer, een streep en een volgnummer. Volgnummering langs de positieve X-as.

De te berekenen punten worden aangegeven met één of meer letters ter aanduiding van de plaats gevolgd door een cijfer die het aantal kilometers uit de kust aangeeft.

Fig.5.12. Situatieschets traject 2.



- Plaats
- Grote plaats
- +++++ Landsgrens
- ⊙ Registratiepunt
- ⊙ Te berekenen punt
- ⊙ Registratiepunt/te berekenen punt

5.3.2. Invoer

1. Aantal registratiepunten : 10
2. Faseverloop langs pos.X-as: Toename
3. Harmonische constanten :

Nr.reg. punt	Registr. punt	M2		S2		K1		O1	
		g	H	g	H	g	H	g	H
2-1	CRO	188	1.56	235	0.54	307	0.15	136	0.12
2-2	WN	211	1.02	269	0.38	304	0.13	140	0.14
2-3	CST	225	0.89	274	0.32	312	0.12	143	0.15
2-4	GOR	241	0.74	283	0.25	326	0.11	162	0.12
2-5	SOT	283	0.77	334	0.24	327	0.11	167	0.13
2-6	ALD	306	0.87	007	0.23	331	0.18	170	0.11
2-7	BAW	317	1.11	013	0.32	335	0.11	160	0.11
2-8	FEL	321	1.22	017	0.36	333	0.10	160	0.10
2-9	SHT	331	1.34	027	0.38	347	0.07	167	0.11
2-10	CLA	335	1.53	034	0.45	352	0.11	175	0.11

4. Diepte : 25 M
5. Breedtegraad : 52 deg
6. Hoek M2/S2/K1/O1: 241/283/326/162 deg
7. Y-afstand : 00/25/50/83 km
8. Tijdzone : 00.00 hm
9. Begintijd : -00.25 hm
10. Eindtijd : 11.35 hm
11. Tijdstap : 01.00 hm
12. A M2/S2/K1/O1 : 150/351/194/304 deg
13. F1/F2 M2 : 1.04/0.99 -
- F1/F2 S2 : 0.80/0.79 -
- F1/F2 K1 : 1.18/1.16 -
- F1/F2 O1 : 0.93/0.88 -

5.3.3. Uitvoer

Tabel 5.3.	M2	S2	K1	O1
$\delta$ (deg)	-7.7	54.6	-40.1	132.1
a (m)	1.86	0.56	0.15	0.14
b (m)	0.72	0.23	0.07	0.09

Tabel 5.4.	Y = 0 kM		Y = 25 kM		Y = 50 kM		Y = 83 kM	
$t_{pl}=t_{GMT}$	h (m)	u(m/s)	h	u	h	u	h	u
-00.25	+0.43	+0.68	+0.24	+0.64	+0.06	+0.62	-0.18	+0.63
00.35	+0.55	+1.01	+0.26	+0.97	-0.02	+0.95	-0.40	+0.99
01.35	+0.49	+1.07	+0.18	+1.04	-0.12	+1.03	-0.52	+1.08
02.35	+0.29	+0.85	+0.05	+0.83	-0.20	+0.84	-0.53	+0.90
03.35	+0.02	+0.41	-0.10	+0.42	-0.23	+0.44	-0.40	+0.48
04.35	-0.25	-0.13	-0.22	-0.10	-0.19	-0.08	-0.17	-0.05
05.35	-0.44	-0.63	-0.26	-0.59	-0.09	-0.57	+0.13	-0.57
06.35	-0.49	-0.96	-0.22	-0.92	+0.05	-0.91	+0.41	-0.94
07.35	-0.38	-1.04	-0.08	-1.01	+0.21	-1.02	+0.61	-1.08
08.35	-0.14	-0.84	+0.10	-0.84	+0.35	-0.86	+0.70	-0.94
09.35	+0.18	-0.41	+0.31	-0.44	+0.44	-0.48	+0.64	-0.57
10.35	+0.50	+0.13	+0.47	+0.07	+0.46	+0.02	+0.46	-0.05
11.35	+0.73	+0.65	+0.56	+0.58	+0.40	+0.52	+0.20	+0.48

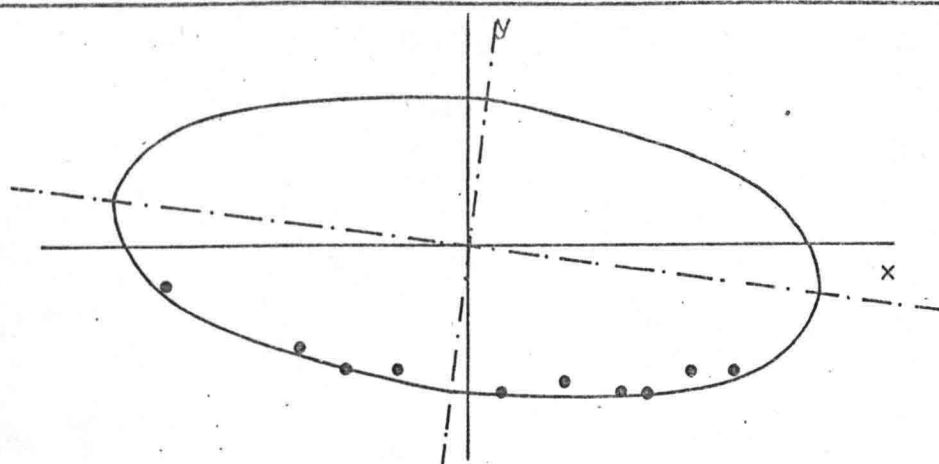


Fig.5.13. M2-Ellips

Traject: 2

Schaal : 1 : 40

 $\delta$  : - 7.7 deg

a : 1.86 m

b : 0.72 m

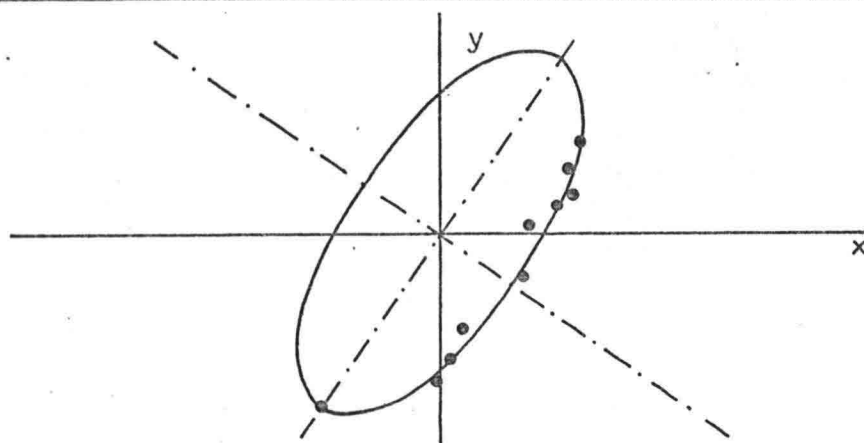


Fig.5.14. S2-Ellips

Traject: 2

Schaal : 1 : 20

 $\delta$  : 54.6 deg

a : 0.56 m

b : 0.23 m

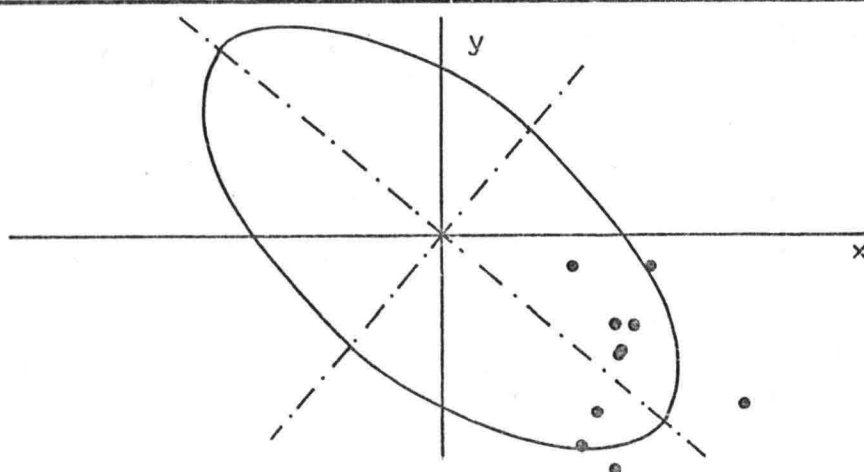


Fig.5.15. K1-Ellips

Traject: 2

Schaal : 1 : 4

 $\delta$  : - 40.1 deg

a : 0.15 m

b : 0.07 m

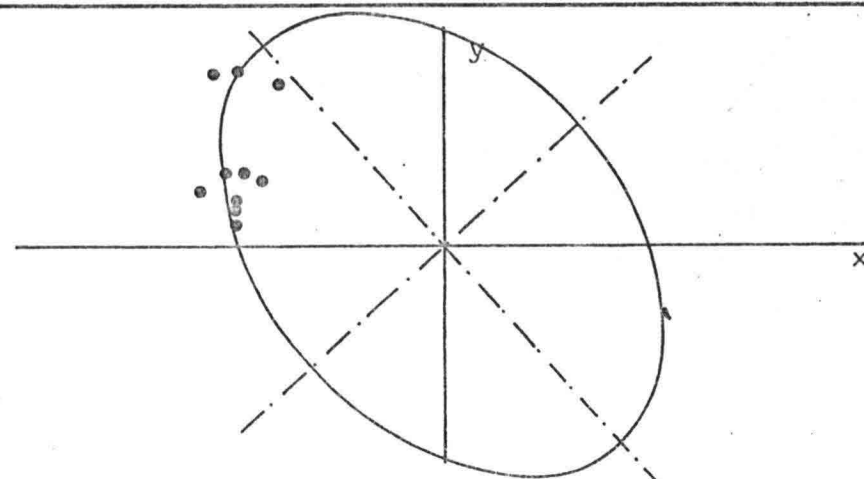


Fig.5.16. O1-Ellips

Traject: 2

Schaal : 1 : 4

 $\delta$  : 132.1 deg

a : 0.14 m

b : 0.09 m

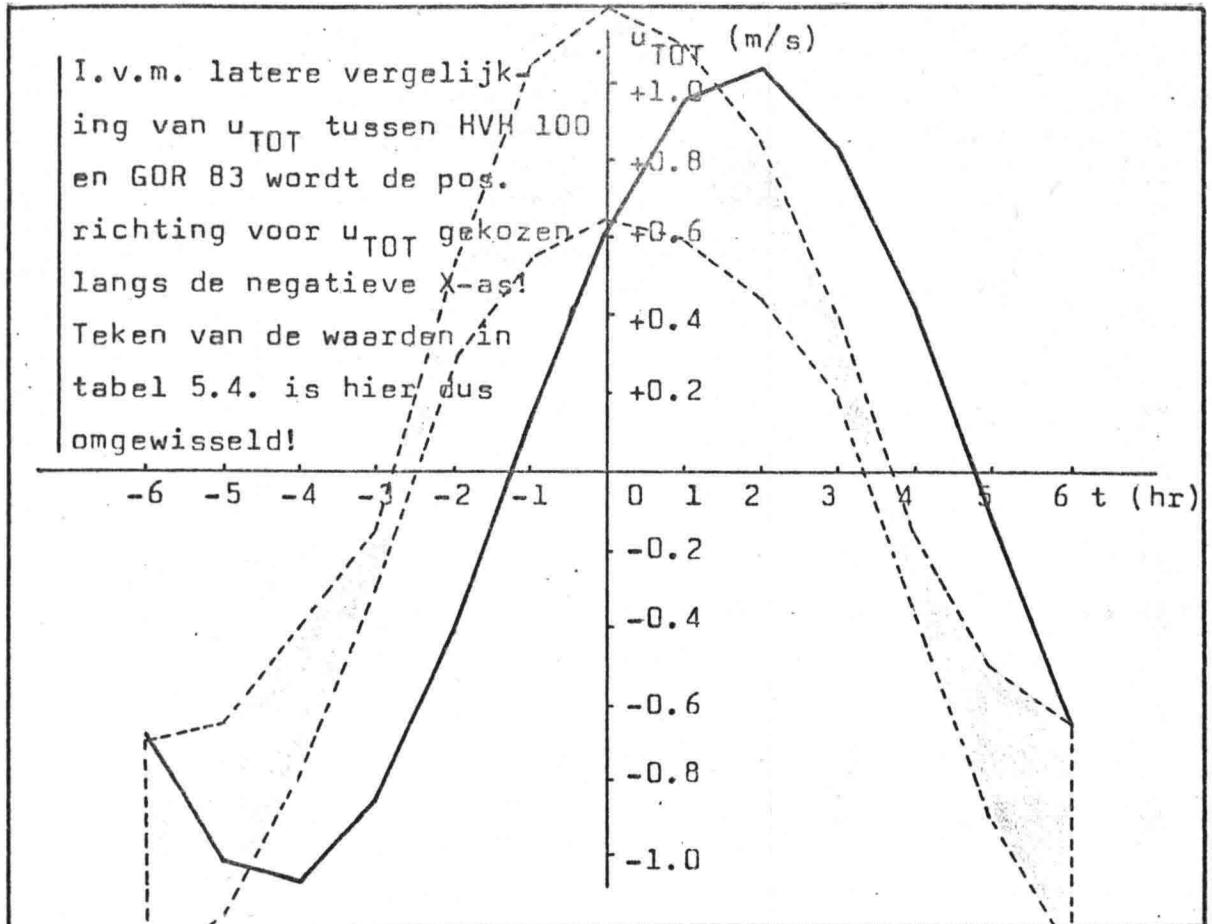


Fig. 5.17. Getijstroomsnelheidscurve te GOR voor  $Y = 0$  km.

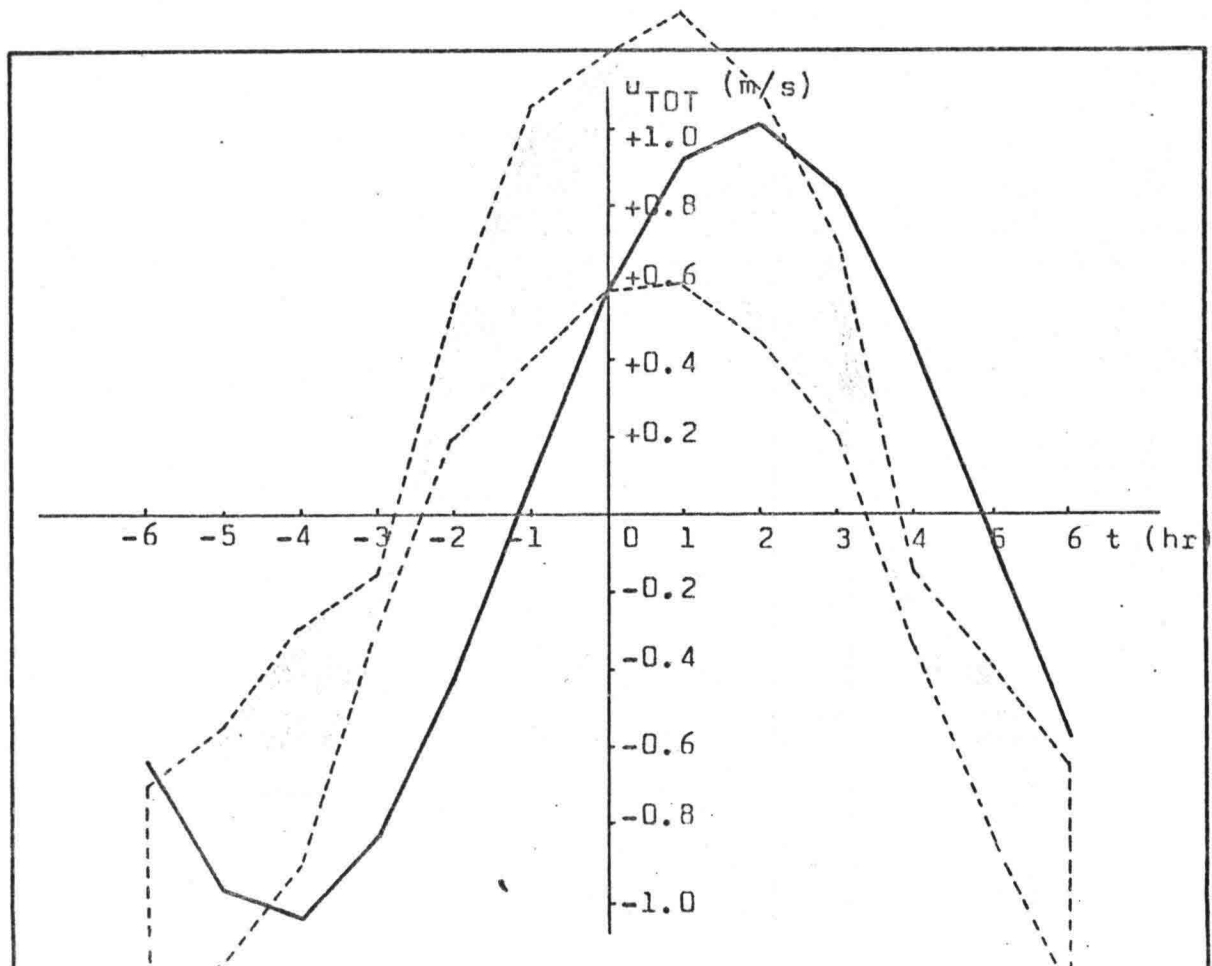


Fig. 5.18. Getijstroomsnelheidscurve te GOR voor  $Y = 25$  km.



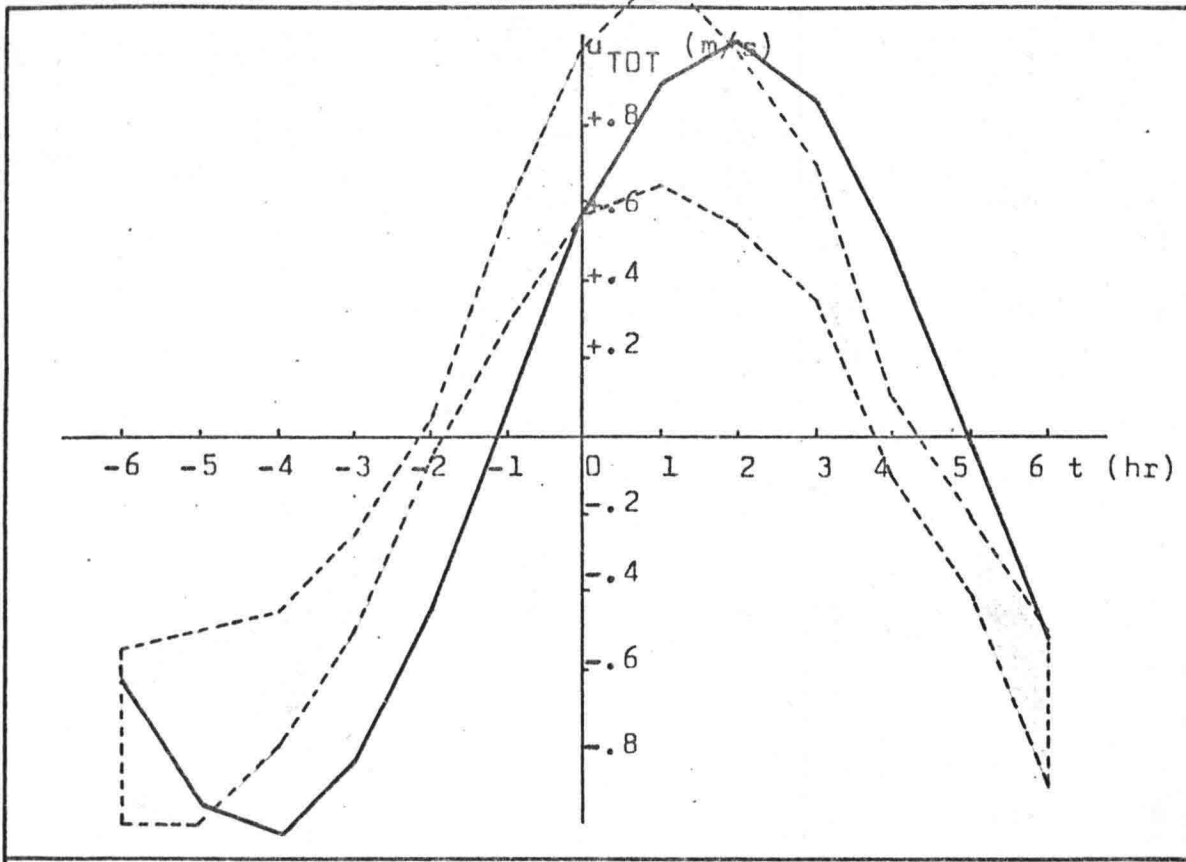


Fig.5.19. Getijstroomsnelheidscurve te GOR voor  $Y = 50$  km.

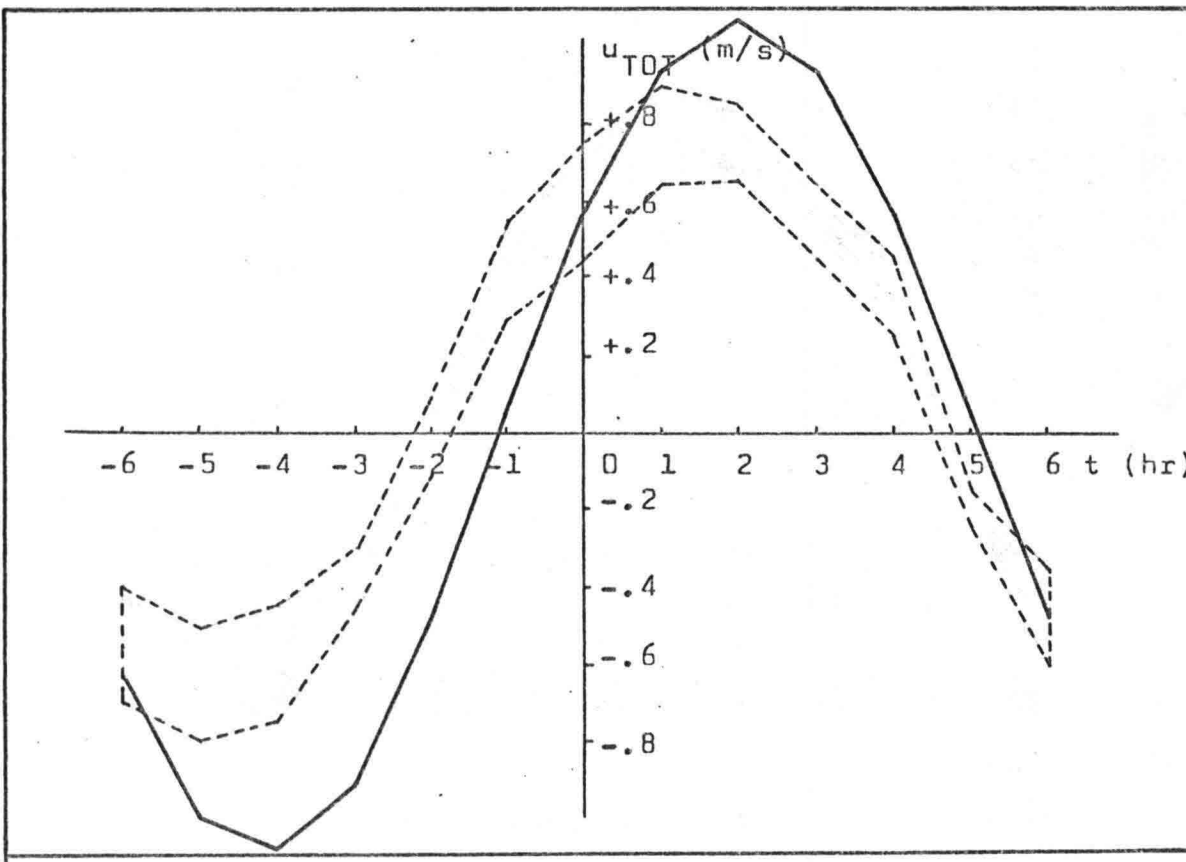


Fig.5.20. Getijstroomsnelheidscurve te GOR voor  $Y = 83$  km.

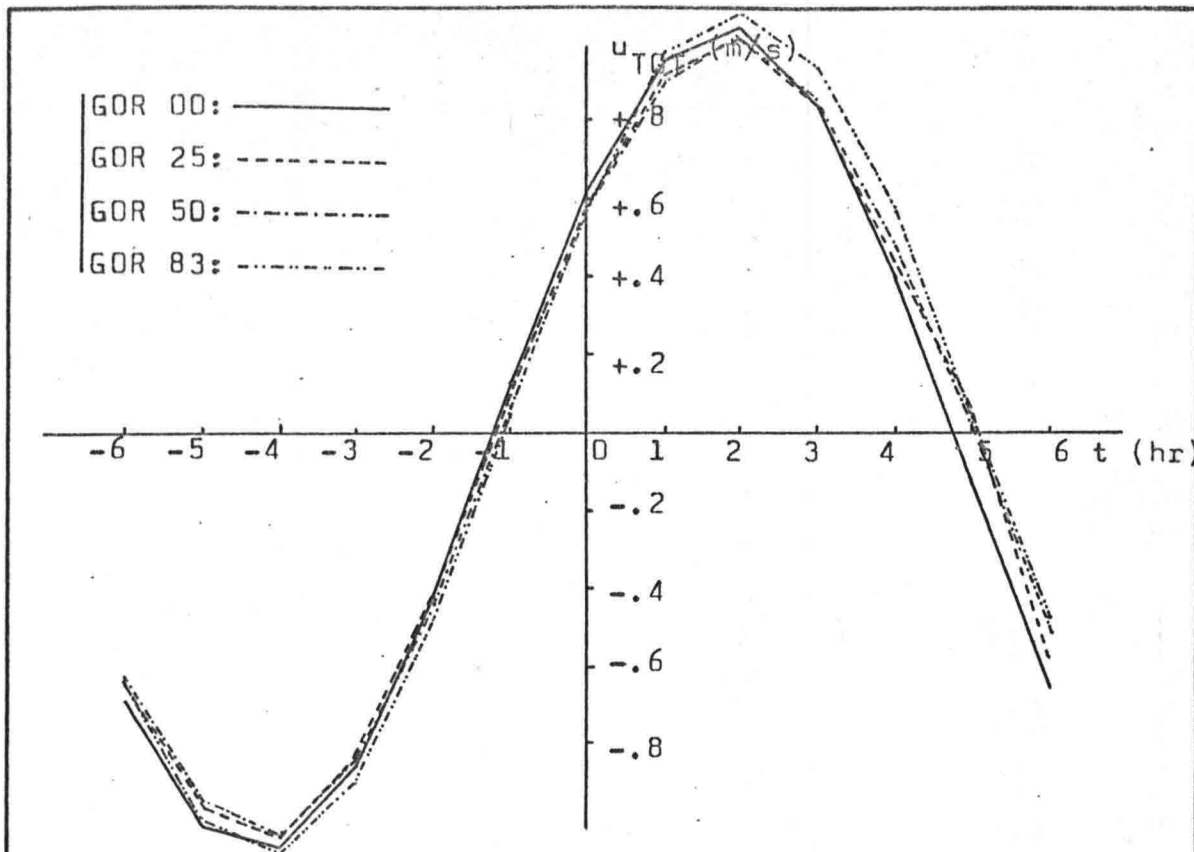


Fig.5.21. Overzicht getijstroomsnelheidscurves.

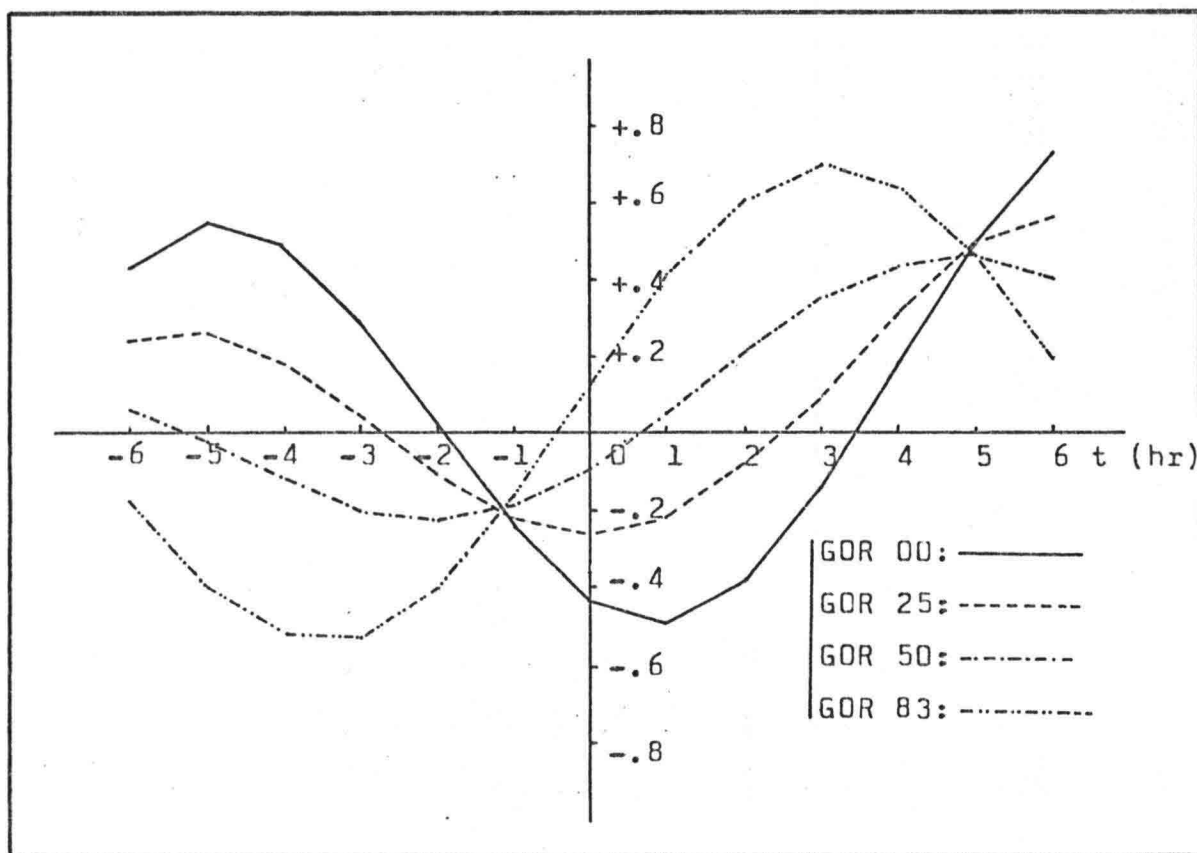


Fig.5.22. Overzicht getijgolfhoogtecurves.

5.3.5. Bespreking resultaten

a. Totale golfhoogte  $\eta_{TOT}$ :

(i) Amplitude : De amplitude van  $\eta_{TOT}$  daalt van GOR 00 tot GOR 50 om daarna weer te stijgen bij GOR 83. In theorie is dit zeer wel mogelijk.

(ii) Faseverschil: De enige mogelijkheid tot controle is die langs de kust ( $Y=0$  km). Hier bedraagt het verschil nul.

b. Totale stroomsnelheid  $u_{TOT}$ :

(i) Amplitude : Tot GOR 50 uitstekend. Van GOR 50 tot GOR 83 is de amplitude iets te groot. Bij GOR 83 is de berekende amplitude een factor 1.5 te groot.

(ii) Faseverschil: Voor alle vier de berekende punten bedraagt het faseverschil  $\approx 1$  uur. Evenals bij traject 1 lopen de berekende krommes vóór op de werkelijke krommes.

c. Opmerkingen:

10 punten over een dergelijke korte kustlengte is zeer gunstig doch in het algemeen wel zeldzaam.

d. Conclusie:

Matig resultaat.

5.3.6. Mate van overeenstemming tussen HVH 100 en GOR 83

Het punt HVH 100 is identiek aan GOR 83. Het enigste verschil bestaat uit de kust waarvan is gerekend. Door dit te doen over dezelfde tijdsperiode (-00.25GMT \* +11.35GMT) is het mogelijk om de resultaten te vergelijken.

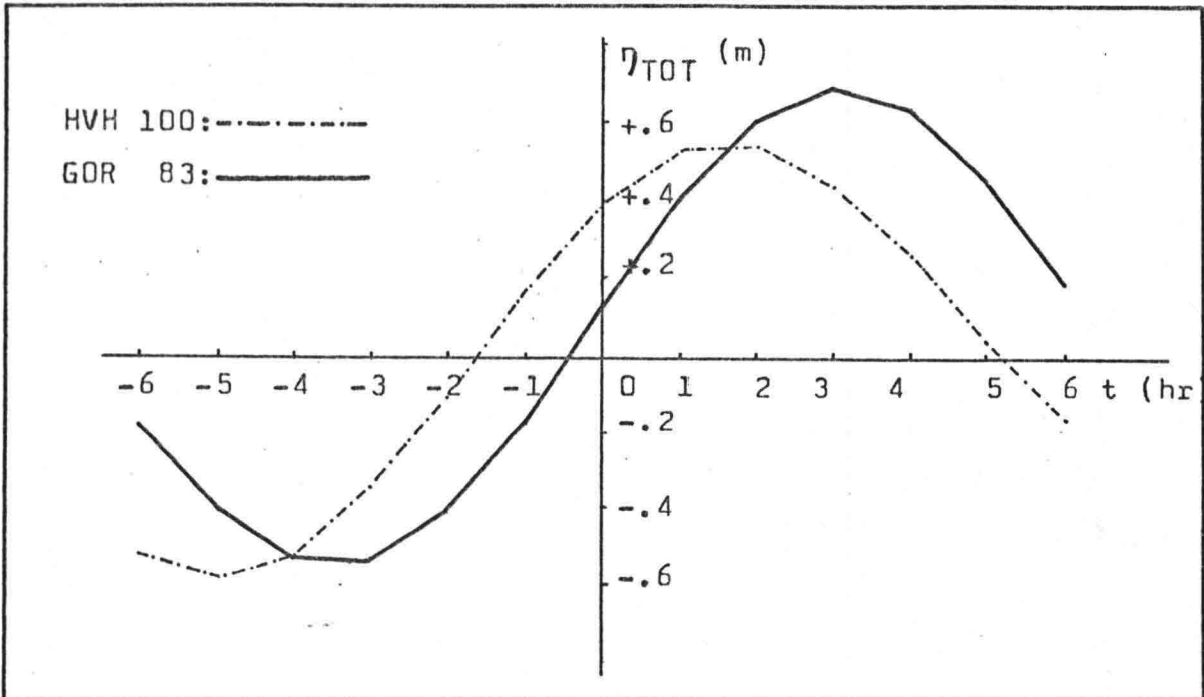


Fig.5.23. Mate van overeenstemming tussen HVH 100 en GOR 83.

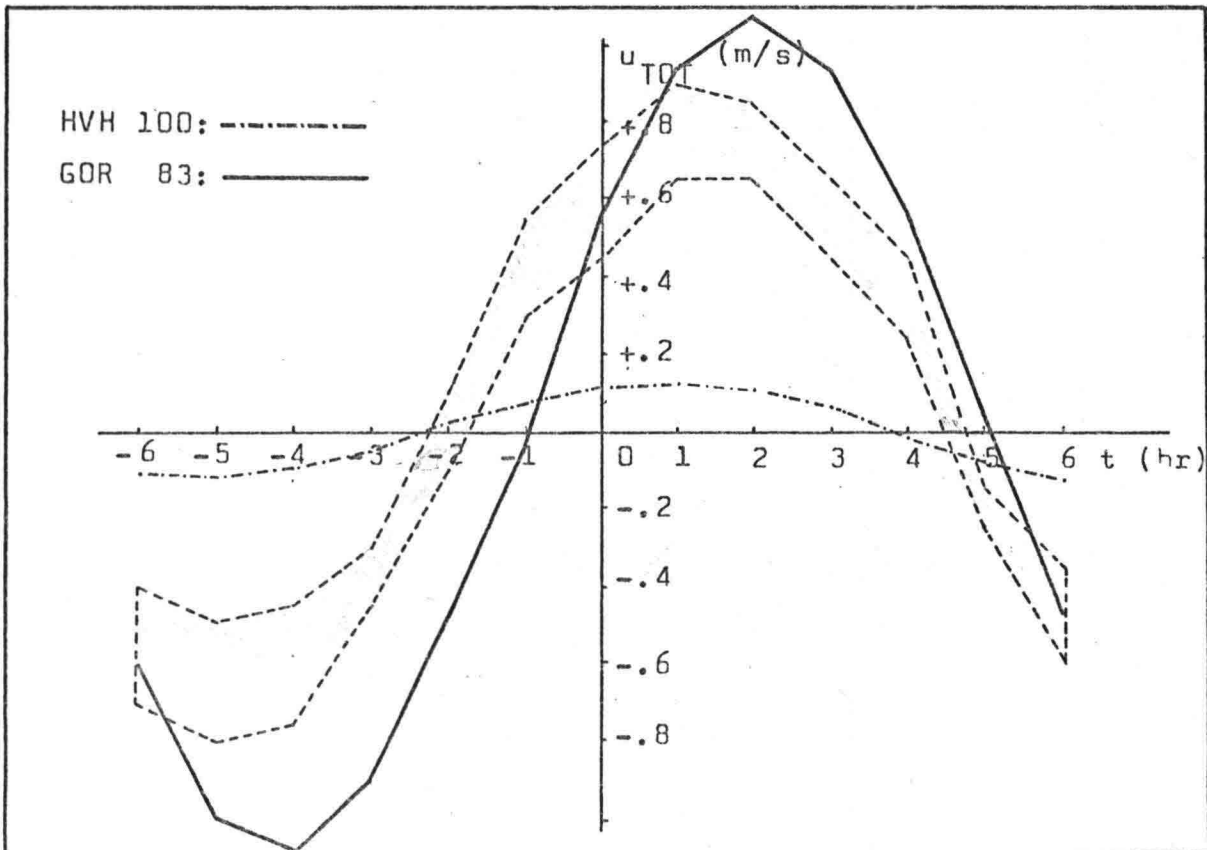


Fig.5.24. Mate van overeenstemming tussen HVH 100 en GOR 83.

Bespreking mate van overeenstemming tussen HVH 100 en GOR 83

a. Totale golfhoogte  $\eta_{TOT}$ :

(i) Amplitude :  $\approx 25\%$  verschil

(ii) Faseverschil: Het faseverschil tussen de kromme van HVH 100 en GOR 83 bedraagt ongeveer 1 uur.

b. Totale stroomsnelheid  $u_{TOT}$ :

(i) Amplitude : Dit is een uitermate groot verschil!  
De oorzaak dient hier bij HVH 100 gezocht te worden aangezien deze veel te klein is.

(ii) Faseverschil: Onderling faseverschil bedraagt 1 uur.  
Het faseverschil met de "echte" kromme ongeveer een half uur.

c. Opmerkingen:

Het moet worden vermeld dat de Noordzee qua getijstromingen niet één van de eenvoudigste gebieden is.

d. Conclusie:

De golfhoogtecurven (HVH 100 - GOR 83) komen niet goed overeen.

De stroomsnelheidscurven (HVH 100 - GOR 83) komen helemaal niet overeen.

5.4. De oostkust van Groot-Brittannië

5.4.1. Trajectbeschrijving

Traject

Trajectnummer

Aantal reg. punten: 17

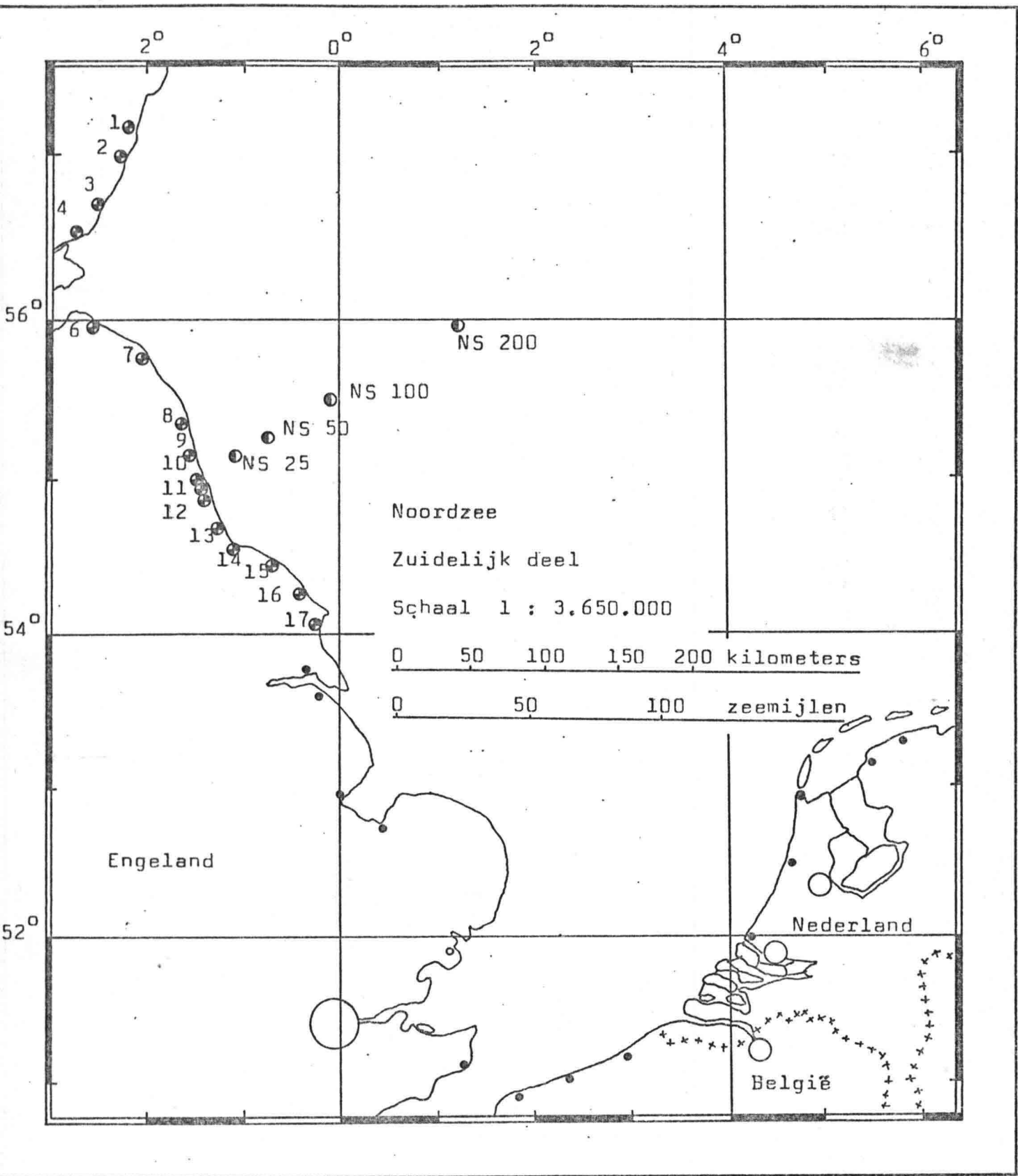
Lijst reg. punten : 3-1 Aberdeén  
3-2 Stonehaven  
3-3 Montrose  
3-4 Arbroath  
3-5 Fidra  
3-6 Dunbar  
3-7 Berwick  
3-8 Amble  
3-9 Blyth  
3-10 North Shields  
3-11 River Tyne Entrance  
3-12 Sunderland, Durham  
3-13 Hartlepool  
3-14 River Tees Entrance  
3-15 Whitby  
3-16 Scarborough  
3-17 Bridlington

Gewenste datum : 19 september 1982

Tijdsinterval : 06.00 \* 18.00 (plaatselijke tijd = GMT)

Te berekenen punt : NS 25 ; NS = North Shields  
NS 50  
NS 100  
NS 200

Fig.5.25. Situatieschets traject 3.



- Plaats
- Grote plaats
- +++++ Landsgrens
- ⊙ Registratiepunt
- ⦿ Te berekenen punt
- ⦿ Registratiepunt/te berek. punt

5.4.2. Invoer

1. Aantal registratiepunten : 17

2. Faseverloop langs pos.X-as: Toename

3. Harmonische constanten :

Nr.reg. punt	Registr. punt	M2		S2		K1		O1	
		g	H	g	H	g	H	g	H
3-1	ABD	023	1.33	060	0.44	204	0.11	048	0.14
3-2	STH	032	1.35	074	0.47	206	0.12	053	0.13
3-3	MON	047	1.47	090	0.50	233	0.13	059	0.12
3-4	ARB	044	1.54	085	0.53	207	0.12	045	0.13
3-5	FID	057	1.67	100	0.54	211	0.12	063	0.12
3-6	DUN	055	1.61	096	0.56	219	0.11	067	0.13
3-7	BER	057	1.60	118	0.51	202	0.04	088	0.07
3-8	AMB	077	1.49	127	0.46	235	0.13	065	0.12
3-9	BLY	087	1.60	126	0.55	234	0.13	081	0.14
3-10	NS	089	1.62	130	0.53	240	0.11	081	0.14
3-11	TYE	090	1.59	131	0.54	241	0.12	081	0.14
3-12	SUN	090	1.57	139	0.54	238	0.11	068	0.13
3-13	HAR	094	1.56	139	0.53	248	0.08	081	0.15
3-14	TEE	098	1.69	138	0.57	248	0.13	087	0.14
3-15	WH	103	1.65	147	0.52	254	0.11	103	0.12
3-16	SCA	111	1.71	153	0.58	254	0.12	088	0.15
3-17	BRI	125	1.77	168	0.63	176	0.11	108	0.10



4. Diepte	:	80	M
5. Breedtegraad	:	55	deg
6. Hoek M2/S2/K1/01	:	089/130/240/081	deg
7. Y-afstand	:	25/50/100/200	kM
8. Tijdzone	:	00.00	hm
9. Begintijd	:	06.00	hm
10. Eindtijd	:	18.00	hm
11. Tijdstap	:	01.00	hm
12. A M2/S2/K1/01	:	032/002/111/287	deg
13. F1/F2 M2	:	1.04/0.99	-
F1/F2 S2	:	1.23/1.23	-
F1/F2 K1	:	0.73/0.70	-
F1/F2 O1	:	1.03/0.98	-

Opmerkingen

: deg: graden met 360 graden in een cirkel  
hm : hours, minutes. Hier dient het aantal  
uren en minuten ingevuld te worden.  
Plaatselijke tijden!

5.4.3. Uitvoer

Tabel 5.5.	M2	S2	K1	O1
$\delta$ (deg)	113.2	- 6.9	49.8	73.1
a (m)	1.68	0.58	0.12	0.14
b (m)	1.47	0.50	0.10	0.10

Tabel 5.6.	Y = 25 km		Y = 50 km		Y = 100 km		Y = 200 km	
$t_{pl} = t_{GMT}$	h (m)	$u(\frac{m}{s})$	h	u	h	u	h	u
06.00	+1.36	+0.37	+1.25	+0.32	+1.08	+0.24	+0.89	+0.09
07.00	+0.33	+0.02	+0.33	+0.01	+0.33	-0.02	+0.38	-0.07
08.00	-0.79	-0.34	-0.69	-0.31	-0.52	-0.27	-0.23	-0.21
09.00	-1.72	-0.61	-1.54	-0.55	-1.24	-0.45	-0.80	-0.30
10.00	-2.23	-0.73	-2.02	-0.65	-1.67	-0.51	-1.18	-0.31
11.00	-2.20	-0.67	-2.01	-0.59	-1.69	-0.45	-1.28	-0.24
12.00	-1.65	-0.45	-1.52	-0.39	-1.32	-0.28	-1.09	-0.11
13.00	-0.71	-0.12	-0.68	-0.09	-0.64	-0.05	-0.64	+0.05
14.00	+0.36	+0.23	+0.29	+0.21	+0.17	+0.20	-0.06	+0.19
15.00	+1.30	+0.51	+1.16	+0.46	+0.90	+0.38	+0.51	+0.28
16.00	+1.88	+0.65	+1.69	+0.58	+1.38	+0.47	+0.92	+0.30
17.00	+1.95	+0.61	+1.77	+0.54	+1.48	+0.42	+1.09	+0.24
18.00	+1.50	+0.42	+1.38	+0.37	+1.19	+0.27	+0.96	+0.11

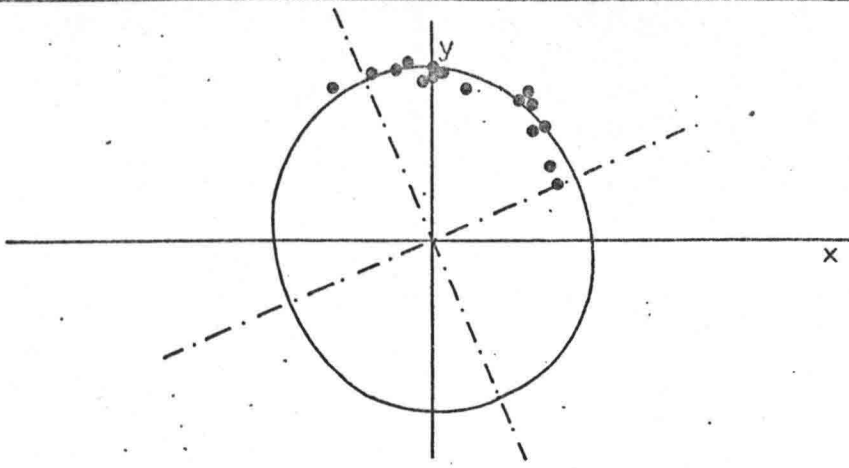


Fig.5.26. M2-Ellips

Traject: 3

Schaal : 1 : 75

 $\delta$  : 113.2 deg

a : 1.68 m

b : 1.47 m

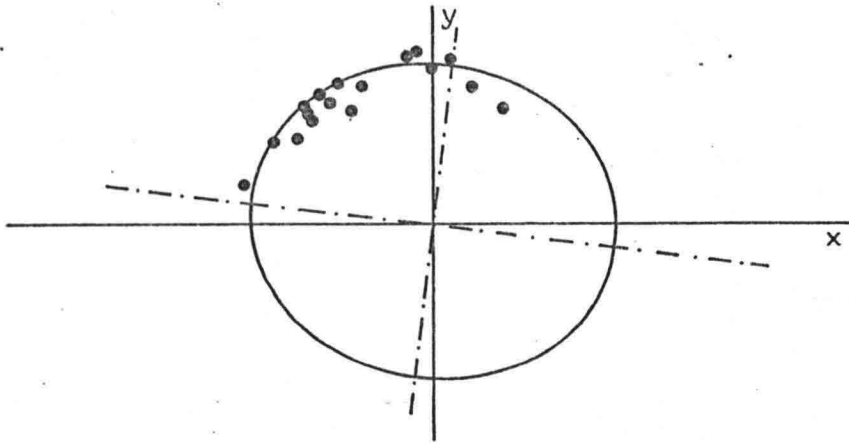


Fig.5.27. S2-Ellips

Traject: 3

Schaal : 1 : 25

 $\delta$  : - 6.9 deg

a : 0.58 m

b : 0.50 m

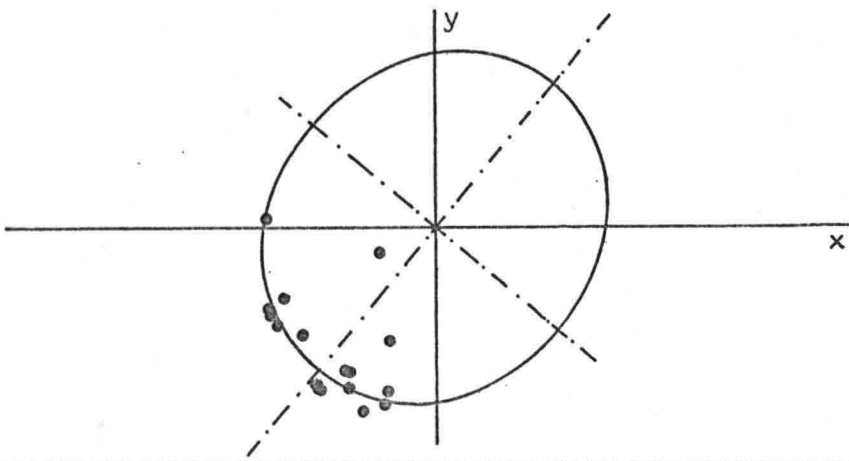


Fig.5.28. K1-Ellips

Traject: 3

Schaal : 1 : 5

 $\delta$  : 49.8 deg

a : 0.12 m

b : 0.10 m

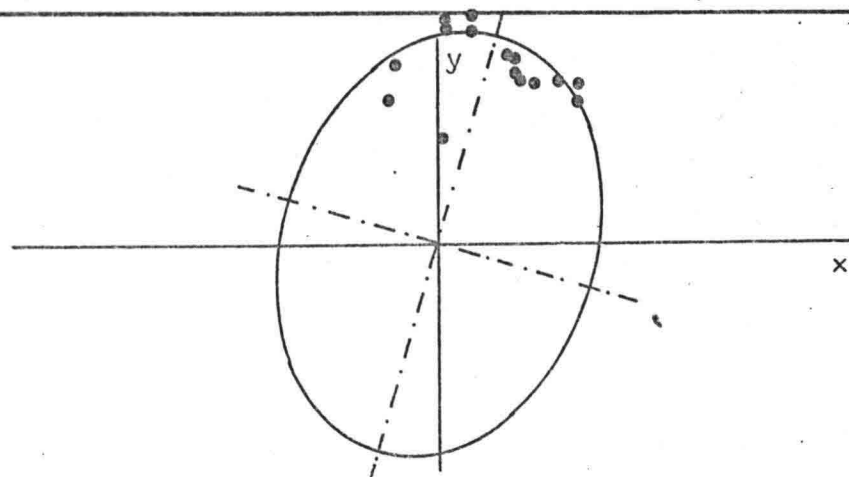


Fig.5.29. O1-Ellips

Traject: 3

Schaal : 1 : 5

 $\delta$  : 73.1 deg

a : 0.14 m

b : 0.10 m

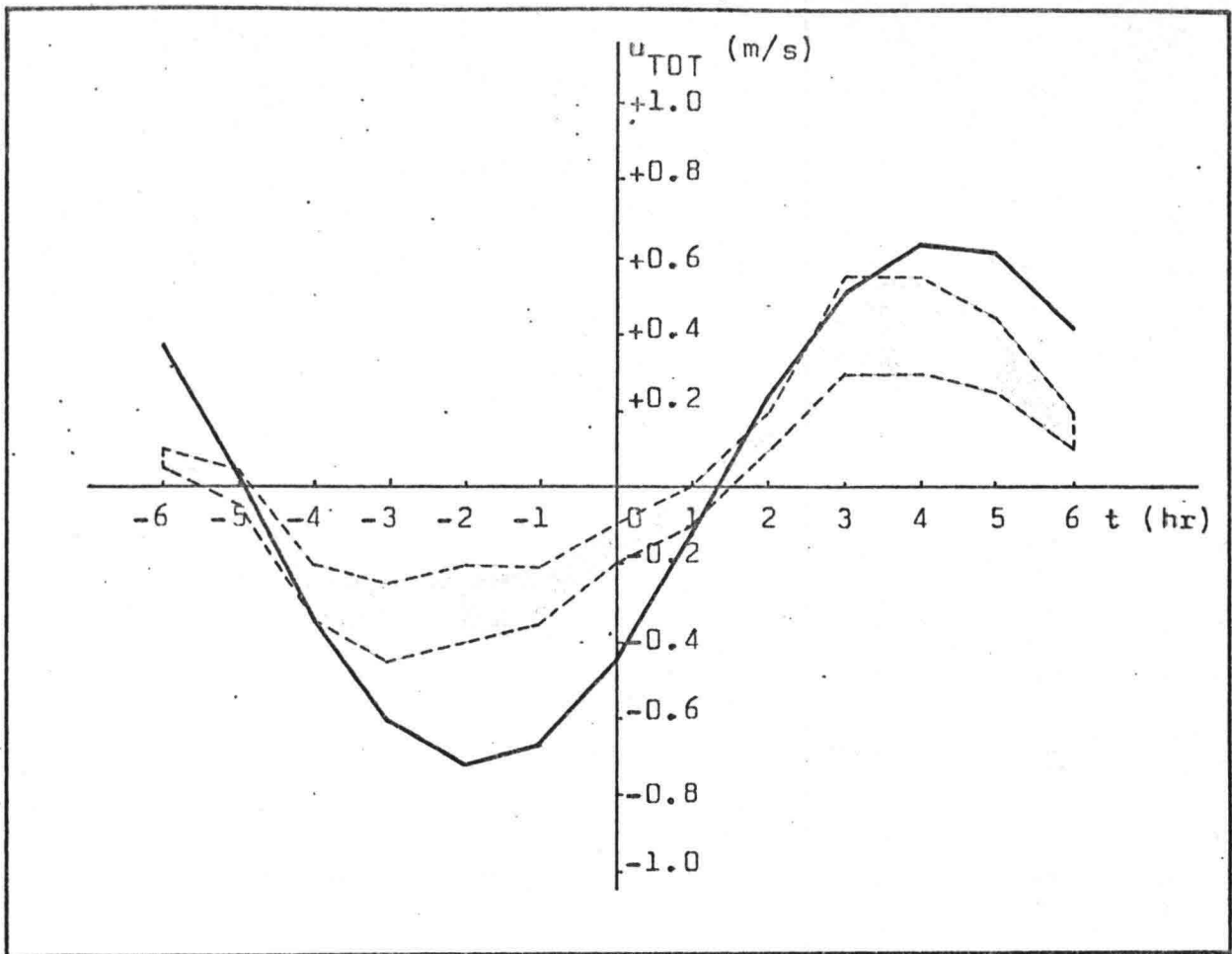


Fig.5.30. Getijstroomsnelheidscurve te NS voor Y = 25 km.

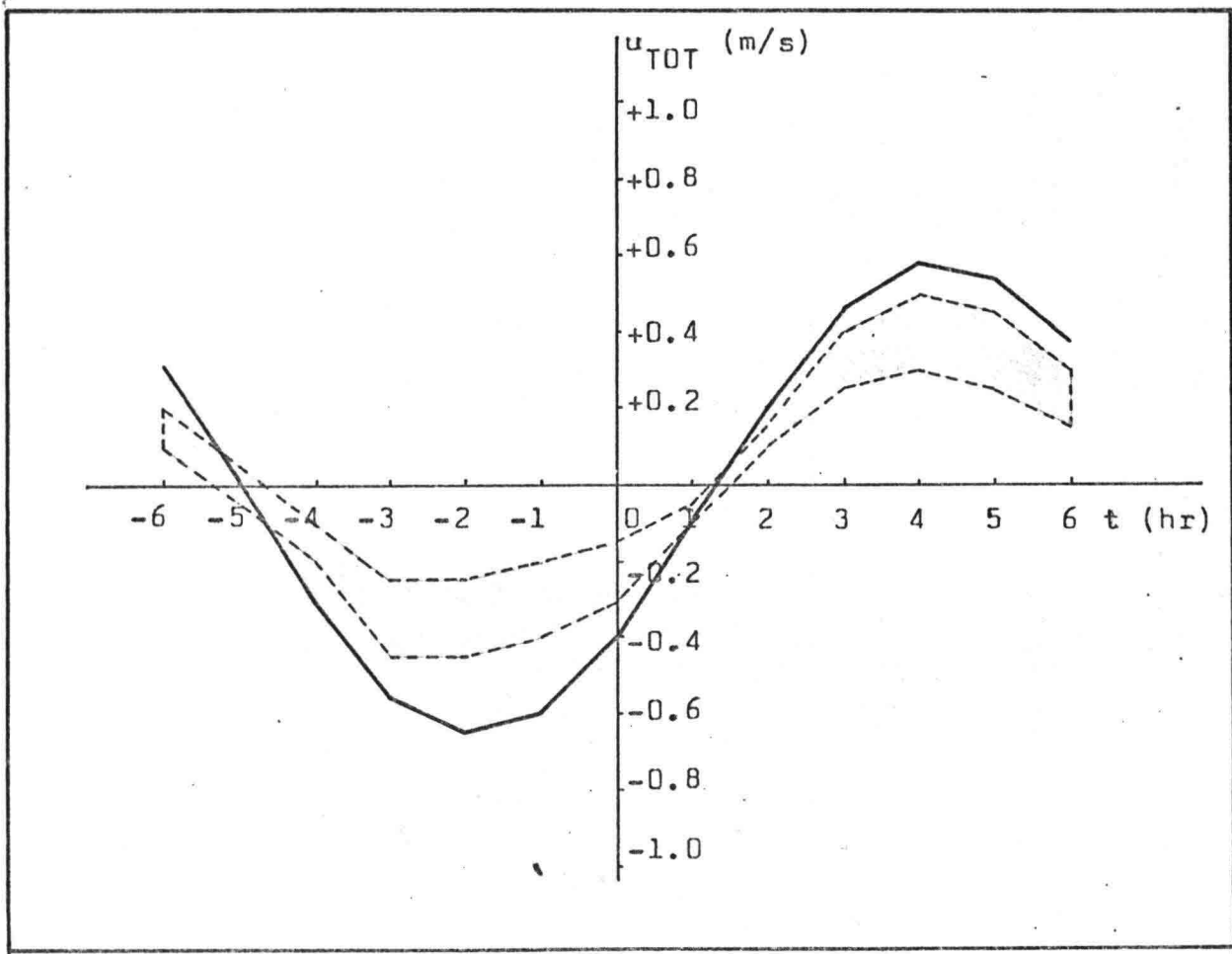


Fig.5.31. Getijstroomsnelheidscurve te NS voor Y = 50 km.

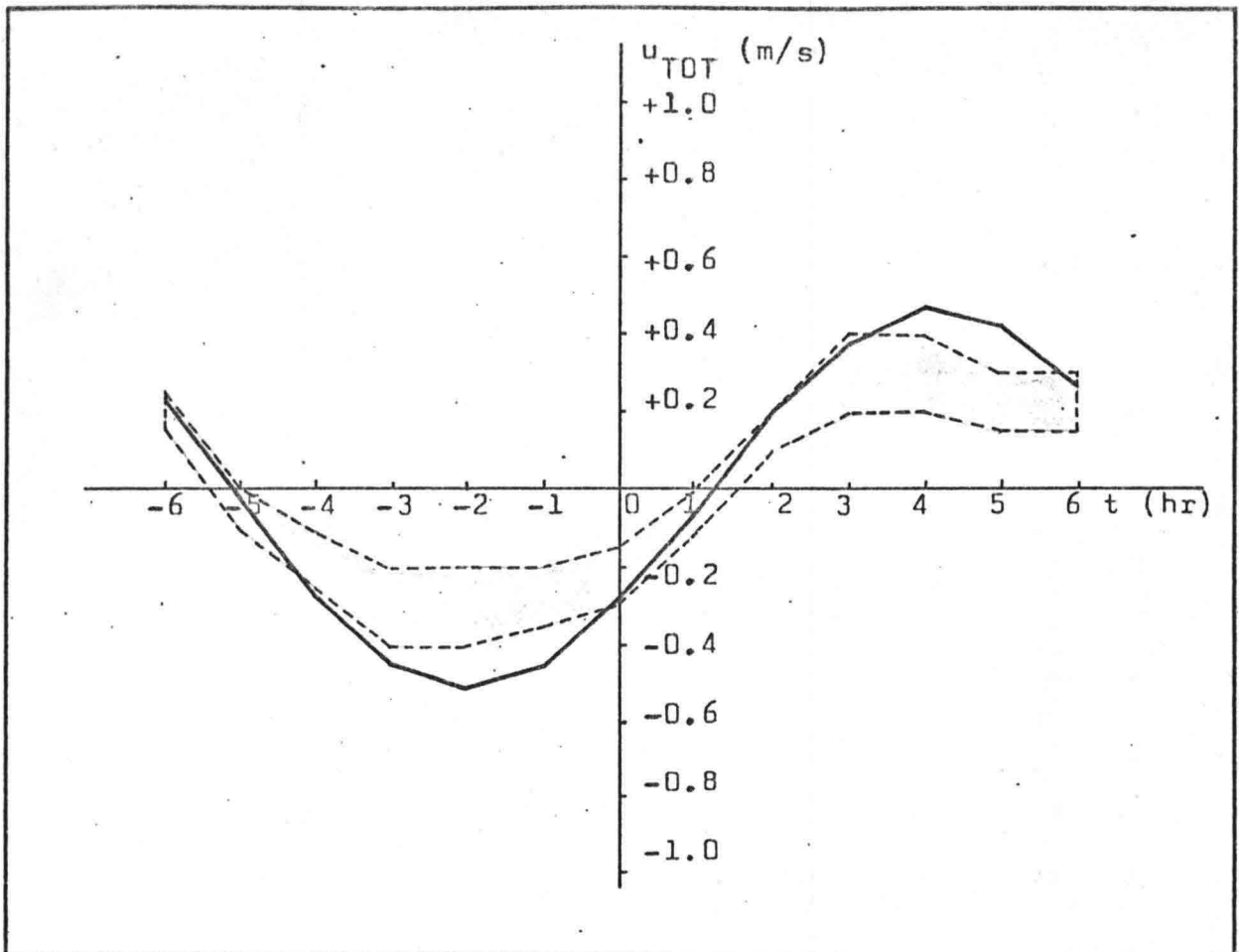


Fig.5.32. Getijstroomsnelheidscurve te NS voor Y = 100 km.

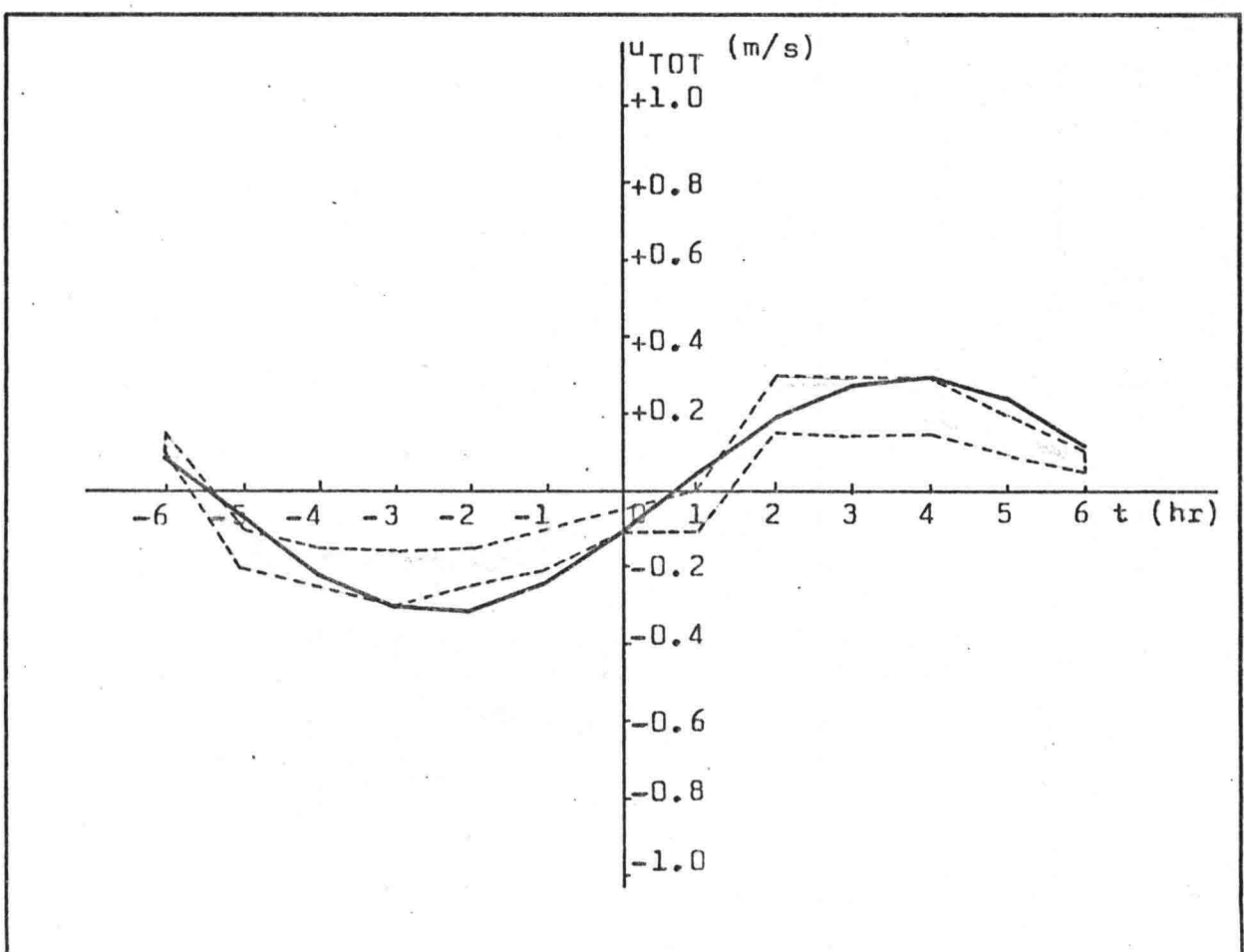


Fig.5.33. Getijstroomsnelheidscurve te NS voor Y = 200 km.

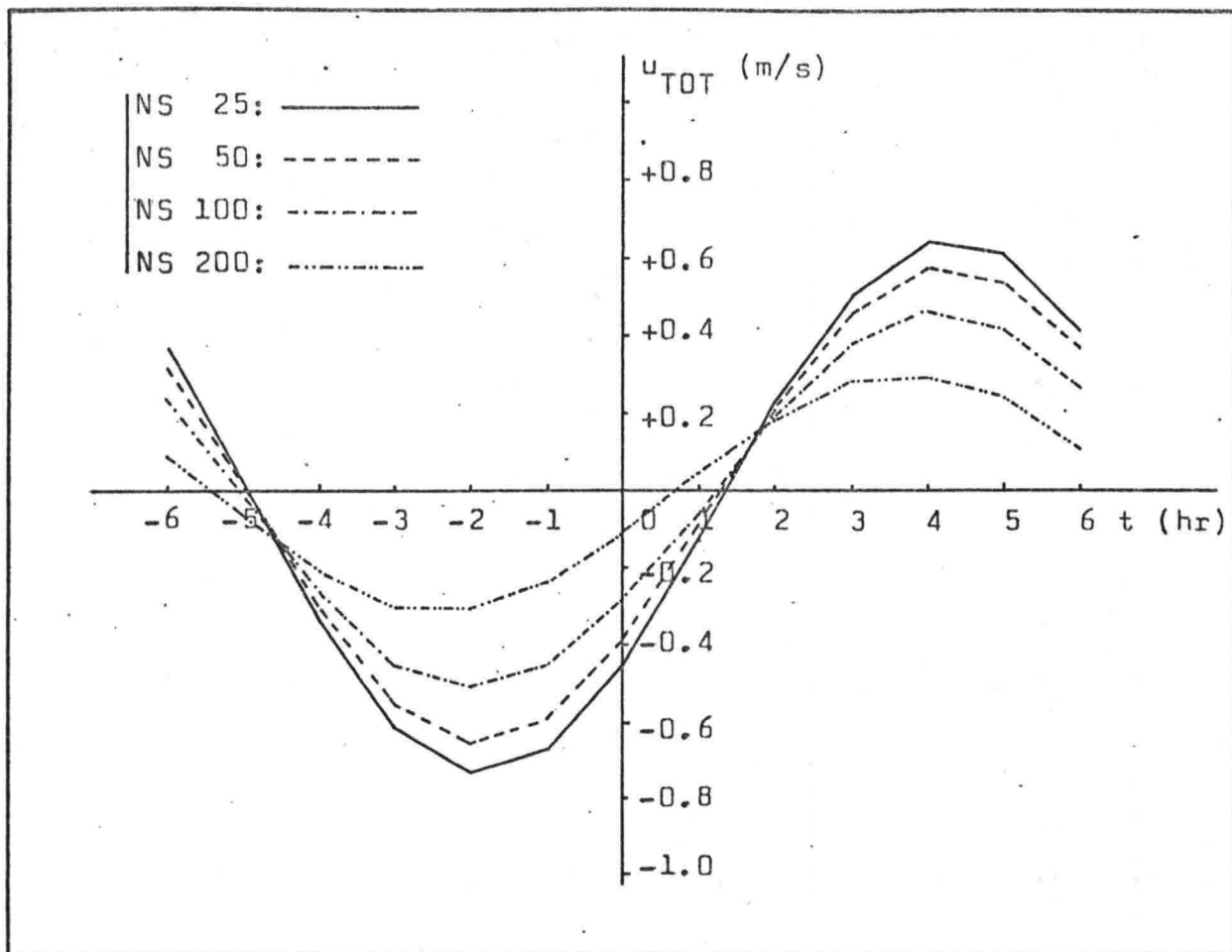


Fig.5.34. Overzicht getijstroomsnelheidscurves.

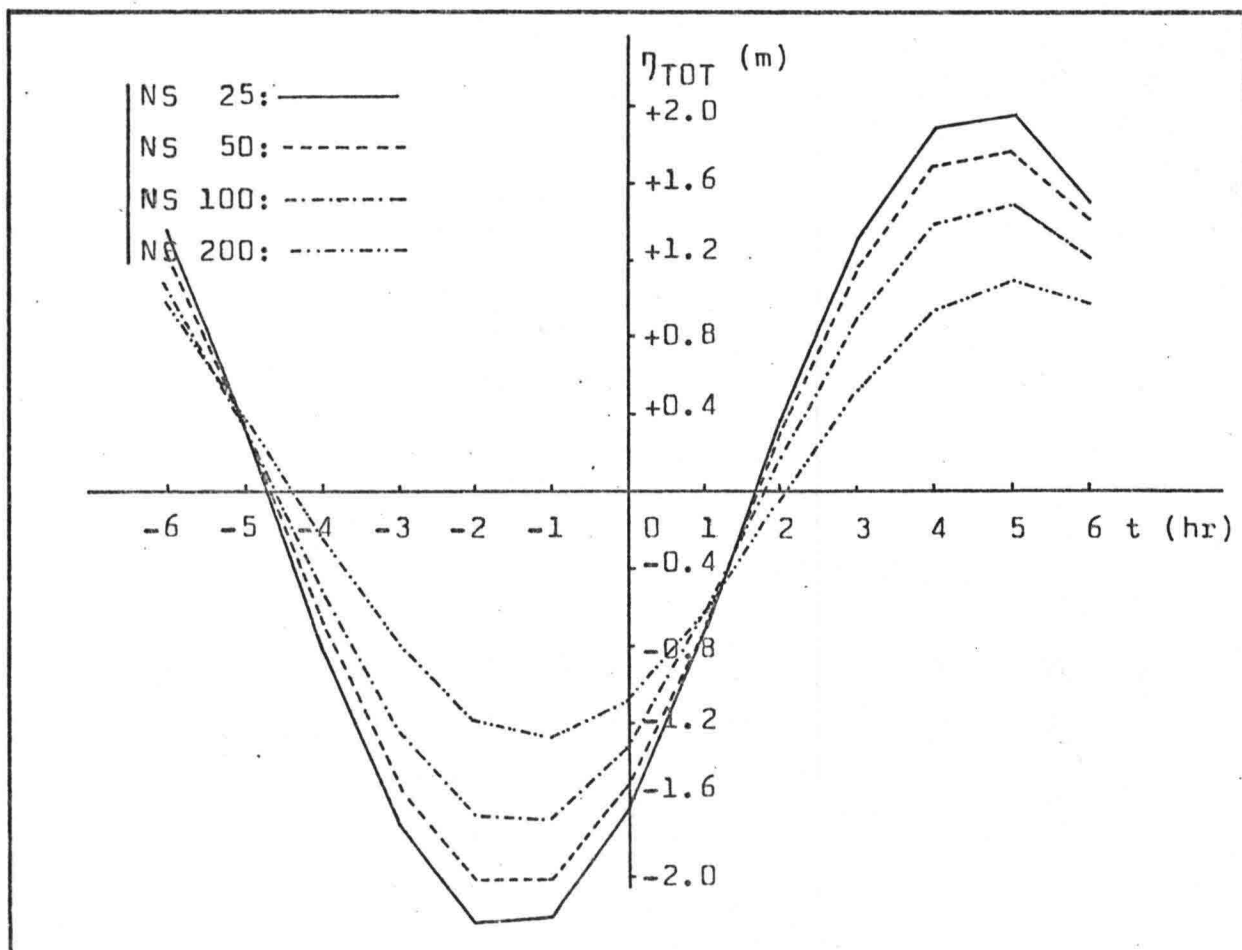


Fig.5.35. Overzicht getijgolfhoogtecurves.

5.4.5. Bespreking resultaten

a. Totale golfhoogte  $\eta_{TOT}$ :

(i) Amplitude : Correct voor  $Y=0$  km.

(ii) Faseverschil: Het verschil bedraagt nul.

b. Totale stroomsnelheid  $u_{TOT}$ :

(i) Amplitude : Voor  $Y = 25$  km en  $Y = 50$  km is de berekende amplitude een factor 1.5 à 2 te groot.  
Voor  $Y = 100$  km een factor 1.2 te groot.  
Voor  $Y = 200$  km correct.

(ii) Faseverschil: Het verschil bedraagt voor alle vier punten nul.

c. Opmerkingen:

In principe niet te ver uit de kust gaan met de berekening aangezien de richting van de stroom zou kunnen gaan afwijken van de richting van de kustlijn.

Op grond van gegevens in dit traject is het raadzaam niet verder te gaan dan ongeveer 150 km uit de kust.

d. Conclusie:

Tot 100 km uit de kust matig resultaat.

Bij 100 tot 200 km uit de kust goed resultaat.

## 6. Samenvatting en conclusies

### 6.1. Samenvatting

De samenvatting heeft achtereenvolgens betrekking op inhoud, toepassing en resultaten van het wiskundig model ter bepaling van getijstroomsnelheden langs de kust.

Inhoud: In hoofdstuk 1 zijn drie soorten lange golven afgeleid waarbij de Kelvin golf het best bleek te voldoen ter beschrijving van een getijgolf langs de kust.

In hoofdstuk 2 is het gedrag van één inkomende Kelvin golf uitgewerkt in formules en grafieken.

In hoofdstuk 3 is het golfbeeld onderzocht dat ontstaat door interferentie van één inkomende en één teruggekaatste Kelvin golf.

Dit golfbeeld dient vervolgens als model voor de berekening van getijstroomsnelheden langs de kust.

In hoofdstuk 4 is, op grond van de voorgaande theorie, de berekeningswijze van de getijstroomsnelheid afgeleid.

In hoofdstuk 5 is de stroomsnelheidsberekening toegepast op drie kusten aan de zuidelijke Noordzee, namelijk: De Nederlandse kust, de Engelse zuid-oost kust en de oostkust van Groot-Brittannië.

In hoofdstuk 6 wordt het deelontwerp besloten met samenvatting en conclusies betreffende het getijmodel.



Toepassing: Bij toepassing van het getijmodel moeten de volgende dertien punten worden ingevoerd.

1. Aantal registratiepunten (minimaal 3)
2. Faseverloop langs positieve X-as
3. Harmonische constanten

Deze drie punten zijn te halen uit de Britse Admiriteitstafels (of een soortgelijk exemplaar).

4. Diepte
5. Breedtegraad

Met behulp van een zeekaart voor de betreffende kust zijn deze twee waarden gemakkelijk te vinden.

Voor de diepte moet de gemiddelde waarde worden genomen van de gehele kuststrook.

6. Hoek M2/S2/K1/O1

7. Y-afstand

Punt 6 geeft in versluisde vorm de X-afstand aan.

In plaats van X wordt namelijk het kappa-getal  $\kappa$  ingevoerd, verkregen uit de lijst van harmonische constanten. Nadere uitleg hierover op bladzijde 48.

Punt 7 spreekt voor zich.

8. Tijdzone

Afhankelijk van geografische ligging kust.

9. Begintijd

10. Eindtijd

11. Tijdstap

De punten 9, 10 en 11 geven de tijdspanne aan waarover de getijstroomsnelheid moet worden berekend en met welke tijdstap dit moet geschieden.

12. A M2/S2/K1/O1

13. F1/F2 M2/S2/K1/O1

Worden bepaald door datum.

Te vinden in Britse Admiriteitstafels.

Resultaten: De getijberekening is toegepast op drie kusten:

1. De Nederlandse kust
2. De Engelse zuid-oost kust
3. De oostkust van Groot-Brittannië

Het resultaat was als volgt:

1. Matig resultaat
2. Matig resultaat
3. Matig/goed resultaat

Hierbij moet wel de kanttekening worden geplaatst dat de berekening voor de Nederlandse kust berust op het minimum van drie registratiepunten.

Op grond van het voorgaande moet het getijmodel als matig worden gekwalificeerd.

## 6.2. Conclusies

De benodigde gegevens voor toepassing van het getijmodel zijn gemakkelijk verkrijgbaar.

Bij gebruik van het getijmodel moet worden nagegaan of het kustgedeelte, waar de stroomsnelheden moeten worden berekend, voldoet aan de volgende vier punten:

- a. Regelmatig kustverloop
- b. Vrij constante diepte
- c. Voldoende aantal registratiepunten langs de betreffende kust
- d. Regelmatig verloop van het kappa-getal over de kustlengte

Indien nu aan alle vier punten redelijkerwijs wordt voldaan, kan toepassing van het getijmodel zeker worden overwogen. Niettemin blijft een kritische blik op zijn plaats.

Wordt aan één van deze vier punten niet voldaan dan zal toepassing van het getijmodel hoogstwaarschijnlijk foute resultaten tot gevolg hebben.

De nauwkeurigheid van het getijmodel is matig, de toepassing in aanmerking nemend. Deze waardering is gebaseerd op resultaten van hoofdstuk 5.

Indien géén stroomsnelheden bekend zijn, kan het getijmodel wellicht enige uitkomst bieden.

## Wiskundige symbolen

Symbool	Betekenis
=	Gelijk aan
$\neq$	Niet gelijk aan
$\approx$	Bij benadering gelijk aan
$\ll$	Veel kleiner dan
$\gg$	Veel groter dan
$ \eta $	Absolute waarde van $\eta$
$\Sigma$	Som
$\sqrt{\quad}$	Machtswortel
$\pi$	Pi = 3.14159...
d	Differentiaal
$\delta$	Partiële differentiaal
exp	Exponentiële functie
$\nabla$	Divergentie
i	Imaginaire getal
J	Jacobiaan
$O(s)$	Restterm in orde van grootte s
$\sin \alpha$	Sinus van $\alpha$
$\cos \alpha$	Cosinus van $\alpha$
$\tan \alpha$	Tangens van $\alpha$
$\arcsin \alpha$	Arcsinus van $\alpha$
$\arccos \alpha$	Arccosinus van $\alpha$
$\arctan \alpha$	Arctangens van $\alpha$
Re	Reële gedeelte van
$\vec{r}$	Vector r

Toegepaste symbolen

Symbool	Betekenis	Grootheid
a	Grootte halve lange as	M
a <sub>1</sub>	Straal cirkel 1 ( $\eta_{o_1}$ )	M
a <sub>2</sub>	Straal cirkel 2 ( $\eta_{o_2} \cdot \exp(-fB/C_o)$ )	M
a <sub>ti</sub>	Vector-radius behorende bij poolhoek $g_i$ en de $\eta_{tot}$ -basisellips	M
A	Parameter middelpuntsvgl. ellips	M <sup>-1</sup>
	Getijhoek	deg
A'	Constante	-
b	Grootte halve korte as ellips	M
2B	Parameter middelpuntsvgl. ellips	M <sup>-1</sup>
B'	Constante	-
c	Fasesnelheid	M/s
C	Parameter middelpuntsvgl. ellips	M <sup>-1</sup>
C <sub>o</sub>	Fasesnelheid in ondiep water	M/s
C <sub>x</sub>	Fasesnelheid ( $=\sigma/k$ )	M/s
f	Coriolis-parameter	rad/s
F	Getijfactor	-
g	Zwaartekrachtsversnelling	M/s <sup>2</sup>
	Kappa-getal (harmonische constante)	deg
h	Hoogte waterspiegel	M
h <sub>b</sub>	Hoogte bodem	M
H	Amplitude (harmonische constante)	M
H <sub>o</sub>	Diepte	M
i	Willekeurig registratiepunt	-
j	Specifiek registratiepunt	-
k	Golfgetal	M <sup>-1</sup>

Symbool	Betekenis	Grootheid
L	Golflengte	M
n	Aantal registratiepunten	-
p	Druk	kg/M.s <sup>2</sup>
p <sub>0</sub>	Druk aan de waterspiegel	kg/M.s <sup>2</sup>
q	Getijfactorverandering	hr <sup>-1</sup>
r <sub>i</sub>	Residuwaarde voor punt i	-
r	Straal cirkel	M of M/s
s	Hellingfactor	-
t	Tijd	hr of s
T	Golfperiode	s
u	Stroomsnelheid in X-richting	M/s
U	u.H <sub>0</sub>	M <sup>2</sup> /s
v	Stroomsnelheid in Y-richting	M/s
V	v.H <sub>0</sub>	M <sup>2</sup> /s
w	Stroomsnelheid in Z-richting	M/s
x	Coördinaatas orthogonaal assenstelsel	M of M/s
X	Coördinaatas gericht langs de kust	kM of M
y	Coördinaatas orthogonaal assenstelsel	M of M/s
Y	Coördinaatas loodrecht de zee in gericht	kM of M
Z	Coördinaatas loodrecht op XY-vlak en recht omhoog gericht	kM of M

Symbol	Betekenis	Grootheid
$\alpha$	$\sqrt{\frac{\sigma^2 - f^2}{c_0^2} - k^2}$	$M^{-1}$
	$\arctan\left[\frac{a_1 + a_2}{a_1 - a_2} \cdot \tan(g_i - \delta)\right]$	deg
$\gamma$	$\frac{\eta_{o2}}{\eta_{o1}} \cdot \exp(-fB/C_0) \cdot \exp(+2fY/C_0)$	-
$\delta$	Kleinste positieve hoek tussen positieve X-as en de hoofdas van de ellips	deg
	$\arctan\left[\frac{1 - \gamma}{1 + \gamma} \cdot \tan(kX)\right]$	deg
$\varepsilon$	$\arctan\left[\frac{1 - \gamma}{1 + \gamma} \cdot \tan(\sigma t)\right]$	deg
$\eta$	Golfhoogte	M
$\theta$	Breedtegraad	deg
	Fase ( $=kX - \sigma t + \varphi$ )	rad
$\theta_{ii(2i)}$	Hoek behorend bij straal 1 (of 2) voor i	deg
$\mu$	Dynamische viscositeitscoëfficiënt	$kg \cdot M^{-1} \cdot s^{-1}$
	$\arctan\left[\frac{1 + \gamma}{1 - \gamma} \cdot \tan(kX)\right]$	deg
$\nu$	Kinematische viscositeitscoëfficiënt	$M^2 \cdot s^{-1}$
$\rho$	Dichtheid	$kg \cdot M^{-3}$
$\sigma$	Frequentie	$s^{-1}$
$\tau$	$\arctan\left[\frac{1 + \gamma}{1 - \gamma} \cdot \tan(\sigma t)\right]$	deg
$\varphi$	Minimaliseringsfunctie	-
	Fasehoek	rad
$\Omega$	Hoeksnelheid aarde	$rad \cdot s^{-1}$

## Indices

Index	Betekenis
'	Na verandering (van grootte of hoek) Hulpassenstelsel (X'Y')
1	Inkomende golf 1 Begin dag: $t_{\text{GMT}} = 00.00$
2	Teruggekaatste Kelvin golf 2 Einde dag: $t_{\text{GMT}} = 24.00$
gk	Golfkam
GMT	Greenwich Mean Time
i	Willekeurig registratiepunt
j	Specifiek registratiepunt
pl	Plaatselijk
tot	Totaal van 1 en 2
TOT	Totaal van 1 en 2 gesommeerd over alle getijden
u	Stroomsnelheid in X-richting
z0ne	Tijdz0ne
n	Golfhoogte (uitwijking van de waterspiegel)



## Literatuur

- a. De analyse van getijden  
Prof.dr.ir.J.P.Th.Kalkwijk  
Delft September 1976
- b. Lange golven I en II  
Handleiding b73A  
C.Verspuy en M.de Vries  
Technische Hogeschool Delft
- c. Geophysical Fluid Dynamics  
Joseph Pedlosky  
Springer Verlag  
New York Heidelberg Berlin 1979
- d. Handbook of fluid dynamics  
Victor L. Streeter  
Editor-in-chief 1961
- e. Waves in the ocean  
P.H.Le Blond and L.A.Mysak  
Elsevier Scientific Publ. Comp.  
Amsterdam Oxford New York 1978
- f. Overzicht der getijleer  
ten dienste der  
hydrografische dienst  
Staatsdrukkerij  
's-Gravenhage 1949
- g. Admiralty Tide Tables  
Volume 1, 2 and 3  
Published by the hydrographer  
of the Navy
- h. Admiralty Tidal Stream Atlas  
North sea, northern portion  
NP 252  
Published by the Hydrographic  
Department
- i. Stroomatlas  
Noordzee, zuidelijk deel  
Chef der hydrografie  
's-Gravenhage

Bijlage I: Computerprogramma in HPL voor de HP-41 CV

Het computerprogramma is geschreven in Hewlett-Packard Language (HPL) en is daarbij afgestemd voor gebruik op de programmeerbare calculator HP-41 CV zonder gebruik van verdere randapparatuur.

Het programma heeft de naam "STROOM" en bestaat uit 649 programmaregels en maakt gebruik van 90 gegevensregisters.

Uiteraard kan de programmalengte worden ingekort of vergroot al naar gelang van gebruikerseisen op het gebied van rekennauwkeurigheid en bedieningsgemak.

Deze bijlage bevat naast de programmahoud tevens de lijst waarin staat aangegeven welke gegevens zijn opgeslagen in de geheugenregisters.

A. PROGRAMMAINHOUD

001	LBL STROOM	051	K1 TY	101	HOEK
	NIEUWE BER.?		ASTO 33		ARCL 35
	AVIEW		01 TY		F=?
	PSE		ASTO 34		PROMPT
	JA=0 NEE=1		40		ENTER
	PROMPT		STO 40		AMPLITUDE
	X=0?		41		ARCL 35
	GTO 00		STO 41		F=?
	VERANDERING:		42		PROMPT
010	AVIEW	060	STO 42	110	ST+ 36
	PSE		43		P-R
	PLEK/DIEPTE?		STO 43		STO 10
	PROMPT		44		X↔Y
	X=0?		STO 44		STO 11
	GTO 08		45		X↑2
	AFST. Y/TIJD?		STO 45		ST+ 14
	PROMPT		LBL 02		X↑2
	X=0?		1		ST+ 19
	GTO 13		ST+ 30		RCL 10
020	GTO 17	070	10	120	X↑2
	LBL 00		ST+ 40		ST+ 12
	CLRG		ST+ 41		X↑2
	PUNTENTAL=?		ST+ 42		ST+ 15
	PROMPT		ST+ 43		RCL 10
	.00001		ST+ 44		RCL 11
	+		ST+ 45		*
	STO 00		0		ST+ 13
	STO 37		STO 12		X↑2
	2.1		STO 13		ST+ 17
030	-	080	STO 14	130	RCL 10
	X>0?		STO 15		3
	GTO 01		STO 16		Y↑X
	EIS: N=13		STO 17		RCL 11
	AVIEW		STO 18		*
	PSE		STO 19		ST+ 16
	PSE		STO 35		RCL 11
	GTO 00		STO 36		3
	LBL 01		RCL 00		Y↑X
	FASETOENAME?		STO 37		RCL 10
040	AVIEW	090	CLA	140	*
	PSE		ARCL IND 30		ST+ 18
	POS=1 NEG=-1		AVIEW		DSE 37
	PROMPT		PSE		GTO 03
	STO 06		PSE		LBL 04
	30		LBL 03		RCL 15
	STO 30		1		STO 21
	M2 TY		ST+ 35		RCL 16
	ASTO 31		CF 28		STO 22
	S2 TY		CF 29		STO 24
050	ASTO 32	100	FIX 0	150	RCL 17

```

151 STO 23
   STO 25
   STO 27
   RCL 18
   STO 26
   STO 28
   RCL 19
   STO 29
   XEQ 05
160 STO 46
   RCL 12
   STO 21
   RCL 13
   STO 22
   RCL 14
   STO 23
   XEQ 05
   STO 47
   RCL 12
170 STO 24
   RCL 13
   STO 25
   RCL 14
   STO 26
   RCL 15
   STO 21
   RCL 16
   STO 22
   RCL 17
180 STO 23
   XEQ 05
   STO 48
   RCL 12
   STO 27
   RCL 13
   STO 28
   RCL 14
   STO 29
   RCL 16
190 STO 24
   RCL 17
   STO 25
   RCL 18
   STO 26
   XEQ 05
   STO 49
   RCL 48
   RCL 46
200 STO IND 41

```

```

201 RCL 47
   RCL 46
   /
   STO IND 40
   RCL 49
   RCL 46
   /
   STO IND 42
   -
210 1/X
   *
   ATAN
   2
   /
   STO IND 43
   ENTER
   COS
   X↑2
   STO 38
220 X↑2
   X≠Y
   SIN
   X↑2
   STO 39
   X↑2
   -
   STO 20
   RCL IND 40
   RCL 38
230 *
   RCL IND 42
   RCL 39
   *
   -
   1/X
   RCL 20
   *
   SQRT
   STO IND 44
240 RCL IND 40
   RCL 39
   *
   RCL IND 42
   RCL 38
   *
   -
   1/X
   RCL 20
   *
250 CHS

```

```

251 SQRT
   STO IND 45
   X≠Y
   X>Y?
   GTO 07
   STO IND 45
   X≠Y
   STO IND 44
   RCL IND 43
260 90
   +
   STO IND 43
   LBL 07
   FIX 1
   SF 28
   BEEP
   DELTA=
   ARCL IND 43
   AVIEW
270 PSE
   PSE
   FIX 2
   A=
   ARCL IND 44
   AVIEW
   PSE
   PSE
   B=
   ARCL IND 45
280 AVIEW
   PSE
   PSE
   RCL 84
   X>0?
   GTO 08
   GTO 02
   LBL 05
   RCL 25
   RCL 29
290 *
   RCL 26
   RCL 28
   *
   -
   RCL 21
   *
   RCL 24
   RCL 29
   *
300 RCL 26

```

301	RCL 27	351	46	401	RCL IND 43
	*		STO 46		180
	-		47		+
	RCL 22		STO 47		RCL 33
	*		48		+
	-		STO 48		STO IND 48
	RCL 24		49		RCL IND 43
	RCL 28		STO 49		180
	*		35		+
310	RCL 25	360	STO 35	410	RCL 33
	RCL 27		LBL 10		-
	*		1		STO IND 49
	-		ST+ 35		GTO 12
	RCL 23		10		LBL 11
	*		ST+ 43		RCL IND 43
	+		ST+ 44		RCL 33
	RTN		ST+ 45		+
	LBL 08		ST+ 46		STO IND 48
	DIEPTE=?		ST+ 47		RCL IND 43
320	PROMPT	370	ST+ 48	420	RCL 33
	STO 02		ST+ 49		-
	9.81		RCL IND 44		STO IND 49
	*		RCL IND 45		GTO 12
	SQRT		+		LBL 12
	STO 03		2		RCL 35
	BREEDTEGR=?		/		38.2
	PROMPT		STO IND 46		-
	SIN		RCL IND 44		X>0?
	14.54 E-05		RCL IND 45		GTO 13
330	*	380	-	430	GTO 10
	STO 04		2		LBL 13
	HOEK M2 = ?		/		Y-AFSTAND=?
	PROMPT		STO IND 47		PROMPT
	STO 36		RCL IND 35		STO 05
	HOEK S2 = ?		RCL IND 43		TIJDZONE=?
	PROMPT		-		PROMPT
	STO 37		STO 34		HR
	HOEK K1 = ?		TAN		STO 01
	PROMPT		RCL IND 44		BEGINTIJD=?
340	STO 38	390	*	440	PROMPT
	HOEK O1 = ?		RCL IND 45		HR
	PROMPT		/		STO 07
	STO 39		ATAN		EINDTIJD=?
	LBL 09		STO 33		PROMPT
	43		COS		HR
	STO 43		RCL 34		STO 08
	44		COS		TIJDSTAP=?
	STO 44		*		PROMPT
	45		X>0?		HR
350	STO 45	400	GTO 11	450	STO 09

```

451 29
    STO 15
    30
    STO 19
    15
    STO 23
    13.9
    STO 27
    A M2 = ?
460 PROMPT
    STO 14
    A S2 = ?
    PROMPT
    STO 18
    A K1 = ?
    PROMPT
    STO 22
    A O1 = ?
    PROMPT
470 STO 26
    F1 M2 = ?
    PROMPT
    STO 16
    CHS
    F2 M2 = ?
    PROMPT
    +
    24
    /
480 STO 17
    F1 S2 = ?
    PROMPT
    STO 20
    CHS
    F2 S2 = ?
    PROMPT
    +
    24
    /
490 STO 21
    F1 K1 = ?
    PROMPT
    STO 24
    CHS
    F2 K1 = ?
    PROMPT
    +
    24
    /
500 STO 25

```

```

501 F1 O1 = ?
    PROMPT
    STO 28
    CHS
    F2 O1 = ?
    PROMPT
    +
    24
    /
510 STO 29
    RCL 08
    RCL 07
    -
    RCL 09
    /
    1.00001
    +
    STO 40
    RCL 07
520 STO 41
    RCL 04
    RCL 05
    *
    1000
    *
    RCL 03
    /
    ENTER
    E↑X
530 STO 43
    X⇌Y
    CHS
    E↑X
    STO 44
    LBL 14
    0
    STO 33
    STO 34
    14
540 STO 10
    15
    STO 11
    16
    STO 12
    17
    STO 13
    56
    STO 46
    57
550 STO 47

```

```

551 58
    STO 48
    59
    STO 49
    RCL 41
    HMS
    STO 30
    LBL 15
    RCL IND 46
560 RCL 44
    *
    RCL IND 13
    RCL 41
    *
    RCL IND 12
    +
    STO 45
    *
    RCL IND 11
570 RCL 41
    *
    CHS
    RCL IND 10
    +
    STO 42
    RCL IND 48
    +
    COS
    *
580 STO 31
    RCL IND 47
    RCL 43
    *
    RCL 45
    *
    RCL IND 49
    RCL 42
    +
    COS
590 *
    STO 32
    RCL 31
    +
    ST+ 33
    RCL 31
    RCL 32
    -
    RCL 03
    RCL 02
600 /

```

```
601 *
    ST+ 34
    4
    ST+ 10
    ST+ 11
    ST+ 12
    ST+ 13
    10
    ST+ 46
610 ST+ 47
    ST+ 48
    ST+ 49
    RCL 49
    98
    -
    X>0?
    GTO 16
    GTO 15
    LBL 16
620 RCL 33
    RCL 06
    *
    STO 33
    FIX 2
    TONE 6
    H:
    ⌊
    ARCL 30
    ⌊=
630 ARCL 33
    AVIEW
    PSE
    PSE
    U:
    ARCL 30
    ⌊=
    ARCL 34
    AVIEW
    PSE
640 PSE
    RCL 09
    ST+ 41
    DSE 40
    GTO 14
    GTO STROOM
    LBL 17
    EINDE
    AVIEW
649 END
```

B. GEHEUGENREGISTERS

00	$n + 0.00001$		50	A	M2
01	TIJDZONE		51	2B	M2
02	DIEPTE $H_0$		52	C	M2
03	C		53	$\delta$	M2
04	$f^0$		54	a	M2
05	Y-AFSTAND		55	b	M2
06	FASEVERLOOP +1/-1		56	$a_1$	M2
07	BEGINTIJD		57	$a_2$	M2
08	EINDTIJD		58	$\theta_{1i}$	M2
09	TIJDSTAP		59	$\theta_{2i}$	M2
10	x	IND.OP. A	60	A	S2
11	y	IND.OP. $\sigma$	61	2B	S2
12	$\Sigma x^2$	IND.OP. F1	62	C	S2
13	$\Sigma xy$	IND.OP. q	63	$\delta$	S2
14	$\Sigma y^2$	A M2	64	a	S2
15	$\Sigma x^3$	$\sigma$ M2	65	b	S2
16	$\Sigma x^2 y^2$	F1 M2	66	$a_1$	S2
17	$\Sigma x \cdot y^3$	q M2	67	$a_2$	S2
18	$\Sigma x^4 y^3$	A S2	68	$\theta_{1i}$	S2
19	$\Sigma y^4$	$\sigma$ S2	69	$\theta_{2i}$	S2
20	-	F1 S2	70	A	K1
21	D1	q S2	71	2B	K1
22	D2	A K1	72	C	K1
23	D3	$\sigma$ K1	73	$\delta$	K1
24	D4	F1 K1	74	a	K1
25	D5	q K1	75	b	K1
26	D6	A 01	76	$a_1$	K1
27	D7	$\sigma$ 01	77	$a_2$	K1
28	D8	F1 01	78	$\theta_{1i}$	K1
29	D9	q 01	79	$\theta_{2i}$	K1
30	IND.OP.TY	t PLAATSELIJK	80	A	01
31	M2 TY	$\eta_1$	81	2B	01
32	S2 TY	$\eta_2$	82	C	01
33	K1 TY	$\Sigma (\eta_1 + \eta_2)$	83	$\delta$	01
34	01 TY	$\Sigma \sqrt{H} \cdot (\eta_1 - \eta_2)$	84	a	01
35	TELLER	IND.OP.HOEK	85	b	01
36	SOM VAN $H_i$	HOEK M2	86	$a_1$	01
37	TELLER	HOEK S2	87	$a_2$	01
38		HOEK K1	88	$\theta_{1i}$	01
39		HOEK 01	89	$\theta_{2i}$	01
40	IND.OP. A	AANTAL TIJDSTAPPEN			
41	IND.OP. 2B	t PLAATSELIJK			
42	IND.OP. C	A - $\sigma t$			
43	IND.OP. $\delta$	$\exp(+fY/C_0)$			
44	IND.OP. a	$\exp(-fY/C_0)$			
45	IND.OP. b	F1 + $qt_{GMT}$			
46	IND.OP. $a_1$				
47	IND.OP. $a_2$				
48	IND.OP. $\theta_{1i}$				
49	IND.OP. $\theta_{2i}$				



